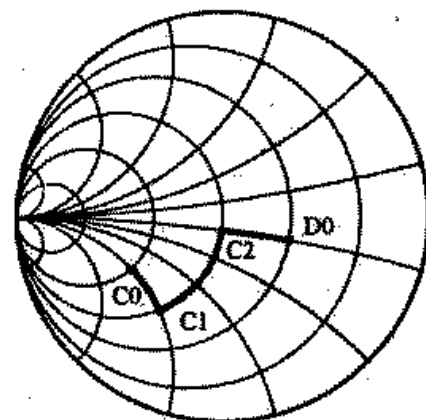


Universitatea POLITEHNICA Bucureşti
Facultatea de Electronică și Telecomunicații

Romulus Stănculescu
Mihai Stanciu

Măsurări Electrice și Electronice
Partea I



1998

1 Notiuni generale	4
1.1 Mărimi, măsurare, sistem de unități de măsură	4
1.2 Caracterizarea aparatelor de măsură	13
1.3 Erori de măsură	17
1.3.1 Cauze, clasificare	17
1.3.2 Caracterizarea calitativă	17
1.3.3 Caracterizarea cantitativă	18
1.3.3.1 Definiții și consecințele lor	18
1.3.3.2 Caracterizarea cantitativă a erorilor aleatoare	22
2 Măsurarea impedanțelor	27
2.1 Elemente dipolare de circuit	27
2.1.1 Reprezentarea elementelor dipolare ideale	27
2.1.1.1 Elemente ideale	27
2.1.1.2 Impedanțe ideale dipolare	27
2.1.2 Impedanțe multipolare	29
2.1.2.1 Definiții	29
2.1.2.2 Impedanțele dipolare reale din punct de vedere al măsurătorilor	30
2.1.3 Elemente de circuit reale	35
2.2 Măsurarea impedanțelor cu apărate de uz general	38
2.2.1 Metode directe folosind voltmetriu/ampermetriu pentru elemente simple ($R, L, C, Z $)	38
2.2.1.1 Metoda voltmetrului și ampermetrului	38
2.2.1.2 Metoda substituției	39
2.2.1.3 Metoda elementului adițional	41
2.2.2 Metode de comparație pentru măsurarea Z_x	42
2.2.2.1 Metoda celor 3 tensiuni	42
2.2.2.2 Metoda elipsei (metoda comparației cu osciloscopul catedic) .	43
2.3 Măsurarea impedanțelor prin metoda punții echilibrate	46
2.3.1 Teoria generală a punții echilibrate	46
2.3.1.1 Probleme principale	46
2.3.1.2 Convergența punților	48
2.3.1.3 Gradabilitatea reglajelor	61
2.3.1.4 Sensibilitatea punților	67
2.3.2 Punți uzuale (pasive)	71
2.3.2.1 Punți de c.c	71

2.3.2.2	Punți de c.a.	75
2.3.3	Punți active și automate	92
	2.3.3.1 Punți active	92
	2.3.3.2 Punți automate	100
2.4	Q-metrul: Măsurarea Z prin metode de rezonanță	104
	2.4.1 Prințipiu și construcția Q-metru	104
	2.4.2 Măsurători	105
	2.4.2.1 Reglaje prealabile și măsurători de bază	105
	2.4.2.2 Măsurări derive	106
	2.4.2.3 Precizia măsurărilor cu Q-metrul	110
	2.4.3 Q-metrul numeric	111
2.5	Ohmmetre și Z-metre electronice (active)	114
	2.5.1 Convertoare voltampermetrice	114
	2.5.1.1 Scara Ω neliniară a multimetrului electronic analogic . .	114
	2.5.1.2 Scara Ω liniară a multimetrului electronic numeric (even-	
	tual analogic)	115
	2.5.2 Metode de conversie indirectă $RLC \leftrightarrow \Delta t \leftrightarrow N$	117

Capitolul 1. NOTIUNI GENERALE

1.1. Mărime, măsurare, sistem de unități de măsură.

* Mărime.

Denumim mărime o proprietate (un atribut) comun unei clase de obiecte, fenomene, procese, utilizată în identificarea, clasificarea, caracterizarea acestora. În mulțimea mărimilor existente (m.e., fig. 1.) mărimile *definibile* (discriminabile calitativ) constituie numai o submulțime (m.d.), din care numai o submulțime (m.m.) cuprinde mărimile *măsurabile* (caracterizabile și cantitativ prin operația de măsurare).

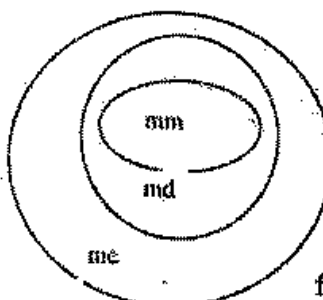


fig. 1.1

* Măsurare.

Măsurarea este o *experiență fizică* prin care se atribuie fiecărui element al mulțimii măsurandului un număr (denumit *valoare măsurată*), conform cu o scală de măsură, experiență efectuată cu metode și mijloace materiale de măsură date.

În general, pentru un măsurand X , se definește o funcție de măsură:

$$M: (X) \longrightarrow \{X_{\text{mss}}\} \text{ cu } X_{\text{mss}} \in \mathbb{R} \quad (1.1)$$

Unei relații de ordonare (Rel_X) în mulțimea măsurandului $\{X\}$ îi corespunde o relație de ordonare imagine (Rel'_X) în $\{X_{\text{mss}}\}$. Scala de măsură se numește tripletul $(X, X_{\text{mss}}, \text{Rel}_X)$. În tabelul 1 sunt date câteva exemple de relații și scalele corespunzătoare.

Tabelul 1

Rel_X	Scală	Exemple
<ul style="list-style-type: none"> de echivalență (\sim) $X_1 \sim X_2 \Rightarrow M(X_1) = M(X_2)$	<ul style="list-style-type: none"> de nominalizare 	<ul style="list-style-type: none"> scala culorilor: se definește o scală bazată pe 5 culori de bază -Red, Yellow, Green, Blue, Purple (roșu, portocaliu, galben, verde, purpură) și 5 nuanțe intermediare (R-Y, Y-G, G-B, B-P, P-R) fiecare cu 10 intervale intermediare (ex. de la 10%R-90%Y, până la 90%R-10%Y, etc.); o culoare dată se echivalează cu o astfel de combinație.

• de ordine : $X_1 \geq X_2 \Rightarrow M(X_1) \geq M(X_2)$	• de ordine	• scala de măsură a intensității cutremurelor Mercalli; un cutremur se încadrează între altele mai puțin respectiv mai intense, după intensitatea anumitor semne. • scara durității minerale (1-talc, 2-gips, ..., 10-diamant); un mineral se încadrează între alte două mai puțin dur, respectiv mai dur.
• de ordine cu lege de compozitie aditivă: $X_1 + X_2 \sim X_3 \Rightarrow M(X_1) + M(X_2) = M(X_3)$	• de raport (raportul a două valori măsurate X_{m1} / X_{m2} nu depinde de unitatea de măsură aleasă X_{UM})	• majoritatea măsurărilor uzuale (de mărimi mecanice, electrice etc.), pentru care este valabilă definiția restrânsă a măsurării dată mai jos.
• idem pe intervale	• de interval (raportul a două intervale nu depinde de unitatea de măsură aleasă X_{UM} și de valoarea de zero aleasă X_{m0}).	• scalele de măsură a temperaturii (în $^{\circ}\text{C}$, $^{\circ}\text{R}$ sau $^{\circ}\text{F}$). • timpul calendaristic (data); calendarul ortodox, arab, evreiesc etc.

Intr-un sens ușual mai restrâns, valabil în cazul mărimilor additive (în cazul scalelor de raport), prin măsurare se înțelege experiența fizică (executată utilizând metode și mijloace materiale date - inclusiv aparat -) prin care se atribuie elementului X al măsurandului valoarea măsurată X_{m1} conform relației:

$$X_{m1}^{(M)} = \varphi\left(\frac{X}{X_{UM}}\right) \quad (1.2)$$

în care X_{UM} este un element al mulțimii măsurandului adoptat ca unitate de măsură iar φ este o funcție liniară (în care caz rezultatul măsurătorii se obține în unități absolute - A, V, Ω etc.-) sau logaritmică (rezultatul măsurătorii fiind exprimat în acest caz în unități relative (în unități de raport) - dB, N -).

• Clasificarea mărimilor fizice de măsurat.

Mărimile fizice de măsurat se pot clasifica:

• din punct de vedere *energetic* în:

- *mărimi active* (în cazul unor obiecte/procese generatoare de energie proprie funcție de mărimea de măsurat - $W_{pr}(X)$ -);

- *mărimi pasive* (pusă în evidență printr-o energie de activare aplicată din exterior obiectului/procesului, pe care măsurandul o modulează - $W_{ext}(X)$ -).

In ambele cazuri pentru măsurare se extrage o fracție neglijabilă din energia internă a obiectului/procesului (proprie sau de activare) - $W_{int}(X)$ - prin prelucrarea căreia în procesul de măsură se extrage valoarea măsurată X_{m1} .

* din punct de vedere al *comportării în timp* în:

- *constante*;
- *variabile*; - *nestaționare*;
- *staționare*; - *neperiodice*;
- *periodice*; - *nesinusoidale*;
- *sinusoidale*.

In sens strict o mărime constantă își păstrează valoarea un timp infinit (de ex. constanta lui Plank, sarcina electronului etc.), dar poate fi considerată ca atare orice mărime care își păstrează valoarea un timp mai mare decât timpul total de măsură sau decât timpul în care rezultatul măsurării va fi încă util (de ex. tensiunea unei baterii galvanice); ca urmare este caracterizată printr-o valoare fixă (a cărei precizie de determinare poate crește prin experiențe succesive).

O mărime variabilă nestaționar poate fi caracterizată doar prin totalitatea valorilor luate în decursul intervalului de timp de măsură în contrast cu o mărime variabilă staționar care poate fi caracterizată sintetic prin parametrii statisticci (momentele de diferite ordine - medie, dispersie etc., funcție de autocorelație etc.), ceea ce rămâne valabil și pentru mărimile variabile staționar neperiodic.

Pentru mărimile variabile periodice se poate recurge la o caracterizare exactă prin parametrii formei de undă particulare (frecvență/periode, tempi de front, de palier, factor de umplere, factor de creștere, de formă etc.), în cazul particular al celor sinusoidale prin valoare eficace (sau de vîrf), frecvență/periode și fază (față de o referință convenabilă).

* Sistemul unităților de măsură.

Incepând din 1960 a fost adoptat de către a 11-a Conferință Generală de Măsuri și Greutăți Sistemul Internațional de unități de măsură (S.I.), înlocuindu-se sistemele de unități existente anterior în uz (M.K.S.A., C.G.S. etc.). S.I. este un sistem coerent de unități de măsură având 7 unități fundamentale dimensionale (metru, kilogram, secundă, amper, Kelvin, mol, candela) și două unități suplimentare adimensionale geometrice (radian, steradian). Pentru restul mărimilor fizice se folosesc unități de măsură derivate, obținute din cele fundamentale prin relații dimensionale de definiție, cuprinzând numai operații de înmulțire și împărțire fără coeficienți numerici (sistem coerent). Se folosesc și multiplii/submultiplii zecimali ai unităților fundamentale și a celor derivate, cu nume obținute prin prefixarea numelui unității de bază (din trei în trei ordine de mărime), conform tabelului 2.

Tabelul 2

multiplicator	10^3	10^6	10^9	10^{12}	10^{15}	10^{18}	10^{21}	10^{24}
prefix/simbol	kilo [k]	mega [M]	giga [G]	tera [T]	peta [P]	exa [E]	zetta [Z]	yotta [Y]
multiplicator	10^{-3}	10^{-6}	10^{-9}	10^{-12}	10^{-15}	10^{-18}	10^{-21}	10^{-24}
prefix/simbol	milă [m]	mică [μ]	nano [n]	pico [p]	femto [f]	atto [a]	zepto [z]	yocto [y]

Unitățile de măsură sunt materializate prin etaloane, care pot fi de trei tipuri:

- * de definiție; sunt etaloanele inițiale/primare existente într-un singur exemplar, adoptat și păstrat conform unei convenții internaționale. Tendința actuală este de a stabili etaloane bazate pe fenomene cuantice, ceea ce le conferă o oarecare independență față de imperfecțiunile realizării.

tehnologice. De ex. secunda este definită ca durata a 9.192.631.770 perioade ale oscilației corespunzătoare tranziției între două stări energetice hiperfine ale atomului de Cs^{133} ; în principiu este primul etalon care poate fi produs înafara Terrei și care este disponibil simultan (prin transmisie radio) pe tot globul. Deși în principiu este independent de realizarea tehnologică a dispozitivului de măsură (ceasul cu cesiu), practic precizia acestuia depinde de timpul de interacțiune al atomilor de cesiu cu microonda ce servește pentru coborârea frecvenței la valori mai ușor utilizabile (oscilator cu cuarț sincronizat prin buclă PLL cu tubul cu cesiu). Dacă în construcțiile inițiale (1964-1990, tub cu atomi "calzi", ce străbateau rezonatorul de măsură în câteva msec.) se atingea o precizie de $10^{-12} - 10^{-14}$, prin "răcirea" atomilor în capcană laser până la viteze de ordinul cm/sec timpul de interacțiune în rezonator crește la ordinul zecimilor de secundă, ceea ce sporește precizia la cca. 10^{-16} (1994), iar prin plasarea dispozitivului în condiții de microgravitație (pe orbită, probabil în 1998) se speră sporirea preciziei peste 10^{-17} (prin eliminarea mișcării atomilor sub influența câmpului gravistic, timpul de interacțiune va crește cu cel puțin un ordin de mărime - v. măsurarea frecvenței prin metoda bătăilor-). Etalonul de timp va fi și primul etalon conservat în cosmos. Analog, metrul este definit ca spațiul parcurs de lumină în vid în $1/299.792.458$ sec, etalonul fiind de fapt un laser sincronizat cu un ceas cu cesiu, iar voltul și ohmul se definesc pe baza constantelor Josephson ($K_{J,90}=483.597,9$ GHz/V, în jonejunea supraconductoare Josephson) și Klitzing ($R_{K,90}=25.812.807 \Omega$, în efectul Hall cuantic).

- * de conservare; sunt copii ale precedentelor, disponibile în fiecare țară, sau construcții fizice care materializează unitatea de măsură (de ex. riglă cu calc plan-paralele pentru metru, element normal Weston pentru volt etc.) și pot fi verificate periodic cu ajutorul primelor;

- * de transfer; acestea sunt la rândul lor de trei tipuri:

- dimensionale (de derivare); sunt destinate obținerii unităților de măsură derivate pe baza celor fundamentale sau a altor unități derivate (de ex. puncte de capacitate bazată pe rezistență etalon);

- adimensionale (de raport); sunt destinate obținerii multiplilor/submultiplilor unității de măsură (de ex. divizorul inductiv de curent etc.);

- de regim variabil (de conversie static / dinamic); de ex. termoelementele de conversie a puterii din curent alternativ în curent continuu.

1.2. Aparat de măsură, metodă de măsură.

Metoda de măsură are la bază o lege sau un efect fizic (denumit principiu de măsură) și este constituită dintr-un ansamblu de relații teoretice, mijloace materiale (înclusiv aparatelor) și algoritmi de operare experimentală care permit obținerea rezultatului (valorii măsurate).

Aparatul de măsură este materializarea metodei de măsură ca obiect dedicat (ansamblu unic), având un grad oarecare de automatizare. Ele pot fi apărate manuale implicând manevre și/sau cu citire directă; apărate automate destinate unui operator uman (implicând schimbare automată de scară, protecție la suprasarcini etc., dar primind comenzi manual de la panou) sau apărate automate destinate înglobării în sisteme automate de măsură (S.A.M.), sisteme de achiziții de date (S.A.D.) sau în sisteme de reglare automată (S.R.A.) pilotate de calculator, în care caz sunt capabile de dialog între ele și/sau cu controlerul sistemului (telecomandă electrică prin bus-ul de interconectare a sistemului), primind comenzi și transmitând date, date de stare și cereri de servire/intreruperi. Tendința actuală este ca toate aparatelor profesionale să accepte incorporarea în sisteme, existând standarde internaționale în acest sens (de ex. C.E.I.-625).

Separarea între aparate și metode nu este nevoie, metodele de măsură folosind inițial apare existente și eventual construcții ad hoc, în timp ce pentru mărimile de măsurate (încât să se justifice o producție de serie) se construiesc aparate dedicate bazate pe o metodă de măsură adecvată; această separare este mai mult un procedeu comod în cursul studiului (mai multe tipuri de aparate se pot baza pe o aceeași metodă etc.).

* Aparat de măsură - schema bloc.

După cum mărima de măsurat este activă sau pasivă aparatul de măsură poate fi constituit dintr-o singură unitate (aparatul de măsură propriu-zis - receptorul) sau din două unități (sursa/generatorul de activare a mărimii fizice pasive de măsurat și aparatul de măsură receptor); cele două unități pot fi într-o singură unitate constructivă (de ex. un generator de c.c. calibrat și un voltmetru, în cazul unui ohmmetru măsurând prin metoda voltampermetrică) sau în două unități constructive separate (generator de semnal și decibelmetru pentru măsurarea atenuării de transmisie a unui canal de comunicație, separate constructiv început trebuie să se afle la capetele distante ale unui circuit fizic), în care caz ansamblul este denumit de obicei set de măsură deși în fond formează împreună un singur aparat. Un set de măsură poate cuprinde mai multe de două apare, ansamblul putând realiza un grup de măsurări ușor (atenuare, defazaj, timp de propagare de grup etc., punct cu punct sau prin wobulare (balansaj al unui parametru, de ex. frecvența de măsură). O schemă bloc generală este dată în fig.2.

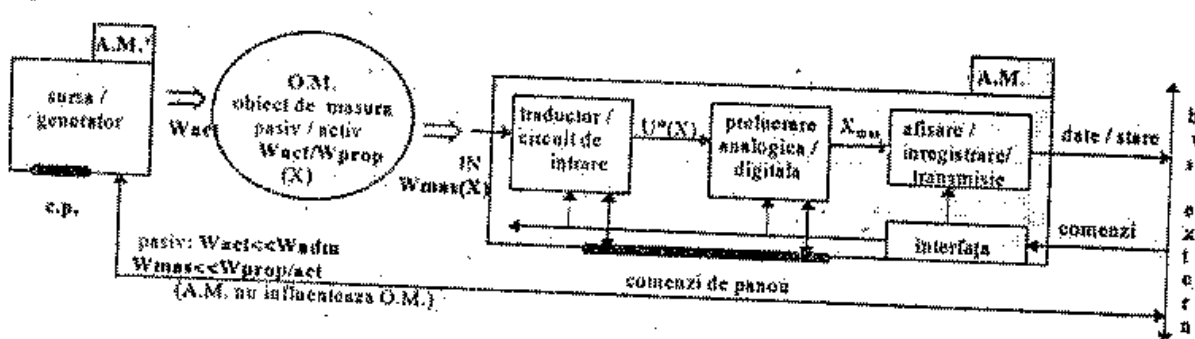


fig.1.2

In cazul unei mărimi de măsurat active obiectul de măsurat (O.M.) generează o energie proprie ($W_{prop}(X)$) depinzând de mărima de măsurat X.

In cazul unei mărimi de măsurat pasive, obiectul de măsurat (O.M.) trebuie să primească o energie de activare (W_{act}) pentru punerea în evidență a mărimii X de la o sursă sau un generator adecvat, care constituie o primă parte a aparatului de măsură (A.M.). A.M. poate fi în aceeași cărcasă cu aparatul de măsură propriu-zis - A.M. - (de ex. în cazul unui ohmmetru) sau poate fi de sine stătător formând împreună cu A.M. un set de măsură (ca în cazul unui set de măsură pentru măsurarea atenuării circuitelor de comunicații, în care caz cele două părți ale setului se află în locuri diferite). W_{act} trebuie să fie mult mai mică decât energia admisibilă (W_{adm}) a O.M. (valoare limită la depășirea căreia proprietățile acestuia se alterează), pentru a nu influența funcționarea acestuia.

In ambele cazuri (O.M. pasiv sau activ) din energia existentă în sistem (propriu sau de activare) A.M. extrage o energie de măsură ($W_{măs}$) care trebuie să fie mult mai mică decât aceasta, pentru a nu influența funcționarea acestuia. Neinfluențarea O.M. de către A.M. este un principiu esențial pentru asigurarea corectitudinii măsurătorii; respectarea acestuia limitează utilizarea unor astfel de apare la cazul măsurării mărimilor macroscopice (în domeniul cuantic energia necesară

pentru a pune în evidență o particularitate care poate fi comparabilă cu cea de creare a acesteia, astfel că este necesară o altă abordare a conceptului de măsură).

Energia W_{mas} , absorbită de aparat este convertită într-o tensiune proporțională (cazul general al măsurătorilor electronice a mărimilor nenelectrice) sau, în cazul măsurărilor electrice, este atenuată într-un circuit de intrare până la nivelul scarării de bază a aparatului - valoarea reescalată $U'(X) \leq U_{\text{exp scara min}} = U_{\text{sc min}}$ - (intrucât se pot realiza mai precis diviziuni de tensiune variabile calibrat decât amplificări de tensiune variabile calibrat), operație executată de un prim bloc al aparatului (traductor/circuit de intrare).

Tensiunea $U'(X)$ este ulterior prelucrată în principalul bloc funcțional al aparatului, blocul de prelucrare (cel care asigură în esență funcția de măsură propriu-zisă).

Prelucrările pot fi:

- * **analogice**: - liniare: amplificare, filtrare, mediere, conversii liniare (U/I , I/U , simetric (diferențial, flotant)/nesimetric etc);
 - neliniare: redresare (obținerea valorii absolute), detecție de vîrf, de envelopă, modulare/demodulare, logaritmare, liniarizare, conversii U/I , U/t etc;

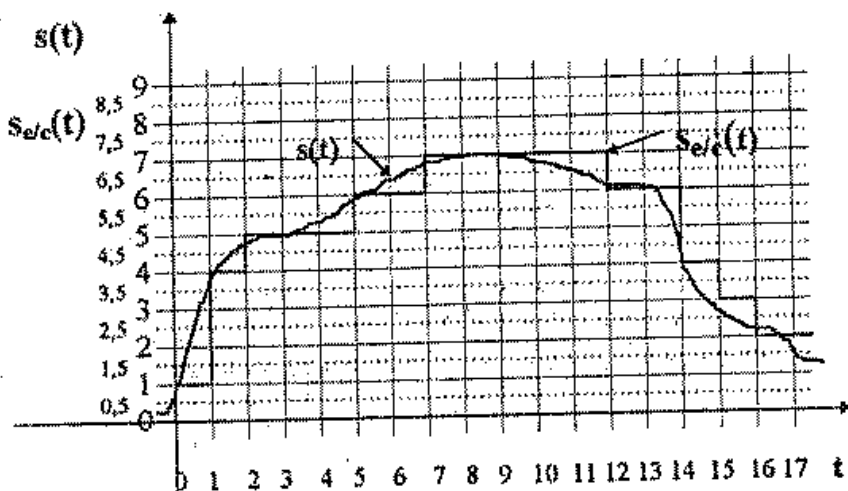


fig. 1.3

* **numerice (digitale)**: - conversia analog/numerică (CA/N) și numeric/analogică (CN/A) implicând discretizarea în timp (eșantionare) și în valoare (cuantizare) ca operații analogice neliniare premergătoare (dar întotdeauna și alte operații analogice premergătoare - cel puțin amplificare - executate cu o precizie superioară celei a conversiei, întrucât nu există decât CA/N de c.c. - cel puțin pe durata conversiei);

- operații asupra valorilor numerice obținute prin conversie; realizate în marea majoritate a cazurilor prin soft, nu mai sunt specifice cursului de M.E.E.

* **de autodecizie**: protecție la suprasarcini, schimbare automată de scară etc.

In urma acestor prelucrări se obține valoarea măsurată X_{mas} reprezentată printr-o tensiune (current, frecvență) proporțională, în cazul aparatelor analogice, sau prin tensiuni interpretate ca valori logice (cod, de ex. binar) în cazul aparatelor numerice, valoare care se transmite ultimului bloc realizând afișarea dar și eventual (tele)transmisia și înregistrarea rezultatelor. Transmisia se poate face direct (pentru sisteme simple sau pentru afișare distanță), sau prin intermediul unei

interfețe de bus (pentru sisteme mai mari), prin care se pot primi și comenzi similare celor de la panoul aparatului.

* Metode de măsură.

In mod obișnuit metodele de măsură se împart în metode de precizie/laborator și metode de uz curent/industriale, subînțelegând că în cazul primelor contează în principal precizia iar costul și timpul de execuție sunt secundare iar în cazul celorlalte situația este inversă; astăzi această distincție nu mai este atât de neță, cel puțin în privința preciziei, căci în multe industrii de vîrf precizia măsurătorilor o egalează pe cea din institutele de metrologie.

Din punct de vedere principal distingem trei tipuri de metode: directe, de comparație (simultană sau succesivă) și indirecte.

* metode directe; este de fapt o exprimare prescurtată, în loc de *metode cu acțiune directă sau cu citire directă*. În aceste metode rezultatul (valoarea măsurată) se obține prin acțiune directă, fără buclă de reacție negativă informațională în procesul de măsură:

$$X_{mz} = f(X) \quad (1.3)$$

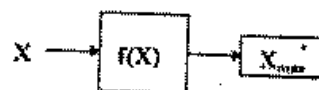


fig.1.4

etalonul (X_{UM}) existând implicit în funcția de prelucrare f (poate fi de aceeași sau de altă natură decât măsurandul; de ex. într-un milliampermetru magnetoelectric constanta elastică a resortului și energia magnetică a magnetului permanent au valoare de etalon implicit, neexistând un curent etalon ca atare). În general sunt metode de precizie redusă în raport cu toleranța de definire a etalonului de aceeași natură cu măsurandul.

* metode de comparație; sunt metode în care acționează o buclă de reacție negativă informațională, având un algoritm de decizie pentru îmbunătățirea aproximării de la o iterare la alta și în care etalonul $Et = k \cdot X_{UM}$ există explicit și este de aceeași natură cu măsurandul (de ex. tensiune etalon pentru măsurarea tensiunii prin comparație); comparația poate fi *simultană* sau *succesivă*.

- *comparația simultană* presupune prelucrarea măsurandului și a unei fracțiuni reglabile ($X_m \cdot Et$) din valoarea etalonului prin două funcții de măsură (în general diferite); rezultatele obținute se compară între ele cu ajutorul unui comparator/indicator de nul și se acționează (manual sau automat) asupra valorii fracțiunii de etalon urmărind egalarea rezultatelor funcțiilor de prelucrare, valoarea fracțiunii/multiplului de etalon ce realizează această condiție constituind rezultatul măsurării.

$$f(X) + g(X_m \cdot Et) = \begin{cases} 0 - \text{metoda de zero} \Rightarrow X_{mz} = X_m \\ \Delta - \text{metoda diferențială} \Rightarrow X_{mz} = X_m + \delta X(\Delta) \end{cases} \quad (1.4)$$

M/A
(r.n.)

Reglarea fracțiunii de etalon se poate face brut și fin până la atingerea valorii zero (*metoda*

comparației de zero) sau numai brut până când diferența scade sub o valoare Δ_{MAX} după care această diferență se măsoară printr-o metodă directă, rezultatul măsurării fiind constituit din suma celor două valori obținute (*metoda comparației diferențiale*). În cazul comparației diferențiale numărul de elemente etalon necesare pentru reglaj este mult mai mic (deci metoda este mai ieftină și mai rapidă decât cea de zero) dar precizia scade întrucâtva (din cauza măsurării diferenței prin metodă directă).

Desigur, dacă este posibil, f și g sunt funcții identice ($f(X)=X$, $g(Y)=Y$), în care caz se numește *metoda comparației 1:1* și este cea mai precisă variantă a metodei de comparație întrucât permite eliminarea erorilor indicatorului de zero prin permutearea măsurandului și fracțiunii de etalon la intrările acestuia (dacă eroarea de nul schimbă semnul pastrând aceeași valoare în modul apariție indicatorului de nul deci poate fi identificată și îndepărtată). Un alt caz ușual este cel în care f și g sunt funcții liniare (*metoda comparației 1:n sau m:n*, prin adiționare sau multiplicare/raport). Numai dacă aceste cazuri simple sunt imposibile se recurge la utilizarea unor funcții neliniare și/sau diferite între ele (de ex. în cazul măsurării electrice a unor mărimi nenelectrice), evident din cauza reducerii preciziei și creșterii complexității echipamentelor.

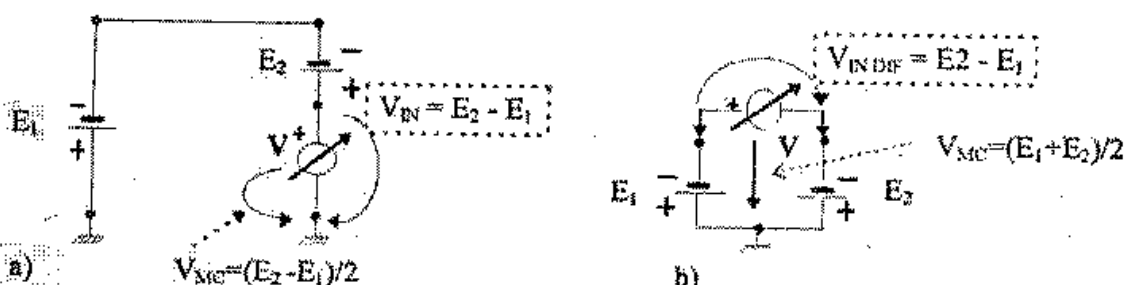


Fig. 1.5. Măsurarea tensiunii diferență între două surse:
a) surse flotante, voltmetriu cu intrare nesimetrică,
b) surse nesimetrice, voltmetriu cu intrare simetrică.

Dacă măsurandul poate avea valori pozitive sau negative, sau dacă $f \neq g < 0$, comparația se poate face prin *opozitie* cu un *indicator de nul cu intrare nesimetrică*, în caz contrar este necesar un *Indicator de nul diferențial, cu intrare flotantă*, în general mai dificil și mai puțin precis întrucât intrările lui trebuie să suporte un semnal de mod comun (vezi în fig. 1.5 măsurarea tensiunii diferență între două surse: în cazul b) voltmetriul trebuie să poată suporta o tensiune de mod comun mult mai mare decât tensiunea diferență pe care o măsoară, în timp ce în cazul a) totdeauna $V_{MC} < V_{IN}$).

- *comparația succesivă* presupune prelucrarea succesivă a măsurandului și a unei fracții reglabile din valoarea etalonului printr-o același funcție de măsură; dacă rezultatul este același valoarea măsurandului este valoarea fracției de etalon ce realizează această condiție.

Compararea se poate face neperiodic, memorând valoarea $f(X_m)$ și apoi reglând X_m până când $f(X_m * E_t)$ ajunge la aceeași valoare; valoarea X_m astfel găsită devine rezultatul măsurării ($X_{m_{\text{res}}}=X_m$), sau se poate face periodic, în care caz ieșirea funcției f capătă o valoare variabilă sincron cu intrarea (este modulată cu frecvența schimbării intrării, de unde denumirea de metodă de comparație succesivă prin modulare). În cazul comparației successive periodice (prin modulare) prin reglarea X_m brut și fin se poate anula anvelopa de modulare, în care caz este o

metodă de zero și $X_{\max} = X_m$, sau se poate regla X_m numai brut (în trepte) până când anvelopa de modulație scade sub o valoare Δ_{MAX} , în care caz este o metodă diferențială și $X_{\max} = X_m + \delta X(\Delta)$, valoarea $\delta X(\Delta)$ fiind obținută prin prehîcarea directă a anvelopei.

$$f((X, t) - f(X_m \cdot Et, t + \delta t)) = \begin{cases} 0 & \text{metoda de zero} \Rightarrow X_{\max} = X_m \\ \Delta & \text{metoda diferențială} \Rightarrow X_{\max} = X_m + \delta X(\Delta) \end{cases}$$

(r.n.)

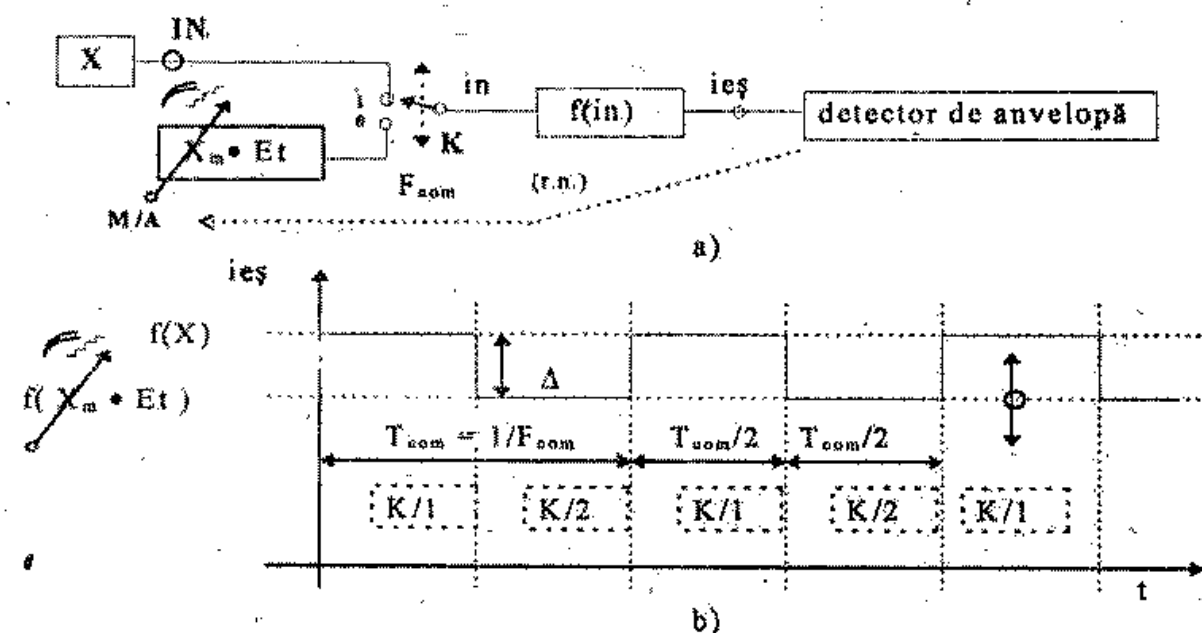


fig. 1.6. a) schema bloc pentru comparație succesivă;
b) semnalul de la ieșirea funcției $f(in)$.

- metode indirecte; sunt acele metode în care se măsoară direct sau prin comparație alte mărimi și apoi prin calcul (având o relație de legătură) se află mărimea dorită:

$$X_{\max} = f(X_{m1}, X_{m2}, \dots, X_{mn}) \quad (1.7)$$

De exemplu măsurarea unei rezistențe se poate face prin comparație cu ajutorul unei punji de rezistență sau indirect, măsurând tensiunea la borne și curentul care o străbate și calculând valoarea cu relația $R=U/I$ (indirect în sensul clasificării de mai sus, deși uneori se zice că o astfel de măsurătoare este directă conform definiției, dar în alt context).

1.2. Characterizarea aparatelor de măsură.

Comportamentul unui aparat poate fi caracterizat în mod specific pentru domeniile de referință (etalonare), de lucru și de depozitare/transport; în cadrul cursului ne interesează caracterizarea în primele două domenii, care se poate face din punct de vedere static, dinamic și informațional.

- **Static.** Din punct de vedere static aparatul se poate caracteriza prin *caracteristica statică de transfer* (ieșirea y în funcție de intrarea x ; $y=f(x)$), dată sub formă analitică și/sau grafică (v. fig. 1.7) și prin mărimele derivate din ea (erori, factori de influență - dependența erorilor de temperatură, timp etc., sensibilități, energie absorbită la intrare/impedanță de intrare etc.)

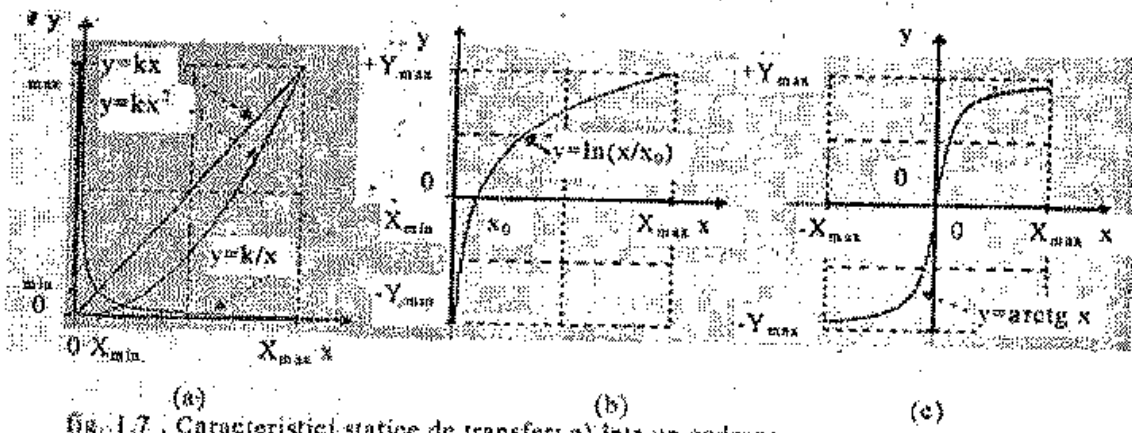


Fig. 1.7 : Caracteristici statice de transfer: a) într-un cadran;
b) în două cadrane;
c) în patru cadrane.

Această caracteristică există într-un domeniu/intervall de măsură $X_{\min} + X_{\max}$ (la intrare), respectiv $Y_{\min} + Y_{\max}$ (la ieșire), ușor valoarea minimă fiind zero (lipsa măsurandului) iar cea maximă finită. În intervalul de existență caracteristica statică de transfer reală se abate de la legă analitică ideală, fiind afectată de erori.

Erorile se pot descompune în anumite tipuri de erori standard; în cazul unei caracteristici liniare (mai frecventă) erorile pot fi de următoarele tipuri (fig. 1.8.):

- a) *de zero* (de offset, fig. 1.7 a). Caracteristica reală este translată săjă de cea ideală; în practică se verifică numai zeroul (fără măsurand la intrare, $x=0$) și se reglează în această situație $y=0$ (corecție de zero - c.z.-), operație posibilă aproape întotdeauna numai cu mijloacele de bord ale aparatului (exceptând scările cu zero conventional - de ex. de temperatură).
- b) *de factor de scară* (de pantă, de calibrare, de cap scară, fig. 1.7 b). După executarea corecției de zero caracteristica nu trece (în general) prin punctul maxim (cap scară - c.s.-) având o eroare de factor de scară: panta caracteristicii reale diferă de a celei ideale (caracteristica este rotită în jurul punctului de zero reglat anterior prin c.z.), fapt constatat în practică prin abaterea punctului de capăt de scară (fie aplicând X'_{\max} și determinând Y'_{\max} rezultat, fie determinând X'_{\max} ce ducă la indicația Y_{\max}). Operația de corecțare a acestei erori, numită *calibrare* (CAL.), se execută prin intermediul unui reglaj care acționează asupra pantei (rotește caracteristica în jurul punctului de zero, deja reglat anterior prin c.z.), practic urmărindu-se numai realizarea corespondenței $X_{\max} \rightarrow Y_{\max}$; calibrarea se poate executa numai cu ajutorul unui dispozitiv exterior aparatului și mai precis decât acesta.

c) de liniaritate (fig. 1.7 c-f); după efectuarea reglaželor de zero și de cap de scară caracteristica prezintă la valori intermedii abateri de la legea liniară - erori de liniaritate -, situându-se în interiorul unei fațăi de toleranță a cărei largime măsoară mărimea acestor erori. Caracteristica poate fi aceeași la creșterea și descreșterea măsurandului (fig. 1.7 c) sau poate parurge ramuri diferite (fig. 1.7 d,e,f), în care caz erorile de liniaritate se numesc erori de histerezis. Aceste erori de histerezis pot fi datorate unor efecte termice sau magnetice (1.7 d - curbă netedă, eventual dependentă de timpul de observare) sau frecăriri mecanice (1.7.e - curbă cu "zonă moartă", forță de frecare fiind mai mică între două suprafețe în contact după ce acestea au început să alunecă una față de alta). Aceste erori de histerezis se pot manifesta pe întreg domeniul de măsură (histerezis global) sau se pot manifesta numai în zone limitate (histerezis local - fig. 1.7.f - , datorat unor componente ale unui aparat complex care intră în funcțiune într-o zonă limitată de valori ale măsurandului, tipic aparatelor electronice numerice). Un aparat în stare de funcționare bună trebuie să nu aibă erori de histerezis (mărimea acestora să fie sub eroarea admisibilă de citire). În ce privește celelalte erori de liniaritate (altele decât de histerezis), mărimea lor (inerență construcției) servește pentru caracterizarea calității aparatului prin clasa de precizie (se va detalia în capitolul despre erorile de măsură).

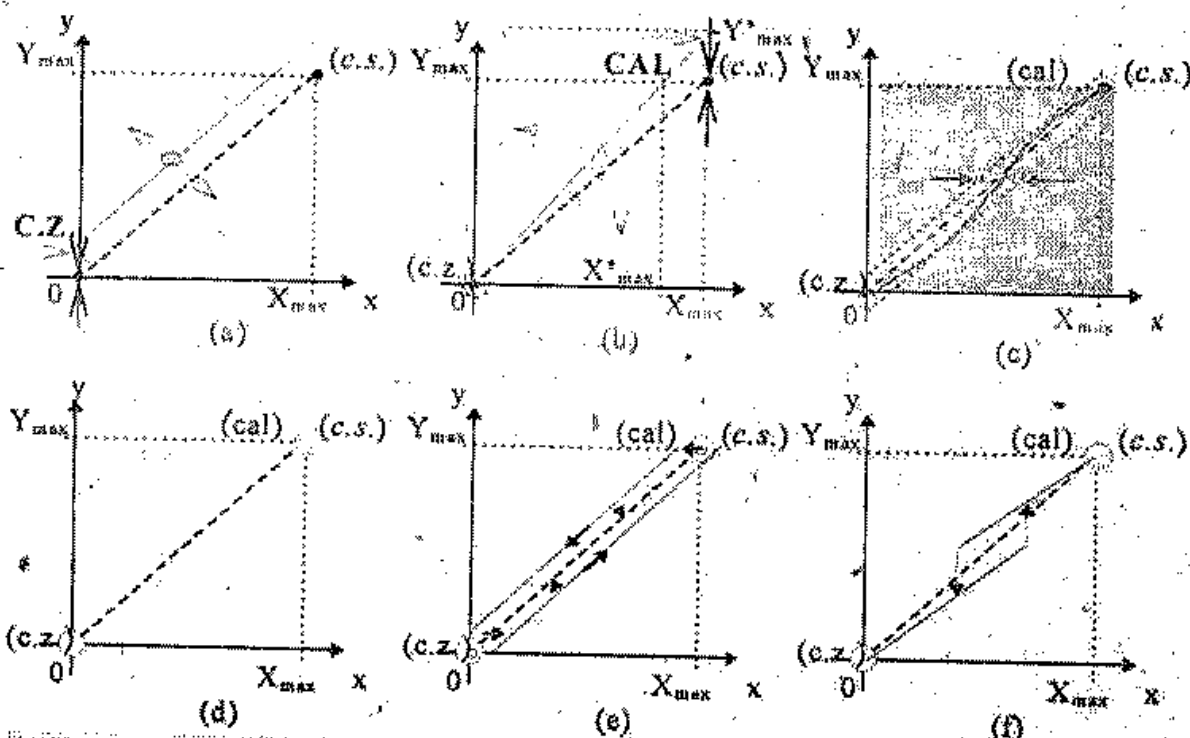


fig. 1.8. Erori tipice ale caracteristicii statice: a) de zero (de nescala); b) de factor de scară (de calibrare, de cap scară); c) de liniaritate; d,e,f) de histerezis.

In relație cu caracteristica statică de transfer se definesc *sensibilitățile*:

- Integrală sau medie, definită pe întreg domeniul ca raportul: $S = \frac{Y_{\max} - Y_{\min}}{X_{\max} - X_{\min}}$, care în cazul în care $X_{\min} = 0$ și $Y_{\min} = 0$ devine $S = \frac{Y_{\max}}{X_{\max}}$, sau definită într-un punct dat $s = \frac{y}{x}$. În cazul unei

caracteristici liniare are aceeași valoare pe întreg domeniul său în orice punct; în cazul unei caracteristici neliniare este doar o mărime convențională.

- *diferențială sau locală*, definită ca $S_d(x) = \left. \frac{dy}{dx} \right|_x$. În cazul unei caracteristici liniare este o constantă și are aceeași valoare cu cea integrală; dată cu toleranță $S_d(x) \pm \varepsilon$ poate servi ca mod de caracterizare a erorii de liniaritate. În cazul unei caracteristici neliniare este o funcție particulară ce poate fi dată analitic sau grafic.

- *relativă sau normală*, definită ca $S_r(x) = \left. \frac{dy/y}{dx/x} \right|_x$. În cazul unei caracteristici liniare are valoarea 1, încât dată cu toleranță $1 \pm \varepsilon$ poate servi ca mod de caracterizare a erorii de liniaritate; se poate folosi și pentru compararea calității unor aparate cu domenii diferite de măsură. În cazul unei caracteristici logaritmice este o constantă și toleranța acesteia caracterizează abaterile de la legea logaritmică.

Comportarea statică este caracterizată și prin alte două mărimi caracterizând comportarea locală: rezoluția și pragul de sensibilitate. Rezoluția aparatului este variația minimă a măsurandului de intrare (Δx_{min}^{res}) care duce la o variație a ieșirii Δy_{min}^{res} mai mare decât eroarea admisibilă de citire. Pragul de sensibilitate este variația minimă a măsurandului de intrare (Δx_{min}^{sens}) care duce la o variație a ieșirii Δy_{min}^{sens} mai mare decât eroarea admisibilă totală (inclusiv eroarea admisibilă de citire și eroarea instrumentală, evident $\Delta y_{min}^{res} < \Delta y_{min}^{sens}$ deci $\Delta x_{min}^{res} < \Delta x_{min}^{sens}$). Rezoluția caracterizează capacitatea aparatului de a discrimina valori apropiate ale măsurandului, în timp ce pragul de sensibilitate determină capacitatea informațională a acestuia; întrucât valori ale măsurandului mai apropiate decât pragul de sensibilitate nu pot fi garantate ca distincte (din cauza erorilor) un aparat analogic execută un fel de cuantizare implicită.

* **Dinamic.** Comportarea dinamică a aparatului se caracterizează prin caracteristica de frecvență (răspunsul $Y(f)$ la măsurand de intrare variabil sinusoidal în timp) și prin răspunsul în timp ($y(t)$ la aplicarea măsurandului sub formă de treaptă); între cele două caracteristici există corespondență obișnuită, bazată pe transformarea Laplace directă și inversă. Aparatele electrice de măsură au în general ecuația de mișcare a echipajului mobil de ordinul 2 (rareori de ordinul 1) iar la aparatele electronice răspunsul este dominat de unul din etaje, mai lent, încât se comportă tot ca un sistem de ordinul 1 sau 2 (această comportare este deseori urmărită din proiectare, întrucât aparatele electronice pot fi folosite adeseori ca element de intrare în bucle de reglare automată a căror stabilitate la autooscilații trebuie asigurată). De altfel numai o astfel de comportare simplă poate asigura o comoditate suficientă de citire a rezultatului în caz de variație rapidă a valorii măsurandului de intrare.

În fig. 1.9 sunt reprezentate tipurile frecvente de caracteristici de frecvență/răspunsuri tranzistorii și anume de ordinul 1 sau de ordinul 2 cu amortisment în jurul valorii critice (la abateri prea mari față de această valoare răspunsul este fie prea lent, fie cu oscilații obositore pentru operator, zona umbră - cu $\zeta = 0,6 + 1,0$ - fiind optimă din acest punct de vedere). La aparatele electrice de măsură în particular este preferat un răspuns ușor subamortizat (la o supracreștere în frecvență -s.c.f.- de cca. $0,2+0,3$ dB corespunde o supracreștere acceptabilă în timp - s.c.t. - de

cca. 2+5%), care evită oprirea prematură a mișcării echipajului mobil din cauza frecările uscate în lagăre (forța de frecare între două suprafețe fiind mai mică dacă sunt în mișcare relativă și mai mare în repaus).

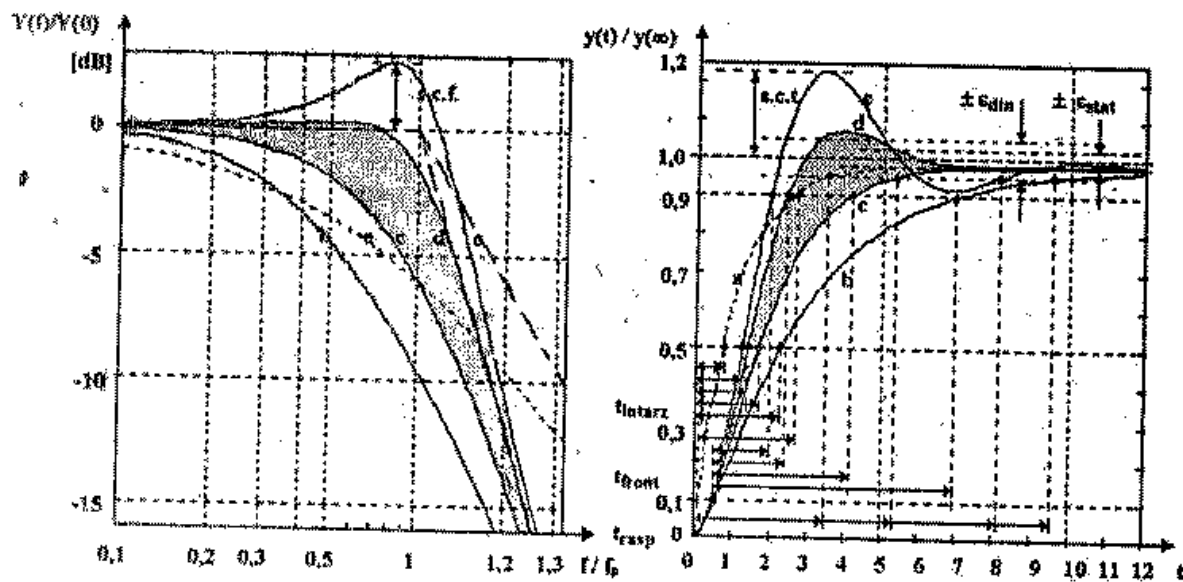


fig. 1.9. Răspunsul în frecvență și în timp pentru sisteme:
a) de ordinul unu: $1/(s + s_p)$, cu $s_p = 1$;
b,c,d,e) de ordinul doi: $1/(s^2 + 2\zeta s + \omega_p^2)$ cu $\omega_p = 1$ și $\zeta = 0,4 / 0,6 / 1,0 / 1,5$

Informațional. Cantitatea de informație adusă de o variabilă având n valori posibile este $I = \log_2(n)$. Din cauza pragului de sensibilitate (Δx_{min}^{prec}) un aparat de măsură distinge corect în domeniul său de măsură un număr de valori $n = (X_{max} - X_{min}) / (2 \cdot \Delta x_{min}^{prec})$; valorile mai apropiate decât acest prag neputând fi considerate sigur distincte (din cauza erorilor) chiar și un aparat analogic execută un fel de cuantizare implicită. Pragul de sensibilitate este legat de clasa de precizie (c) a aparatului prin relația $(\Delta x_{min}^{prec}) = (X_{max} - X_{min}) / c / 100$. Rezultă cantitatea de informație obținută la măsurarea cu un aparat de clasă c: $I_{max}(X_{max}) = \log_2(100/c)$ și numărul de repere necesare în scara aparatului $N_{rep_rec} = (100/c) + 1$. În realitate numărul de repere trasate într-o scară de aparat analogic este mai mare, pentru ușurința citirii și interpolării; de asemenea numărul de cifre (digiți) din afișajul unui aparat numeric este cu cel puțin o unitate mai mare decât cel necesar conform clasei de precizie (și deci capacitatei informaționale).
Observație: orice citire / manevră / reglare incorectă reduce capacitatea informațională reală a aparatului față de valoarea dedusă mai sus.

1.3. Erori de măsură.

1.3.1. Cauze, clasificare.

Valoarea măsurată a unei mărimi, fiind obținută printr-o experiență fizică folosind apărate/mijloace de măsură neideale, diferă de valoarea adevărată a măsurandului prin eroarea de măsură: $X_{\text{măs}} = X_{\text{ad}} \pm E$.

- Cauzele erorilor se pot grupa în patru categorii:

a) *obiectul de măsură* (O.M.) - duce la apariția erorilor *de model*; măsurarea unui parametru al O.M. se face conform unui model care conține simplificări/neglijări/approximații care duc inherent la erori sistematice (de ex. măsurarea rezistenței în direct a unei diode - caracteristica u-i a diodei este exponentială nu liniară).

b) *aparatul de măsură* (A.M.) - duce la apariția erorilor *instrumentale* (determinate de limitările constructive în funcționarea corectă, după efectuarea corectă a tuturor reglajelor).

c) *interacțiunea A.M. \Leftrightarrow O.M.* - duce la apariția erorilor *de interacțiune*, întrucât A.M. consumă o energie de măsură din energia existentă în O.M. (sie generată, sie rezultată în urma unei activări externe), încât de fapt se măsoară valoarea parametrului respectiv *în prezența* A.M.

d) *influențele externe* - duc la apariția erorilor *de influență*; factorii de influență pot fi obiectivi (temperatura ambientă și internă a aparatului, timpul, starea hidrometeorologică, presiunea atmosferică, câmpurile electrice și magnetice externe etc.) cauzând erori obiective, sau pot fi subiectivi (depinzând de operator și de metoda de lucru) cauzând erori subiective.

- Modul de manifestare a erorilor la repetarea măsurătorilor ne permite împărțirea erorilor în:

a) erori variabile lent în raport cu timpul total de măsură - acestea sunt *erori sistematice* (cu excepția corecțiilor cunoscute care trebuie efectuate); ele nu pot fi puse în evidență decât prin informații suplimentare (refacerea măsurătorii cu alte apărate/metode mai precise).

b) erori variabile rapid în raport cu timpul total de măsură; practic altă valoare la fiecare măsurătoare - acestea sunt *erori aleatoare*; ele pot fi puse în evidență prin repetarea măsurătorii și pot fi reduse prin prelucrarea statistică a rezultatelor.

c) accidente/erori grosolan/greșeli - valori total în afara intervalului în care se situează valorile repeatate.

Făcând o analogie cu terminologia de la amplificatoare erorile sistematice sunt analoage erorii de decalaj (offset) iar cele aleatoare zgromotului (termic etc.).

1.3.2. Caracterizarea calitativă.

Caracterizarea calitativă se face prin intermediul noțiunilor: *justitate, repetabilitate și precizie* (vezi fig. 1.10).

O măsurătoare se consideră *justă* dacă media unui număr mare de măsurători ($\tilde{X}_{\text{măs}}$) tinde spre valoarea adevărată (X_{ad}), ceea ce denotă lipsa erorilor sistematice.

O măsurătoare se consideră *repetabilă* dacă rezultatele individuale de măsură se grupează strâns în jurul valorii medii ($-\sigma (X_{\text{măs}})$ - abaterea medie patratnică a rezultatelor individuale de măsură față de valoarea lor medie tindă spre zero). Aceasta denotă erori

aleatoare reduse, chiar dacă această medie diferă semnificativ de valoarea adevărată (din cauza erorilor sistematice).

O măsurătoare care se bucură de ambele proprietăți, de justețe și repetabilitate, este o măsurătoare *de precizie*, având erorile totale (sistematice și aleatoare) reduse.

Se definește *incertitudinea de măsură* ca intervalul probabil (la un nivel de încredere dat) în care se află X_{ad} (nivelul de încredere fiind fracțiunea din totalul rezultatelor de măsură ce se află în interiorul intervalului de incertitudine); estimarea incertitudinii se face prin măsurători repetate și prelucrarea statistică a rezultatelor (pentru erorile aleatoare) și prin folosirea de informații externe obținute cu alte apărate/experiențe (pentru erorile sistematice). De exemplu, în interiorul unui interval $[\tilde{X}_{mas} - \sigma(X_{mas}), \tilde{X}_{mas} + \sigma(X_{mas})]$ se situează 68,3% din totalul valorilor măsurate, acest interval fiind deci incertitudinea de măsură la nivelul de încredere de 68,3%.

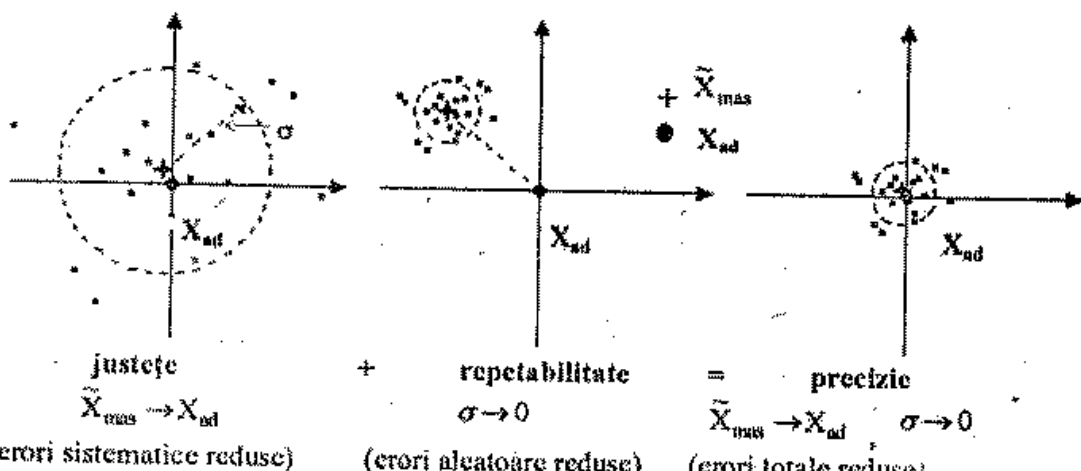


fig. 1.10. Caracterizarea calitativă a erorilor de măsură în funcție de modul de distribuție a rezultatelor măsurărilor mărimii complexe X în jurul valorii adevărate (X_{ad}), luată ca origine a axelor de coordonate.

1.3.3. Caracterizarea cantitativă.

1.3.3.1. Definiții și consecințele lor.

Definiții: Se definesc următoarele erori de măsură:

- *eroare absolută*: diferența între valoarea măsurată și valoarea adevărată a măsurandului

$$E_{abs} = X_{mas} - X_{ad}$$

- *eroare relativă*: raportul între eroarea absolută și valoarea adevărată a măsurandului

$E_{rel} = E_{abs} / X_{ad}$; (se poate exprima direct ca raport, sau înmulții cu 10^2 și exprima în procente [%], sau înmulții cu 10^3 și exprima în promile [‰], sau înmulții cu 10^6 și exprima în părți per milion [ppm]);

* - *eroare raportată*: raportul între eroarea absolută și o valoare de referință - X_{ref} - convențională, a măsurandului, de obicei valoarea maximă a scării/valoarea cap de scară - X_{sc} - sau valoarea corespunzătoare reperului de calibrare trasat în scară - $X_{r.c.}$ - (sau o altă

valoare potrivită, de ex. în cazul ohmmetru lui valoarea mijlocului de scară - $X_{m.s.} \leftrightarrow$ gradația $\times 1$ - , întrucât $X_{c.s.} = \infty$)

$$E_{\text{rap}} = E_{\text{abs}} / X_{\text{ref. c.s. / c.c. / m.s.}} ; (\text{exprimabilă ca raport, în procente, promile sau ppm.})$$

Definițiile acestea, întrutoțul corecte formal, suferă de neajunsul că valoarea X_{ad} este necunoscută; în practică se înlocuiesc cu valorile lor zise convenționale, obținute prin înlocuirea valorii adevărate X_{ad} cu valoarea etalon X_{et} (determinată cu aparatelor/metode mai precise), deci practic folosim definițiile:

- eroare absolută convențională: $E_{\text{a_bs}}^{\text{conv}} = X_{\text{max}} - X_{\text{et}}$;

- eroare relativă convențională: $E_{\text{r_et}}^{\text{conv}} = E_{\text{a_bs}}^{\text{conv}} / X_{\text{et}} \equiv E_{\text{a_bs}}^{\text{conv}} / X_{\text{max}}$ (se înlocuiește X_{et} cu X_{max} întrucât la erori mici prin această înlocuire se comite o eroare de ordinul 2, acceptabilă căci valoarea erorii se exprimă cu puține zecimale, rotunjit superior acoperitor, din cauza componentei aleatoare; în schimb se ocolește folosirea valorii etalon);

- eroare raportată convențională: $E_{\text{r_ap}}^{\text{conv}} = E_{\text{a_bs}}^{\text{conv}} / X_{\text{c.s.}}$ (sau $X_{\text{ref. etc.}}$).

Observație: se omite (se subînțelege) de obicei precizarea *convențională* pentru simplificarea exprimării și scrierii.

Se definește *clasa de precizie* a unui aparat ca eroarea raportată limită/maximă intrinsecă (determinată în condiții metrologice standard de temperatură, presiune atmosferică, umiditate etc. - $23,5 \pm 0,5$ °C, 760 mm.col.Hg, 60% umiditate etc. - , prin măsurători repetate de un număr mare de ori și prelucrare statistică a rezultatelor, bineînțeleas după efectuarea corectă a tuturor reglașelor disponibile), exprimată în procente dar fără a scrie % :

$$c = 100 \cdot | E_{\text{a_bs, max / lim}}^{\text{intrinsecă}} | = 0100 \cdot | E_{\text{a_bs, lim}}^{\text{intrinsecă}} | / X_{\text{c.s.}} \quad (\text{sau } X_{\text{ref. etc.}})$$

Erorii absolute determinate ca mai sus î se zice și *eroare limită de clasă*. Valoarea c astfel obținută se rotunjește superior la o valoare standard (și se inscrie pe cadrul aparatului la aparatelor electrice).

Clasele de precizie standard sunt:

1	1,5	2,5	5	aparate electrice și electronice analogice de măsură
0,1	0,2	0,5		punji de măsură
0,01	0,02	0,05		voltmetre
0,001	0,002	0,005		electronice
				compensatoare de tensiune
				numerice

6 Consecințe:

Acest mod de definire a clasei de precizie (cel mai ușual) are un număr de consecințe:

- eroarea absolută limită comisă la o măsurătoare are valoarea:

$$E_{\text{abs. lim}} = \pm (c/100) \cdot X_{\text{c.s.}}$$

deci caracteristica statică a aparatului se încadrează într-o fâșie de toleranță (vezi fig.1.11)

Observație: Există posibilitatea de a defini clasa de precizie ca eroare relativă, nu raportată, în care caz caracteristica statică se încadrează într-un sector unghiular de toleranță (se precizează prin inscrierea valorii c într-un cerc - este totuși mai rar folosită). Există și posibilitatea definirii combinate, printr-o eroare absolută și o eroare relativă, în care caz caracteristica

- statică se încadrează într-o fâșie plus un sector de toleranță; este caracteristică unor aparete electronice mai complicate.

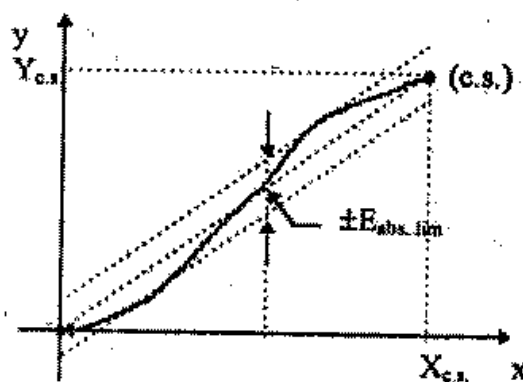


fig. 1.11. Fâșia de toleranță corespunzătoare clasei de precizie.

- valoarea adevărată se situează în limitele: $X_{ad} \in [X_{max} - |E_{abs. lim}|, X_{max} + |E_{abs. lim}|]$
- eroarea relativă a unei măsurători executată cu un aparat de clasă de precizie c este variabilă cu valoarea măsurandului în raport cu valoarea cap de scară, apărând un factor de multiplicare a erorii în raport cu valoarea minimă de la cap de scară:

$$|E_{rel}| = |E_{abs} / X_{max}| \leq |E_{rel. lim}| = |E_{abs. lim} / X_{max}| = (c/100) * |X_{c.s.} / X_{max}|$$

$$|E_{rel}| = m * (c/100), \text{ cu } m = 100 * (|E_{abs. lim}| / c)$$

Valoarea m depinde de poziția valorii citite în cuprinsul scării aparatului (față de valoarea cap de scară) ca în fig. 1.12.

- * Variația erorii relative cu poziția citirii în cuprinsul scării are consecințe în privința stabilirii scărilor multiple:

Se observă că, în cazul unui aparat cu o singură scară, la măsurarea unor valori mici, tîrzând spre zero, factorul de multiplicare a erorii relative tînde spre infinit; în consecință este necesar ca un aparat să aibă mai multe scări pentru a păstra o valoare acceptabilă a erorii relative de măsură într-un domeniu de măsură mai larg.

Prima soluție care se impune este comutarea decadică a scărilor (în secvență ... 0,1 / 1 / 10 ...), impusă bineînțelea de sistemul de numerație; în această situație aparatul poate avea o eroare cu un ordin de mărime mai mare decât cea de clasă în cazul măsurărilor defavorizate (imediat peste o valoare cap de scară), dar de fîndată ce valoarea măsurată scade sub 0,1 din $X_{c.s.}$ se poate comuta scara, revenind la o eroare acceptabilă. În cazul aparatelor numerice aceasta este singura posibilitate, dar în cazul aparatelor analogice este posibilă o comutare cu una, două scări intermediare pe decadă încât factorul de multiplicare a erorii relative în cazul cel mai defavorabil (imediat peste o valoare cap de scară) să aibă o valoare mai mică și aceeași pe toate scările.

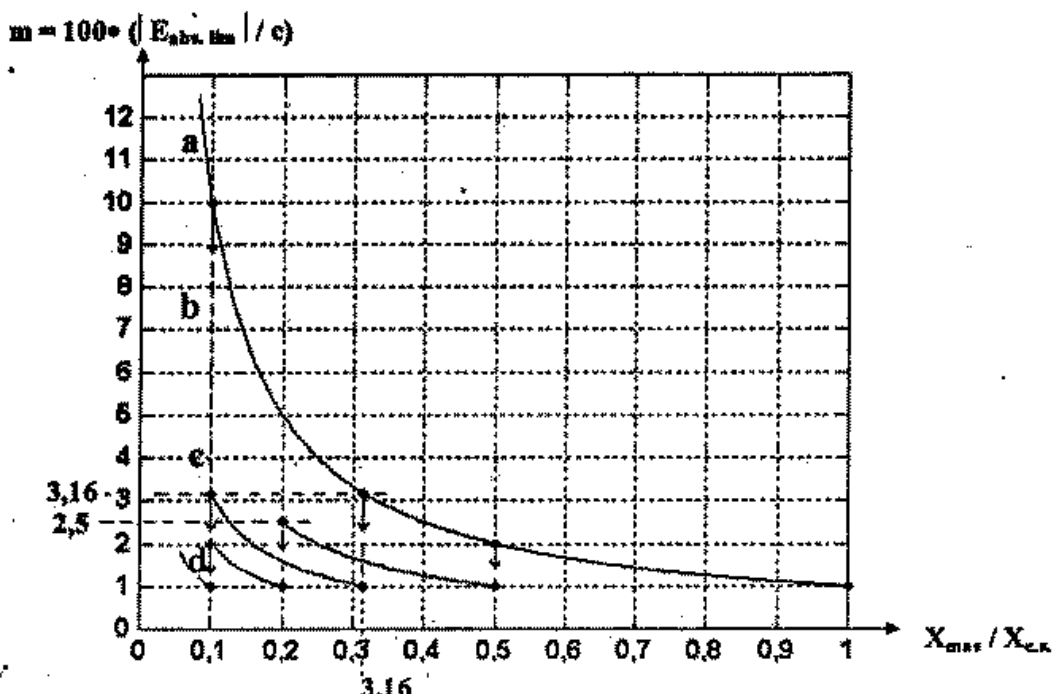


fig. 1.12. Factorul de multiplicare a erorii relative limită în funcție de valoarea cîtă în scără pentru cazurile:

- a - o singură scără;
- b - scări comutabile decadice (în secvență $0,1 / 1 / 10 \dots$);
- c - două scări pe decadă (în secvență $0,1 / 0,3 (0,316) / 1 / 3 / 10 \dots$);
- d - trei scări pe decadă (în secvență $0,1 / 0,2 / 0,5 / 1 / 2 / 5 / 10 \dots$);

Pentru o scără intermediară pe decadă aceeași condiție devine :

$$0,1 \cdot X_{c.s.} / X_{c.s.i.} = X_{c.s.i.} / X_{c.s.},$$

$$\text{de unde: } X_{c.s.i.} = \sqrt{0,1} \cdot X_{c.s.} \cong 0,316 \cdot X_{c.s.}$$

* (secvența de comutare a scărilor succesive
 $0,1 / 0,3 (0,316) / 1 / 3 (3,16) / 10 \dots$).

Se trasează două șiruri de gradații pe aceeași scără, pentru a beneficia de aceeași precizie de citire (din punct de vedere geometric, vezi figura 1.13). În cazul defavorabil $m = 3,16$.

Pentru două scări intermediare pe decadă condiția ar fi:

$$0,1 \cdot X_{c.s.} / X_{c.s.i.1} = X_{c.s.i.1} / X_{c.s.i.2} = X_{c.s.i.2} / X_{c.s.}$$

$$\text{de unde: } X_{c.s.i.1} = 0,1^{2/3} \cong 0,2154$$

$$\text{și } X_{c.s.i.2} = 0,1^{1/3} \cong 0,4642,$$

valori care duc la scări ce nu mai pot fi trasate pe același arc de cerc, ci necesită trasarea unui al doilea arc de cerc interior primului pe care eroarea de citire ar fi mai mare, acesta fiind mai scurt. În consecință se adoptă valorile $X_{c.s.i.1} = 0,2$ și $X_{c.s.i.2} = 0,5$ (secvența de comutare

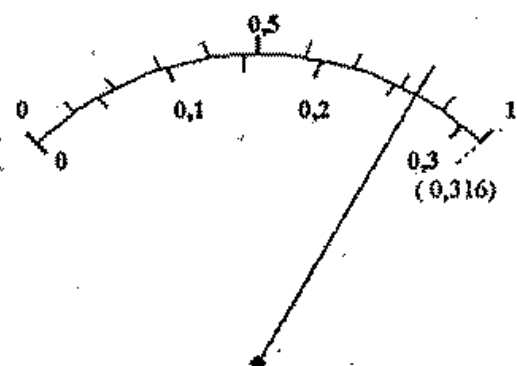


fig. 1.13

... 0,1 / 0,2 / 0,5 / 1 / 2 / 5 / 10 ...), eventual, mult mai rar, $X_{\text{c.a.1}} = 0,2$ și $X_{\text{c.a.2}} = 0,4$. (secvență de comutare ... 0,1 / 0,2 / 0,4 / 1 / 2 / 4 / 10 ...), înțeleând ușor condiția dar permijând folosirea unei singure scări 0 ÷ 1. În cazul defavorabil $m = 2,5$.

Din aceleși motive rezultă că folosirea a mai mult de două scări intermediare pe decadă nu are niciun sens.

* Propagarea erorilor în cazul măsurătorilor indirecte. În cazul măsurătorilor indirecte, în care valoarea măsurată (X) se află prin calcul conform unei relații cunoscute $X = f(X_1, X_2, \dots, X_n)$, pe baza valorilor obținute prin măsurarea directă a altor mărimi (X_i), se cunosc erorile relative limite ale valorilor acestora (pe baza clasei de precizie c_i a acestora, a scărilor pe care s-a măsurat $X_{\text{c.a.}}$ și a valorilor măsurate X_i , conform relației stabilită anterior $|E_{r,i}^{(X)}| = (c_i / 100) * |X_{\text{c.a.}} / X_i|$). Se poate determina eroarea relativă limită a rezultatului ($E_{r,t}^{(X)}$) cu formula zisă a propagării erorilor, dedusă după cum urmează:

$$* \text{ diferențiem formula: } dX = \sum_{i=1}^n \frac{\partial f}{\partial X_i} dX_i$$

$$\text{trecem la diferențe finite: } |\Delta X_{\text{max}}| \leq \sum_{i=1}^n \left| \frac{\partial f}{\partial X_i} * \Delta X_{i,\text{max}} \right| = \sum_{i=1}^n \left| \frac{\partial f}{\partial X_i} * X_i * E_{r,i}^{(X)} \right|$$

de unde :

$$\left| E_{r,t}^{(X)} \right| = \left| \frac{\Delta X_{\text{max}}}{X} \right| = \sum_{i=1}^n \left| \frac{\partial f}{\partial X_i} * \frac{X_i}{X} * E_{r,i}^{(X)} \right|$$

Note: - în cazul unor funcții cupinzând numai operații de înmulțire, împărțire și ridicare la putere se poate deduce formula finală prin logaritmare, diferențiere, treceți la diferențe finite; această variantă de deducere este cunoscută ca metoda derivatelor logaritmice (evidenț duce la același rezultat);

- unele rezultate se pot reține ușor: astfel în cazul funcțiilor sumă *eroarea absolută limită a rezultatului este suma erorilor absolute limite* ale variabilelor, în cazul funcțiilor produs / raport *eroarea relativă limită a rezultatului este suma erorilor relative limite* ale variabilelor etc.

1.3.3.2. Caracterizarea cantitativă a erorilor aleatoare.

La măsurarea repetată a același mărimi, diferite valori măsurate X_m apar cu frecvențe diferite.

Dacă diferenții factori care determină componenta aleatoare a erorii sunt mulți, independenți între ei, aleatori ei însăși având probabilități egale pentru valori mari sau mici, pozitive sau negative, atunci reprezentarea frecvenței de apariție normală (numărul de apariții a valorii / numărul total de valori măsurate, $f_n = n(X_m) / n$) în funcție de valoarea măsurată tinde (când $n \rightarrow \infty$) spre curba denumită clopotul lui Gauss (vezi fig. 1.14), centrată pe valoarea medie μ și având lărgimea la 0,606 din valoarea de vârf egală cu abaterea medie pătratică σ . Valoarea cea mai probabilă este valoarea medie μ , diferența între aceasta și valoarea adevarată X_{ad} este dată de erorile sistematice, o curbă mai îngustă denotă erori

aleatoare mai reduse. Altfel spus erorile aleatoare au o distribuție normală (Gauss) a densității de probabilitate de apariție a unei valori.

Pentru un număr n_1 finit de măsurători curba are o alură similară, dar este mai neregulată iar media grupului de măsurători $\tilde{X}(n_1)$ diferă de μ , abateri care sunt mai accentuate pentru n_1 mai mic. Dacă se consideră în grupuri de căte n_2 măsurători, mediile lor $\tilde{X}_1(n_1)$ cu $1 = 0 + m$ sunt tot o variabilă aleatoare cu aceeași valoare medie μ dar cu o dispersie σ ($\tilde{X}(n_1)$) mult mai redusă, curba frecvenței normate f.n.($\tilde{X}(n_1)$) rezultând tot un clopot Gauss, dar mult mai îngust.

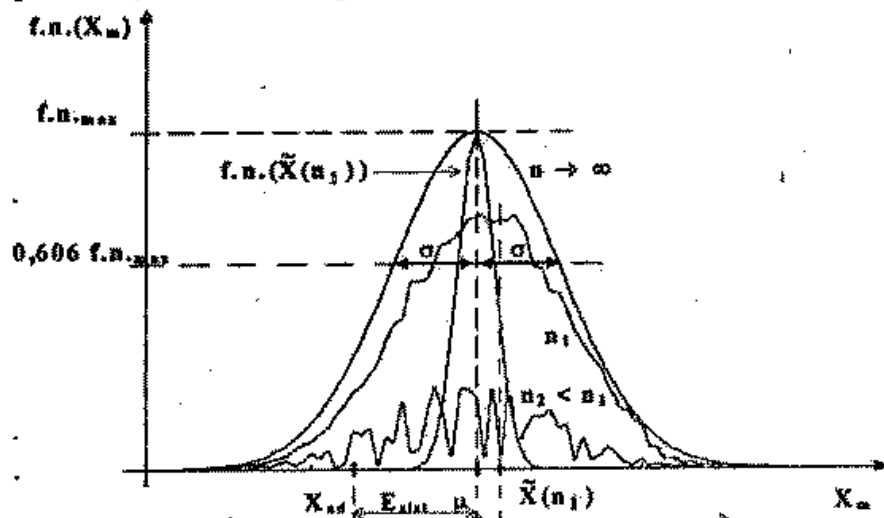


Fig. 1.14. Frecvența de apariție normală a valorii X_m .

$$\text{Se definesc: } \mu = \lim_{n \rightarrow \infty} \tilde{X}(n) = \lim_{n \rightarrow \infty} \frac{1}{n} \sum_{i=1}^n X_{mi}$$

$$\text{și } \sigma = \lim_{n \rightarrow \infty} \sqrt{\frac{1}{n} \sum_{i=1}^n (X_{mi} - \mu)^2}$$

cu care valoarea densitatea de probabilitate de apariție a valorii X_m este:

$$p(X_m) = \frac{1}{\sqrt{2\pi} \cdot \sigma} e^{-\frac{(X_m - \mu)^2}{2\sigma^2}} \quad \text{cu } X_m \in (-\infty, +\infty)$$

Notă: În cazul în care ipotezele de mai sus nu sunt satisfăcute curba prezintă mai multe maxime, ceea ce denotă existența unor corelații între cauzele de eroare; acestea pot fi studiate și eventual îndepărtate numai în fiecare caz particular în parte (dacă decorrelarea este posibilă se revine la cazul general).

Cîteva proprietăți ale distribuției Gauss și consecințele lor
Cazul $n \rightarrow \infty$:

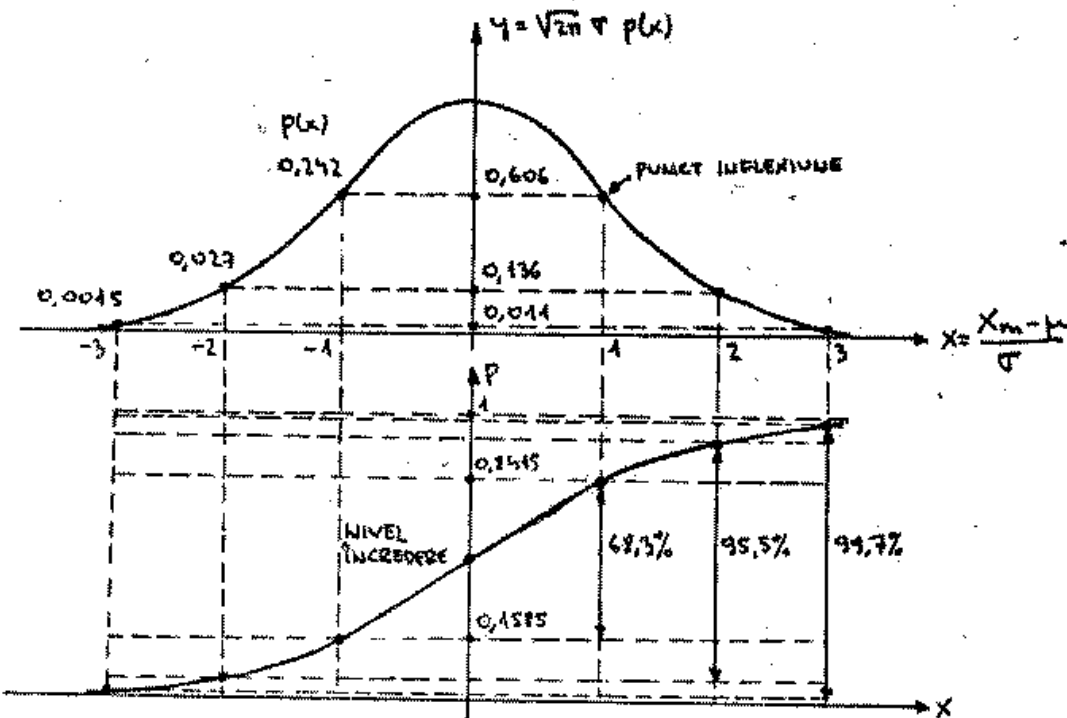


Figura 4.15 Distribuția Gauss pentru $n \rightarrow \infty$

În figura 4.15 este reprezentată curba densității de probabilitate în cazul densității normale (Gauss), normate (în raport cu valoarea maximă și cu abscisa măsurată în unități σ) și funcția de repartiție $F(X_m \leq X_1)$ corespunzătoare (probabilitatea ca o valoare măsurată să aibă cel mult valoarea X_1 , denumită și funcția Laplace). Acestea au expresiile:

$$y(x) = \sqrt{2\pi} \sigma \cdot p(x)$$

unde $p(x) = p(X_m)$ cu $x = (X_m - \mu)/\sigma$;

$$P(X_m \leq X_1) = \int_{-\infty}^{X_1} p(X_m) dX_m \Rightarrow P(X) = \int_{-\infty}^{X_1} y(x) dx$$

Pe figură sunt evidențiate punctele cele mai importante; punctul de inflexiune este la distanța σ pe axa x față de centru, și pe graficul frecvenței de repartiție (de asemenea normată) din figura 4.15 se observă că 68,3% din măsurători cad la distanța σ față de centru, 95,5% cad la 2σ , și 99,7% la 3σ .

Să numește nivel de încredere:

$$P(X_1 < X_m < X_2) = \int_{X_1}^{X_2} p(X_m) dX_m$$

În consecință:

$$X_{ad} = \begin{cases} \mu \pm \sigma & \text{cu nivel de încredere } 68.3\% \\ \mu \pm 3\sigma & \text{cu nivel de încredere } 99.7\% \end{cases}$$

Pentru cazul n finit, $n > 100$ rezultatele sunt similare, dar μ se înlocuiește cu valoarea medie \bar{X} și σ cu s ; valorile sunt estimate pe populații finite, ceea ce duce la lărgirea curbei și la deplasarea maximului ei:

$$\bar{X}(n) = \frac{1}{n} \sum_{i=1}^n X_{m,i} \xrightarrow{n \rightarrow \infty} \mu$$

$$s(n) = \sqrt{\frac{1}{n-1} \sum_{i=1}^n (X_{m,i} - \bar{X})^2} \xrightarrow{n \rightarrow \infty} \sigma$$

Pentru mai multe grupuri de n măsurători, $\bar{X}(n)$ este o variabilă aleatoare care tinde spre μ și are în jurul acestei valori o dispersie mai redusă decât a variabilei X_m :

$$s(\bar{X}(n)) = \frac{s(n)}{\sqrt{n}} > \sigma$$

Așadar, incertitudinea măsurătorii scade de \sqrt{n} ori dacă se ia media a n măsurători în locul unei măsurători. Relațiile dinainte devin:

$$X_{ad} = \begin{cases} \bar{X}(n) \pm s(\bar{X}(n)) & \text{cu nivel de încredere } 68.3\% \\ \bar{X}(n) \pm 3s(\bar{X}(n)) & \text{cu nivel de încredere } 99.7\% \end{cases}$$

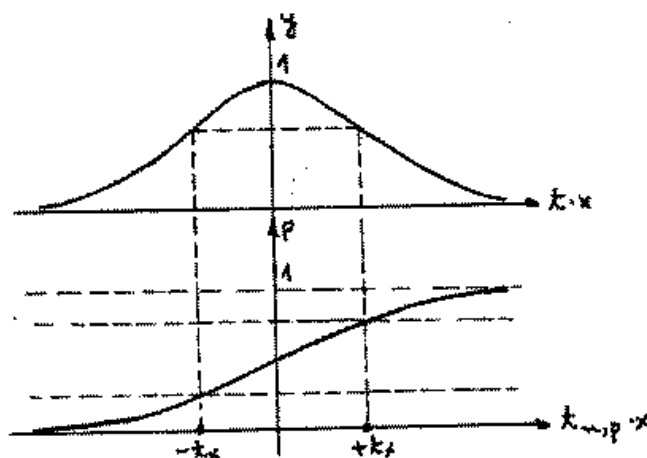


Figura 1.16 Distribuția Student

Pentru n finit și mic (< 100), curba se lărgeste în funcție de valoarea lui n , cu un coeficient numit *coeficientul lui Student* și notat $t(n, P)$, unde P este nivelul de încredere. În figura 1.16 sunt redesenate graficele din figura 1.15, observând că pe axa x se introduce coeficientul de corecție t , care se găsește tabelat. În tabelul următor sunt date cîteva valori uzuale.

n	$P = 0.683$	$P = 0.955$	$P = 0.997$
∞	1	2	3
20	1.03	2.14	3.45
10	1.06	2.33	4.09
5	1.14	2.87	6.62
3	1.32	4.53	19.2

Și putem afirma că valoarea adevărată se găsește în următorul interval (cu nivelul de încredere P):

$$X_{\text{ad}}(n, P) \in \bar{X}(n) \pm t(n, P) \frac{s(n)}{\sqrt{n}}$$

Capitolul 2

Măsurarea impedanțelor

2.1 Elemente dipolare de circuit

2.1.1 Reprezentarea elementelor dipolare ideale

2.1.1.1 Elemente ideale

Elementele ideale sunt aceleia caracterizate de numai una din mărurile R, L, C . Expresia tensiunii la borne în funcție de curentul care trece prin element este, respectiv:

$$U(\omega) = RI(\omega), \quad R = 1/G \quad \text{---} \square \text{---} \quad (2.1)$$

$$U(\omega) = j\omega LI(\omega), \quad X_L = \omega L, \quad B_L = -1/\omega L \quad \text{---} \sim \text{---} \quad (2.2)$$

$$U(\omega) = I(\omega)/j\omega C, \quad X_C = -1/\omega C, \quad B_C = \omega C \quad \text{---} || \text{---} \quad (2.3)$$

unde $G = 1/R$ este conductanță și $jB = 1/jX$ este suscepțanță.

2.1.1.2 Impedanțe ideale dipolare

Impedanța se definește ca raportul între tensiunea și curentul măsurate la aceeași perche de borne, fiind un număr complex:

$$Z(\omega) = \frac{U(\omega)}{I(\omega)} = \frac{1}{Y(\omega)} \quad (2.4)$$

iar $Y = 1/Z$ este admitanță.

Se folosesc trei moduri de reprezentare a impedanței:

- reprezentarea carteziană, prin parte reală și imaginară:

$$\begin{cases} Z(\omega) = R(\omega) + jX(\omega) \\ Y(\omega) = G(\omega) + jB(\omega) \end{cases} \quad (2.5)$$

cu $Z = 1/Y$, rezultă:

$$G = \frac{R}{R^2 + X^2} \quad B = \frac{-X}{R^2 + X^2} \quad R = \frac{R}{G^2 + B^2} \quad X = \frac{-B}{G^2 + B^2} \quad (2.6)$$

(unde R, G, X și B sunt funcții de ω , spre deosebire de cazul elementelor simple care sunt constante cu frecvență).

- reprezentarea polară, prin modul și unghi:

$$\begin{cases} Z(\omega) = |Z(\omega)|e^{j\varphi(\omega)} \\ Y(\omega) = |Y(\omega)|e^{-j\varphi(\omega)} \end{cases} \quad (2.7)$$

adică unghiul în reprezentarea ca admitanță este unghiul în reprezentarea ca impedanță cu semn schimbat.

Relațiile de legătură între elementele reprezentării polare și carteziene sunt:

$$\begin{cases} |Z| = \sqrt{R^2 + X^2} & |Y| = \sqrt{G^2 + B^2} \\ \varphi = \arctg \frac{X}{R} = -\arctg \frac{B}{G} \end{cases} \quad (2.8)$$

Se mai folosește și unghiul de pierderi, definit ca:

$$\delta = \frac{\pi}{2} - |\varphi| \quad (2.9)$$

- reprezentarea mixtă: se ia o componentă a reprezentării carteziene, de obicei componenta L sau C , serie sau paralel (după cum provine din X sau B) și una a reprezentării polare, de obicei factorul de calitate Q sau de pierderi D .

$$\begin{cases} R, G, \underbrace{X, B}_{(L, C)_{sp}} \\ Q(\omega) = |\operatorname{tg}(\varphi(\omega))| = \frac{|X|}{R} = \frac{|B|}{G} \quad D(\omega) = \operatorname{tg}\delta(\omega) = \frac{1}{Q(\omega)} \end{cases} \quad (2.10)$$

Cele 3 reprezentări posibile sunt echivalente, în sensul că mărimile din oricare reprezentare pot fi scrise funcție de mărimile din altă reprezentare:

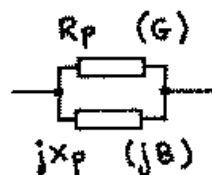
$$\begin{aligned} Z &= \frac{1}{Y} = R + jX = \frac{1}{G + jB} = |Z|e^{j\varphi} = \frac{1}{|Y|e^{-j\varphi}} = X(\pm \operatorname{tg}\delta + j) \\ &= X(\pm D + j) = X \left(\pm \frac{1}{Q} + j \right) = X \left(\frac{1}{\operatorname{tg}\varphi + j} \right) = \dots \end{aligned} \quad (2.11)$$

A măsura o impedanță înseamnă a determina oricare pereche de valori din care se poate deduce oricare alta.

Reprezentarea la frecvență fixă: după cum s-a văzut, o impedanță poate fi reprezentată atât ca circuit echivalent serie, cât și paralel. Dacă în cazul reprezentării carteziene nu apare

nici o ambiguitate, în cazul reprezentării mixte, folosindu-se *aceleasi* elemente (R, L, C), putem deduce relații de echivalență între elementele schemei serie și ale celei paralel:

Cele 2 reprezentări sunt ale același impedanță, trebuie să aibă același modul și unghi, deci rezultă relațiile:



$$\sqrt{R_s^2 + X_s^2} = \frac{1}{\sqrt{\frac{1}{R_p^2} + \frac{1}{X_p^2}}} \quad \text{și} \quad \frac{X_s}{R_s} = Q_s = Q = Q_p = \frac{B}{G} = \frac{\frac{1}{X_p}}{\frac{1}{R_p}} = \frac{R_p}{X_p} \quad (2.12)$$

$$R_s \sqrt{1 + Q^2} = \frac{R_p}{\sqrt{1 + Q^2}} \quad \text{și} \quad X_s \sqrt{1 + D^2} = \frac{X_p}{\sqrt{1 + D^2}}$$

se obține:

$$R_s = \frac{R_p}{1 + Q^2}, \quad X_s = \frac{X_p}{1 + D^2} \quad (2.13)$$

adică:

$$C_s = C_p(1 + 1/Q^2), \quad L_s = \frac{L_p}{1 + 1/Q^2} \quad (2.14)$$

Se observă deci că pentru $Q > 10$, $(L, C)_s \approx (L, C)_p$, deci pentru componente uzuale și aparate de măsură de precizie redusă nu contează modelul folosit. Dacă însă se fac măsurători de precizie (erori de ordinul $10^{-3} \dots 10^{-6}$) este important de cunoscut modelul, altfel rezultatul măsurătorii va fi incorect.

2.1.2 Impedanțe multipolare

2.1.2.1 Definiții.

Prin multipol se înțelege un circuit care are mai mult de două borne; se poate demonstra că orice multipol poate fi descompus în quadripoli (diporți). În cazul diporților apar două tipuri de impedanțe, de intrare și ieșire (care sunt impedanțe dipolare) și impedanțe de transfer (care sunt raport între tensiuni și curenti la porți diferite). Impedanțele specifice de quadripol (diferite de cele dipolare) sunt impedanța de transfer în gol, respectiv admitanța de transfer în scurt-circuit:

$$Z_{tg} = \frac{U_{sg}}{I_{IN}} \quad (2.15)$$

$$Y_{ts} = \frac{I_{o,sc}}{U_{IN}}$$

De exemplu, tensiunea din secundarul unui transformator, în funcție de curentul din primar se scrie $U_{sec} = j\omega M I_{pr}$ și putem identifica $Z_{tg} = j\omega M$, unde M este impedanța mutuală între primar și secundar. Similar, curentul de colector al unui tranzistor (la semnal mic) se scrie $i_c = g_m v_{be} = Y_{ts} v_{be}$.

2.1.2.2 Impedanțele dipolare reale din punct de vedere al măsurătorilor

Chiar dacă majoritatea elementelor fizice de circuit care sunt folosite ca impedanțe au numai 2 borne, în realitate impedanța propriu-zisă și utilă Z apare în paralel cu rezistențe de scurgere și în serie cu impedanța bornelor și a legăturilor de contact. Așadar, orice model al unei impedanțe reale care prezintă numai 2 borne este implicit un model cu erori, pentru că impedanțele parazite sunt *inseparabile*. Pentru măsurarea precisă este obligatorie folosirea unui model de impedanță multipolară, care include și impedanțele parazite.

Vom analiza efectul impedanțelor parazite în cazul unei rezistențe:

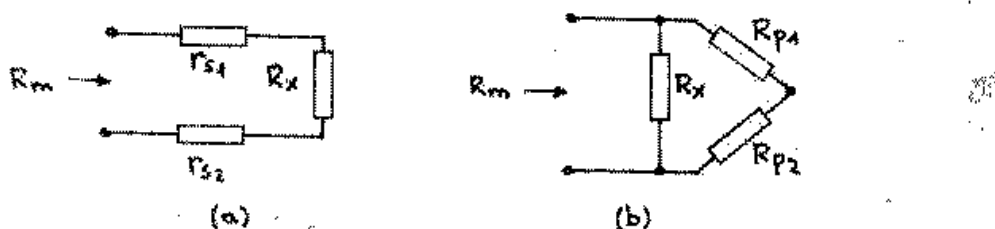


Figura 2.1: Rezistențele parazite serie (a) și paralel (b) la măsurarea R_x

- efectul rezistenței bornelor și al rezistențelor de contact: aceste rezistențe se pot reprezenta, ca în figura 2.1 (a), sub forma a două rezistențe serie r_{s1} și r_{s2} . Notăm r_s suma acestor două rezistențe. Atunci valoarea măsurată R_m și eroarea sistematică au expresia:

$$R_m = R_x + r_s \Rightarrow \varepsilon_{r,sist} = \frac{R_m - R_x}{R_x} = \frac{r_s}{R_x} \quad (2.16)$$

de obicei, r_s e de ordinul a zeci...sute de miliohmi, deci efectul său e neglijabil pentru R_x de ordinul kilohmilor sau mai mari, dar este important pentru rezistențe mici.

- efectul rezistențelor de scurgeri: aceste rezistențe, de valoare mare, sunt figurate în figura 2.1 (b) în paralel cu rezistența de măsurat. Dacă notăm $R_p = R_{p1} + R_{p2}$, atunci:

$$R_m = \frac{R_x R_p}{R_x + R_p} \Rightarrow \varepsilon_{r,sist} = \frac{R_m - R_x}{R_x} = \frac{\frac{R_x R_p}{R_x + R_p} - 1}{\frac{R_x}{R_x + R_p}} = \frac{R_x R_p - R_x^2 - R_p}{R_x + R_p} \underset{R_p \gg R_x}{\approx} \frac{R_p}{R_x} \quad (2.17)$$

R_p este de ordinul $10^{10} \dots 10^{12} \Omega$ deci efectul său este important doar în cazul măsurării rezistențelor mari.

Observație. În afară de cazul rezistențelor mici, respectiv mari, efectul R_s și R_p mai apare în următoarele cazuri:

- *telemăsură*: există situații cind obiectul de măsurat se află la distanță mare față de aparatul de măsură, de exemplu măsurarea rezistenței unui termistor plasat într-un cuptor, efectuată din centrul de control; în acest caz, firele de la termistor pînă la aparatul de măsură pot avea o rezistență mai mare chiar decît a termistorului!

- măsurarea *in situ*: uneori este necesară măsurarea unei componente electronice lipită pe o placă de circuit imprimat, fără posibilitatea de a o dezlipi. Rezistențele celorlalte componente, aflate în paralel cu ea, pot fi chiar mai mici decât rezistența de măsurat!

Observație: în cazul măsurării componentelor microelectronice pe cip, apar simultan ambele situații.

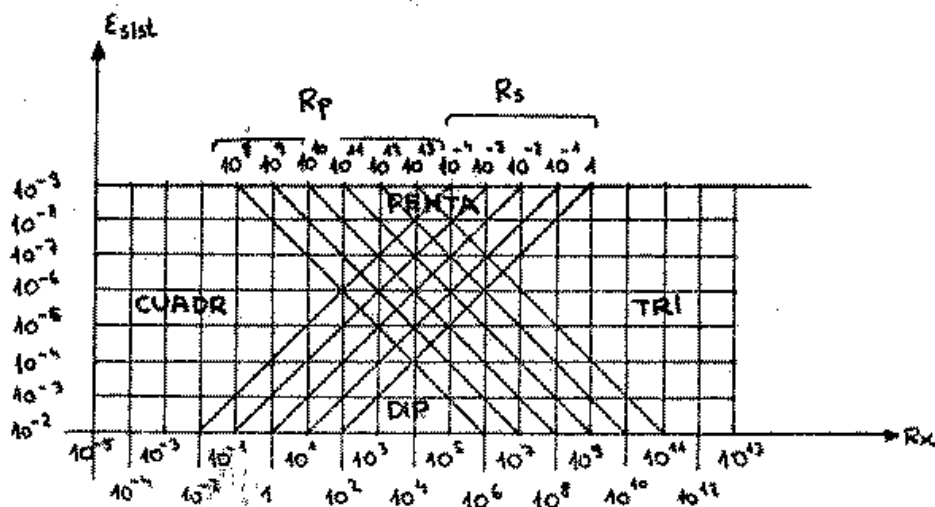


Figura 2.2: Variația erorii sistematice în funcție de valoarea R_x și de modul de conectare

În graficul din figura 2.2 se poate vedea cum variază eroarea sistematică în funcție de valoarea rezistenței R_x . Graficul este trasat pe baza ecuațiilor 2.16 și 2.17. Valoarea erorii se citește, pe ordinată, la intersecția dintre dreapta de $r_s = \text{constant}$ sau $r_p = \text{constant}$ și perpendiculara ridicată de pe abscisă din punctul corespunzător rezistenței R_x date. Se observă că se poate folosi conectarea dipolară doar în zona rezistențelor de valori medii ($10^3 \dots 10^6 \Omega$) și aceasta doar dacă se admite erori nu prea mici ($> 10^{-3} \dots -4$). Pentru rezistențele de valori mai mici (stînga graficului) trebuie folosită conectarea cuadripolară, pentru cele mari (dreapta) conectarea tripolară, iar pentru rezistențe de valori medii dar măsurate cu precizie mare, conectarea pentapolară, care combină conectarea tripolară și cuadripolară pentru a elimina atît rezistențele de contact, cît și cele de surgeri; la frecvențe mai mari, la care dimensiunile montajului devin comparabile cu lungimea de undă, și deci nu mai avem conductoare echipotențiale, măsurarea pentapolară se transformă în măsurare octopolară.

Să analizăm pe rînd fiecare metodă:

- măsurarea tripolară

Modul de conectare al impedanței este dat în figura 2.3 (a). Se urmărește eliminarea influenței impedanțelor Z_{1p} , Z_{2p} , de valoare mare. În general, pentru o componentă fizică care prezintă o impedanță parazită, nu există în mod natural separarea acestia în două impedanțe în serie. De aceea, montajul de măsură trebuie conceput astfel încît să facă această separare în două impedanțe, plasate fiecare în paralel pe o rezistență mică, astfel ca efectul lor să nu conteze. De exemplu, pentru a elibera rezistența de surgeri prin izolatorul dintre cele două borne ale unui mega-ohmetru,

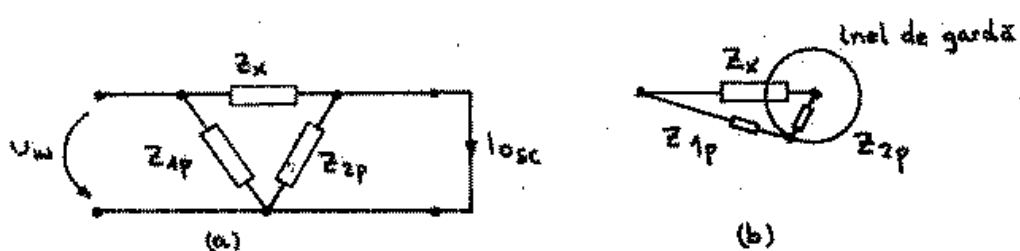


Figura 2.3: Măsurarea tripolară

se prevede un inel conductor (numit *inel de gardă*) care să înconjoare cele două borne. Astfel, inelul intrerupe rezistența parazită și o transformă în două rezistențe aflate în serie. Evident, conectarea tripolară se face la cele două borne și la inel (figura 2.3 (b)).

Se observă pe schema echivalentă din figura 2.3 (b) că Z_{1p} apare în paralel pe sursa de tensiune cu rezistență de ieșire mică, deci curentul absorbit de ea nu intră în I_{osc} , iar prin Z_{2p} nu circulă curent întrucât nu are tensiune la borne (de scurt-circuit la ieșire).

Admitanța măsurată este:

$$Y_m = \frac{I_{osc}}{U_{IN}} = \frac{I_x}{U_x} = \frac{1}{Z_x} \quad (2.18)$$

și se observă că nu depinde de Z_p .

• măsurarea quadripolară

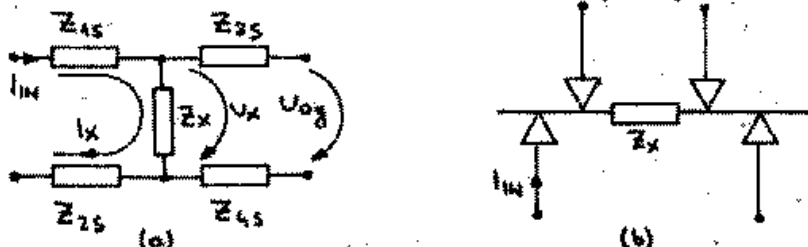


Figura 2.4: Măsurarea quadripolară

În acest caz, conectarea impedanței necunoscute la bornele aparatului se face cu 4 fire, cîte două pentru fiecare terminal Z_x . Printr-o pereche de fire se injectează curent, și prin cealaltă se măsoară tensiunea (figura 2.4 (a)). Cele 4 contacte se mai numesc și contacte Kelvin, și modul lor de conectare este reprezentat în figura 2.4 (b).

Impedanțele $Z_{is}, i = 1..4$ reprezintă rezistențele de contact și impedanțele firelor de legătură. Pe $Z_{1,2s}$ nu contează căderea de tensiune, aceasta fiind suportată de sursă. Pe $Z_{3,4s}$ nu avem căderi de tensiune, pentru că la ieșire impedanța e mare (gol). Așadar, efectul celor 4 impedanțe este eliminat. Impedanța măsurată este:

$$Z_m = \frac{U_{og}}{I_{IN}} = \frac{U_x}{I_x} = Z_x \quad (2.19)$$



și se observă că nu depinde de Z_s .

• măsurarea pentapolară

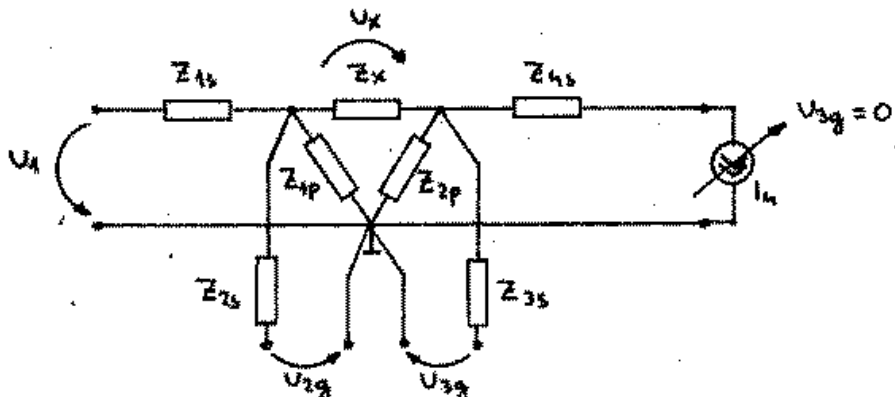


Figura 2.5: Măsurarea pentapolară

4839/15

Acolo unde precizia măsurătorii impune să se țină seama atât de rezistențele serie, cât și de cele paralel, se folosește conectarea pentapolară (figura 2.5) care combină cele două scheme de pînă acum. La măsurările în joasă frecvență, se poate presupune că tresa cablurilor ecranate care se folosesc pe post de sonde de măsură este echipotențială, de aceea am figurat un singur punct de masă și am "mutat" rezistența tresei pe borna caldă, măryind rezistența serie a bornei calde, ceea ce este echivalent din punct de vedere electric.

Se "forțează" prin reglare $I_4 = I_{4f}$ astfel încît să rezulte $U_{3g} = 0$. În aceste condiții, $I_4 = I_x$ deoarece:

- prin Z_{2p} nu circulă curent, ea e deconectată electric prin bootstrapare (potențialele la bornele ei sunt egale);
- prin deconectarea lui Z_{2p} , Z_{4s} apare în serie cu Z_x deci nu contează la măsurarea curentului prin aceasta din urmă;
- curentul prin Z_{1p} și Z_1 , e furnizat de sursa de tensiune U_1 , cu rezistență mică de ieșire.

Tot datorită egalității potențialelor la bornele lui Z_{2p} , se observă că $U_x = U_{3g}$.

Prin urmare,

$$Y_m = \left. \frac{I_{4f}}{U_{3g}} \right|_{U_{3g}=0} = \frac{I_x}{U_x} = \frac{1}{Z_x} \quad (2.20)$$

• măsurarea octopolară

La frecvențe mari, ipoteza de la măsurarea pentapolară conform căreia tresa cablurilor ecranate este echipotențială nu mai este adevărată. La lungimi ale conductorilor de același ordin de mărime cu lungimea de undă, se obțin maxime și minime de tensiune pe toate conductoarele din circuit, inclusiv pe trese. Redesenăm schema de măsură ca în figura 2.6. Se observă că am făcut următoarele modificări:

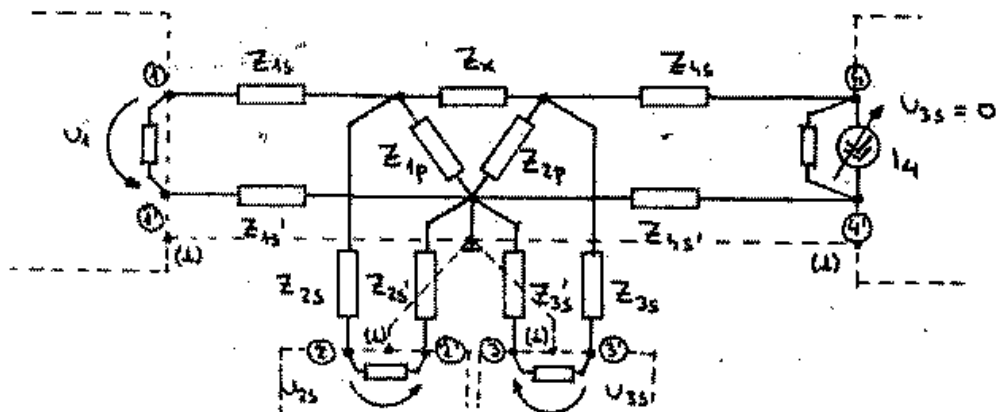


Figura 2.6: Măsurarea octopolară

- apar rezistențe Z_{is} , Z'_{is} , $i = 1 \dots 4$ atât pe firele calde, cât și pe trese (se poate folosi cablu bifilar ecranat, sau coaxial dublu ecranat);
- impedanțele generatoarelor (Z'_1 , Z'_4) și ale aparatelor de măsură (Z'_2 , Z'_3) nu mai pot fi neglijate, datorită capacităților parazite (la 100MHz, cei 30pF uzuali de la intrarea unui aparat devin 53Ω);
- figurăm și legăturile la pămînt ale carcaselor fiecărui aparat, necesare pentru protecția operatorului. Se folosesc apărate având intrări și ieșiri flotante și simetrice (prin transformator de simetrizare).

Măsurătoarea se face acum forțind $I_4 = I_{4f}$ astfel încât tensiunea în sarcină $U_{3s} = 0$ (la frecvențe înalte nu mai putem folosi concepții de gol sau de scurt-circuit):

$$I_{4f} = I_x \frac{Z'_4 + Z_{4s} + Z'_{4s}}{Z'_4} = I_x \frac{Z'_4 + Z_{4s}}{Z'_4} \quad (2.21)$$

unde am notat $Z_{4s} + Z'_{4s} = Z_{4s}$

De asemenea:

$$U_{2s} \Big|_{U_{3s}=0} = U_x \frac{Z'_2}{Z'_2 + Z'_{2s} + Z_{2s}} = U_x \frac{Z'_2}{Z'_2 + Z_{2s}} \quad (2.22)$$

făcind o notație similară.

În aceste condiții, admitanța măsurată devine:

$$Y_m = \frac{I_{4f}}{U_{2s}} \Big|_{U_{3s}=0} = \frac{I_x}{U_x} \cdot \frac{Z'_2 + Z_{2s}}{Z'_2} \cdot \frac{Z'_4 + Z_{4s}}{Z'_4} = Y_x \cdot C \quad (2.23)$$

unde C este un factor de corecție care se calculează ținând seama de impedanțele aparatelor, conexiunilor și obiectului de măsură.

• măsurarea la frecvențe foarte mari

La frecvențe la care dimensiunile fizice ale conductoarelor sunt egale sau mai mici decât lungimea de undă, nici una din schemele de mai sus nu mai funcționează, însuși termenul de impedanță nemaiavând sens, toți parametrii fiind distribuiți. Se folosește

caracterizarea obiectului de măsurat prin parametri S, inclusiv fenomenele de propagare în circuit, măsurările de impedanță fiind înlocuite de măsurări de reflectometrie (atenuare de reflexie, de inserție etc).

Observație

Conecțarea tripolară/cuadripolară/pentapolă se folosește la construcția impedanțelor etalon de precizie mare, pentru a permite din start conectarea lor optimă în circuit. În figura 2.7 (a) este reprezentată o impedanță etalon de valoare mare (exemplu: o capacitate de 10pF), inclusă într-o structură de cablu coaxial; figura b) arată o rezistență de valoare mică (exemplu: o rezistență de 10Ω), prevăzută cu contacte Kelvin pentru separarea bornelor de curent și de tensiune; figura c) descrie modul de construcție al unei impedanțe pentapolare, în care sunt scoase 4 cabluri coaxiale diferite (al cincilea contact este tresa).

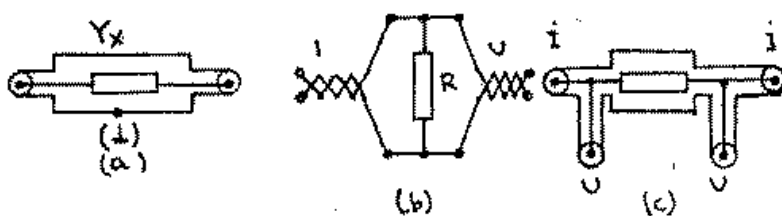


Figura 2.7: Construcția etaloanelor

2.1.3 Elemente de circuit reale

Elementele de circuit reale, în afară de R , L sau C utilă ca proprietate principală mai au și impedanțe serie/paralel parazite. Ele pot fi caracterizate, în funcție de ordinul de mărimi al valorii nominale și de precizia cerută, folosind una dintre următoarele aproximări:

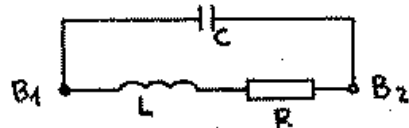
- aproximarea a 1-a: valori medii, gamă de frecvențe redusă, precizie medie;

În acest caz, este suficient să definim doar mărimea R , L sau C dorită, ignorând elementele parazite.

- aproximarea a 2-a: valori extreme, gamă largă de frecvențe, precizie medie;

În acest caz, vom folosi un model de circuit RLC , în care caracterul rezis-tiv/inductiv/capacitiv este dominant, și vom denumi ansamblul, respectiv, rezistor, inductor, capacitor.

Dacă mărimea dominantă este L sau R , circuitul echivalent este:



având impedanță la borne:

$$\begin{aligned}
 Z_{L,R} &= \frac{(R+j\omega L)\frac{1}{j\omega C}}{R+j\omega L+\frac{1}{j\omega C}} = \frac{R+j\omega L}{1-\omega^2 LC + j\omega RC} \\
 &= \frac{(R+j\omega L)(1-\omega^2 LC - j\omega RC)}{(1-\omega^2 LC)^2 + (\omega RC)^2} \\
 &= \frac{R(1-\omega^2 LC) + \omega^2 LRC + j[\omega L(1-\omega^2 LC) - \omega CR^2]}{(1-\omega^2 LC)^2 + (\omega RC)^2} \quad (2.24)
 \end{aligned}$$

unde am presupus că $L/R = RC$, adică elementele parazite dă aceeași constantă de timp, și construcția se cheamă **antiinductată**.

Dacă componenta este un rezistor, adică:

$$\omega L \ll R \ll \frac{1}{\omega C} \quad \text{valabil la } \omega \ll \omega_0 = \frac{1}{\sqrt{LC}} \quad (2.25)$$

atunci

$$R_{ech} = \frac{R}{(1-\omega^2 LC)^2 + (\omega RC)^2} \quad (2.26)$$

iar dacă componenta este un inductor, adică:

$$R \ll \omega L \ll \frac{1}{\omega C} \quad \text{valabil la } \omega \ll \omega_0 \quad (2.27)$$

atunci

$$L_{ech} = \frac{L}{1-\omega^2 LC} \quad (2.28)$$

Dacă mărimea dominantă este C , circuitul echivalent este:



și impedanța la borne are expresia:

$$Z_e = R + j\omega L + \frac{1}{j\omega C} = R + \frac{1}{j\omega C}(1-\omega^2 LC) = R + \frac{1}{j\omega C_{ech}} \quad (2.29)$$

prin identificarea C_{ech} în ecuația de mai sus, se obține:

$$C_{ech} = \frac{C}{1-\omega^2 LC} \quad (2.30)$$

valabil cu condiția:

$$R, \omega L \ll \frac{1}{\omega C}, \quad \omega \ll \omega_0 \quad (2.31)$$

Variatia mărimi echivalente dominante cu frecvență este dată în figura 2.8, aproximativ valabilă pînă la $\omega = \omega_0/3 \dots 5$.

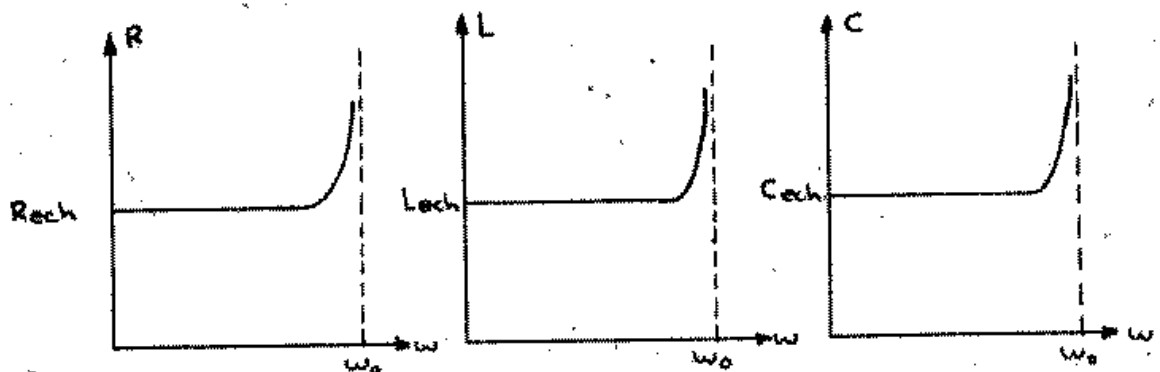


Figura 2.8: Variatia mărimii echivalente dominante cu frecvență pentru R, L, C

- aproximarea a 3-a: etaloane, precizie maximă:

În acest caz, se folosește o schemă electrică cu constante concentrate R, L, C care depind de frecvență, tensiune, temperatură, conform fenomenelor fizice și tipului construcției. Schemele pentru rezistor, inductor și capacitor sunt redate în figura 2.9.

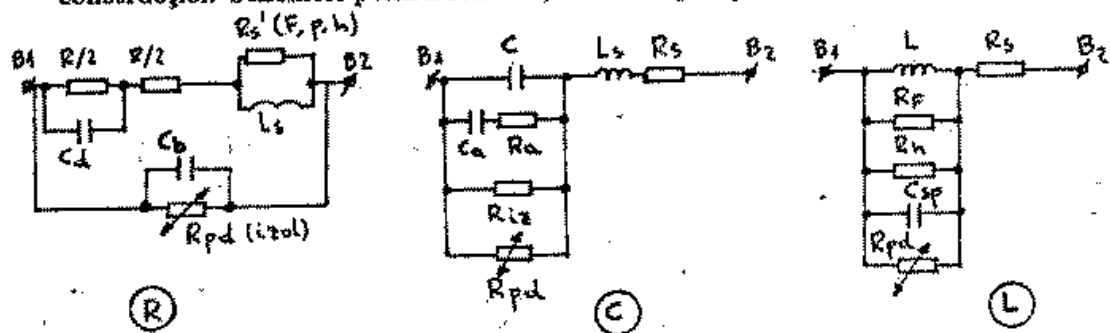


Figura 2.9: Etaloanele pentru R, C, L conform aproximării a 3-a

În cazul rezistorului, se ține seama că C_d este o capacitate distribuită care poate fi reprezentată mai exact printr-o capacitate conectată la mijlocul rezistenței; L_s (inductanța firelor terminale) este șuntată de o rezistență de pierderi R'_s , care reprezintă efectul pelicular (eventual și al curentilor Foucault, postacțiunii și histerezisului dacă aceste conductoare sunt făcute din materiale magnetice); C_b reprezintă capacitatea între terminale, borne și față de ecran, dacă există; R_{pd} reprezintă rezistență de pierderi în materialul izolant care acoperă corpul rezistenței.

În cazul capacitorului, L_s, R_s reprezintă inductanță și rezistență firelor terminale, în care R_s poate depinde de frecvență din cauza efectului pelicular, grupul R_a, C_a reprezintă efectul echivalent fenomenului de absorbtie dielectrică (polarizarea la interfață metal-dielectric – efect de electret), R_{pd} reprezintă rezistență de izolament a dielectricului în curent continuu (scurgeri de curent prin dielectric) iar R_{pd} este rezistență de pierderi în dielectric în cimp electric alternativ, care depinde puternic de frecvență.

În cazul inductorului, R_s reprezintă rezistența firului bobinei (variabilă cu frecvență din cauza efectului pelicular), R_f rezistență echivalentă pierderilor prin curenti Foucault în miezul magnetic (pierderi proporționale cu pătratul frecvenței), R_H rezistență echivalentă de pierderi prin histerezis în miezul magnetic (pierderi proporționale cu

frecvență), C_{ap} reprezintă capacitatea echivalentă a capacității distribuite între spirele bobinei, iar R_{pd} rezistența echivalentă de pierderi în dielectricul izolator al firului bobinei.

În toate cazurile, rezistențele de pierderi în dielectric R_{pd} pot fi dependente de tensiunea la borne.

- aproximarea a 4-a: etaloane primare, gamă largă de frecvențe, precizie maximă:

În această situație din urmă, se folosește schema electrică echivalentă cu constante distribuite, ținând seama și de fenomenele de propagare. Aici dependența de f , E , T nu mai este numai conform fenomenelor fizice, ci depinde de construcția particulară, deci fiecare etalon se livrează împreună cu schema proprie.

De exemplu, un etalon tripolar de rezistență de valoare mare (cu peliculă metalică, spiralat) are o schemă echivalentă ca în figura 2.10, unde s-a ținut seama de caracterul distribuit al inductanței și capacitatii ca la o linie electrică lungă.

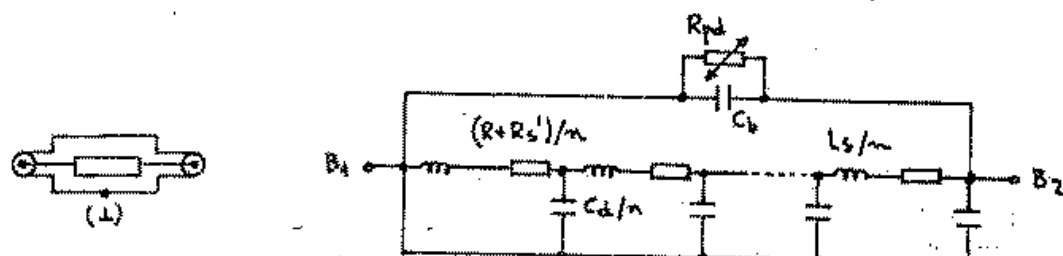


Figura 2.10: Etalon de rezistență conform aproximării a 4-a

2.2 Măsurarea impedanțelor cu aparate de uz general

2.2.1 Metode directe folosind voltmetru/ampermetru pentru elemente simple ($R, L, C, |Z|$)

2.2.1.1 Metoda voltmetrului și ampermetrului

Schema de măsură se bazează pe determinarea R pornind de la legea lui Ohm: $R = U/I$. Se citesc U , I și se face împărțirea. De aceea, metoda este uneori numită directă (conform definiției), deși ca metodă de măsură este indirectă (se măsoară direct U și I și se calculează R).

După poziția voltmetrului față de ampermetru în sensul de "curger" a energiei, din spate generator spre R_x , există două variante de scheme, amonte și aval. Pe schema din figura 2.11 sunt figurate ambele variante, dar la un moment dat se folosește doar un singur voltmetru.

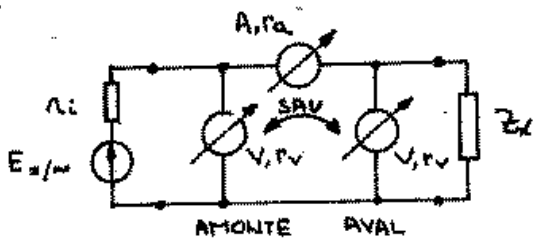


Figura 2.11: Metoda voltmetrului și ampermetrului

- în cazul amonte, voltmetrul nu măsoară tensiunea pe rezistență, ci suma tensiunilor de pe rezistență și ampermetru:

$$R_x^{am} = \frac{U - r_s I}{I} \Big|_{r_s \ll R_x} \simeq \frac{U}{I} \quad (2.32)$$

deci schema este adecvată măsurării rezistențelor mari;

- în cazul aval, ampermetrul măsoară suma curentilor prin voltmetru și rezistență:

$$R_x^{av} = \frac{U}{I - \frac{U}{R_V}} \Big|_{R_V \gg R_x} \simeq \frac{U}{I} \quad (2.33)$$

deci schema se folosește pentru măsurarea rezistențelor mici.

Se observă că folosirea formulei simplificate $R = U/I$ introduce o eroare sistematică.

Aceeași schemă se poate folosi și în curent alternativ, în care caz relația folosită este $Z_x \simeq U/I$ (totdeauna cu eroare sistematică, nepuțindu-se introduce corecții, din cauza unghiului impiedanței care este necunoscut și diferit de cel al voltmetrului și ampermetrului).

Schimba stă la baza construcției majorității impiedanțmetrelor uzuale. Pentru a permite o citire directă nu se face împărțirea U/I , ci se injectează un $I_{constant} = 10^{-n}$ [A] și se citește $U_{[V]} \sim |Z|_{[n]}$, sau se aplică un $U_{constant} = 10^n$ [V] și se citește $I_{[A]} \sim |Y|_{[n-1]}$. În curent alternativ, se pot folosi și vector-voltmetre (care indică modulul și fază tensiunii, sau partea reală și imaginară în raport cu o tensiune de referință), determinând în felul acesta valoarea polară, respectiv carteziană a impiedanței.

Dacă frecvența generatorului folosit este vibratată (baleiată) iar rezultatul măsurării este afișat pe un tub catodic, impiedanțmetrul se numește analizor de rețea.

2.2.1.2 Metoda substituției

Această metodă se bazează pe folosirea unui element etalon reglabil, de aceeași natură cu Z_x , și compararea tensiunii sau curentului din circuit atunci cînd e conectat Z_x , cu tensiunea/curentul corespunzătoare lui Z_x . Se reglează Z_x pînă la egalarea tensiunii/curentului cu cel din cazul Z_x . Schema de măsură este dată în figura 2.12, dar la un moment dat se folosesc și ampermetrul și o sursă de tensiune, pentru Z_x mare ($r_s \ll |Z_x|$), și voltmetrul și o sursă de curent, pentru Z_x mic ($R_V \gg |Z_x|$), nu A și V simultan.

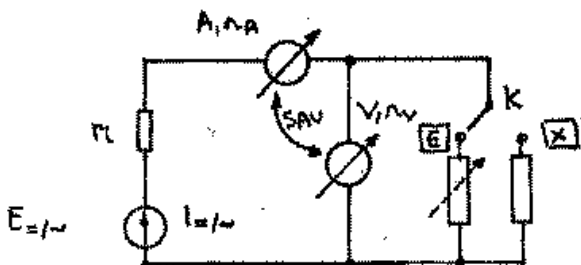


Figura 2.12: Metoda substituției

La echilibru se poate scrie relația:

$$\frac{I_e}{I_x} = \frac{R_x}{R_e} = \frac{L_x}{L_e} = \frac{C_x}{C_e} = \frac{|Z_x|}{R_e} = \frac{U_x}{U_e} \quad (2.34)$$

Aceasta este metoda directă. Dacă se înlocuiește comutatorul cu un releu care să permită comutarea rapidă (releu Reed), se obține *metoda substituției cu modulare*:

Schema de principiu este dată în figura 2.13 (a). Instrumentul indicator este de obicei un voltmetru de c.a. selectiv pe frecvență de comutare f , care este de zeci de Hz, și voltmetrul selectiv poate avea o bandă de cîțiva Hz, ceea ce practic reduce zgometul la nivelul de cîțiva nV/Hz².

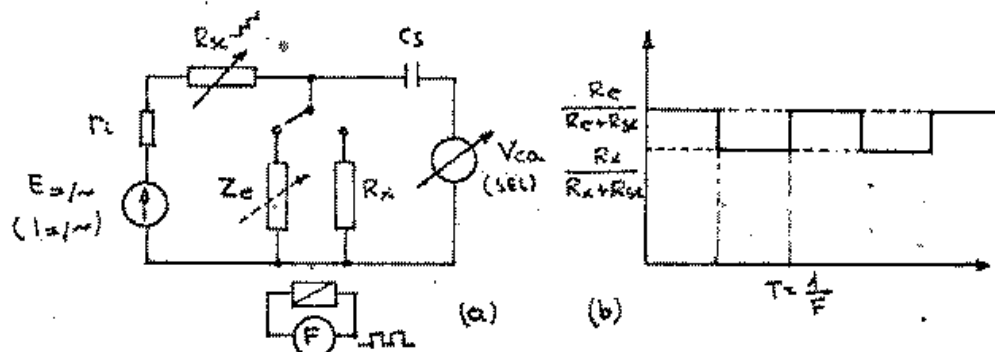


Figura 2.13: Metoda substituției cu modularare

Pentru exemplificare, în cazul măsurării unei rezistențe $R_x \approx R_e \approx R_{so}$, forma de undă a tensiunii pe voltmetru este reprezentată în figura 2.13 (b). Se observă că tensiunea variază între două nivele care vor deveni egale cînd se reglează $R_e = R_x$, și în acest caz pe voltmetrul de c.a. nu se va mai cîti nici o indicație (componenta continuă nu este sesizată, fiind îndepărtată de C_s).

Prin urmare, în această situație tot ce trebuie determinat este minimul pe voltmetru, și nu mai suntem limitați de rezoluția citirii U_x și U_e ca în cazul precedent.

Dacă tensiunea de alimentare e de ordinul 10V, și tensiunea minimă măsurabilă la voltmetru este de ordinul 100nV, precizia de egalare $R_x = R_e$ rezultă de ordinul 10^{-8} , comparabilă cu precizia unei punți.

Dacă $R_x \approx R_e$, amplitudinea de modulație U_{vv} este proporțională cu diferența ΔR dintre R_e și R_x și rezultă formula:

$$\frac{U_{vv}}{E} = \frac{R_x}{R_x + R} - \frac{R_e}{R_e + R} = \frac{R(R_x - R_e)}{(R_x + R)(R_e + R)} = \frac{\Delta R}{R} \frac{1}{\left(1 + \frac{R_x}{R}\right) \left(1 + \frac{R_e}{R}\right)} \quad (2.35)$$

ceea ce ne permite un reglaj în trepte mai brute ale lui R_e (R_e mai ieftin), cu citirea primelor cifre semnificative pe R_e și a ultimelor cifre pe voltmetru.

Metoda se poate extinde și la impiedanțe, dacă folosim un Z_e cu două componente reglabile.

Un alt avantaj al acestei metode este posibilitatea automatizării. Dacă valoarea Z_e poate fi reglată electric, atunci se face o buclă de reglare automată extremală cu două variabile care să varieze cele 2 componente ale Z_e în sensul scăderii tensiunii pe V.c.a.

Observație: Dacă se folosește un generator de curent constant în locul unei surse de tensiune, atunci:

$$U_{vv} = \Delta R \cdot I \quad (2.36)$$

2.2.1.3 Metoda elementului adițional

Acastă metodă se bazează pe schema din figura 2.14 și, ca și precedentele, are două variante:

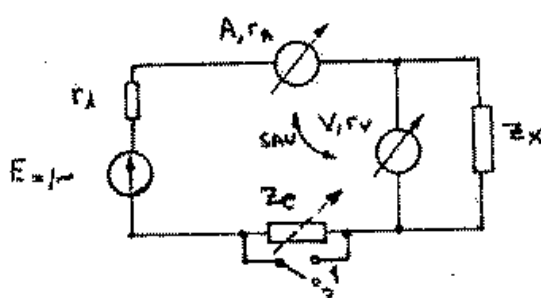


Figura 2.14: Metoda elementului adițional

- folosirea unui voltmetru (cu condiția $r_i, R_V \gg |Z_x|$); atunci:

$$U_2 = U_1 \frac{Z_x}{Z_x + Z_e} \quad (2.37)$$

- folosirea unui amperméttru (în cazul $r_i, r_a \ll |Z_x|$):

$$I_2 = I_1 \frac{Z_x}{Z_x + Z_e} \quad (2.38)$$

Metoda permite compararea unor impiedanțe de aceeași natură:

$$\frac{(R, L, 1/C)_x}{(R, L, 1/C)_e} = \frac{1}{\frac{I_1}{I_2} - 1} = \frac{1}{\frac{U_1}{U_2} - 1} \quad (2.39)$$

Precizia acestei metode nu e prea ridicată; dacă se reglează Z_x pînă la înjumătățirea tensiunii/curentului ($U_1 = 2U_2, I_1 = 2I_2$) atunci $(R, L, 1/C)_s = (R, L, 1/C)_e$ și metoda se numește *metoda înjumătățirii*.

Există și posibilitatea măsurării încrucișate ($X_x \leftrightarrow R_x$), dacă frecvența generatorului este variabilă. În acest caz, dacă $I_1, U_1 = \sqrt{2}I_2, U_2$ (scădere cu 3dB), $X_x = R_x$.

O aplicație ușuală a metodelor este măsurarea impedanței de intrare a osciloscoapelor sau voltmetrelor, precum și a impedanței de ieșire la generatoare.

2.2.2 Metode de comparație pentru măsurarea Z_x

Aceste metode permit măsurarea atât a modulului, cât și a fazei pentru Z_x .

2.2.2.1 Metoda celor 3 tensiuni

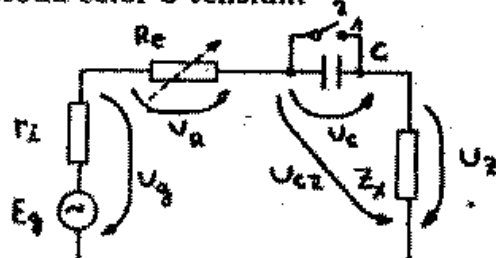


Figura 2.15: Metoda celor 3 tensiuni

Schema de măsură este dată în figura 2.15. Este necesar ca $R_V \gg Z_{x,C,e}$. Se folosește o capacitate auxiliară C care poate fi introdusă sau scoasă din circuit folosind un comutator K .

Cind $K = 1$, $\vec{U}_{g1} = \vec{U}_{Z1} + \vec{U}_{R1}$, reprezentată prin diagrama fazorială din figura 2.16. De aici putem obține modulul și valoarea absolută a argumentului (intrucît voltmetrul măsoară numai modulul tensiunilor).

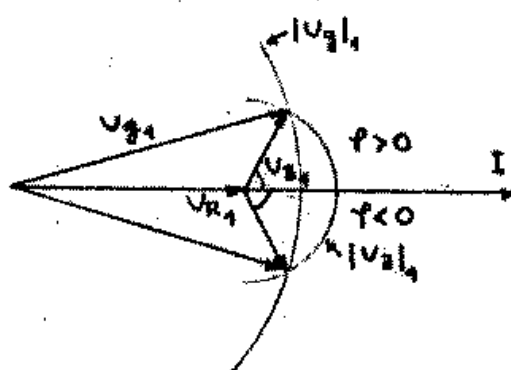


Figura 2.16: Diagrama fazorială pentru $K = 1$

$$|Z_x| = R_x \frac{U_{Z1}}{U_{R1}}, \quad \varphi = \arccos \frac{U_{g1}^2 - U_{R1}^2 - U_{Z1}^2}{2U_{R1}U_{Z1}} \quad (2.40)$$

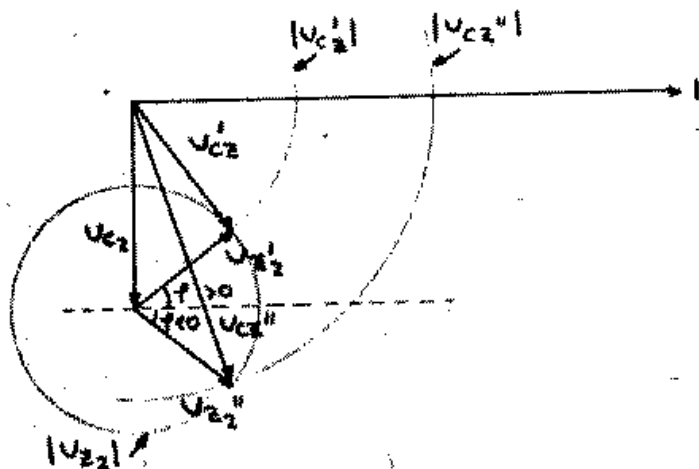


Figura 2.17: Diagrama fazorială pentru $K = 2$

Se observă că nu putem ști care e semnal lui φ , întrucât relațiile de mai sus sunt valabile pentru ambele semne (diagrama fazorială e simetrică față de axa I).

Pentru a determina semnul, deschidem comutatorul ($K = 2$) introducând în circuit condensatorul auxiliar C_1 se scrie ecuația:

$$\tilde{U}_{CZ2} = \tilde{U}_{CZ} + \tilde{U}_{Z2} \quad (2.41)$$

reprezentată în diagrama fazorială din figura 2.17, pentru două valori diferite ale lui U_{CZ2} (U'_{CZ2} respectiv U''_{CZ2}).

$$U_{CZ2}^2 - U_{CZ}^2 - U_{Z2}^2 \begin{cases} < 0 & \Rightarrow \varphi_x > 0 \\ > 0 & \Rightarrow \varphi_x < 0 \\ = 0 & \Rightarrow \varphi_x = 0. \end{cases} \quad (2.42)$$

Observație: este indicat să se aleagă o valoare C astfel încât U_{CZ2} , U_{Z2} și U_{CZ} să fie măsurabile pe aceeași scară a voltmetrului pentru a reduce influența erorilor acestuia. Se folosește o valoare C atâtă în consecință (se poate comuta C în trepte, relativ grosier (de exemplu decadic); valoarea lui C nu trebuie să fie precisă).

2.2.2.2 Metoda elipsei (metoda comparației cu osciloscopul catodic)

Această metodă folosește un osciloscop catodic în modul " $Y = f(X)$ ", spre deosebire de modul normal de lucru " $Y = f(t)$ ". Se conectează Z_x și o capacitate etalon reglabilă C_x după schema din figura 2.18 și se obține pe ecran o elipsă (obligatoriu generatorul trebuie să aibă ieșire simetrică). Se măsoară pe ecran dimensiunile X_1, Y, X_0, Y_0 ale elipsei, notate ca în figura 2.19. Având în vedere că sunt formulele următoare aceste mărimi intervin numai ca rapoarte, este mai comod să se măsoare $2X, 2Y, 2X_0, 2Y_0$ pentru că astfel nu mai contează dacă imaginea este centrală sau nu.

Notind K_x, K_y respectiv coeficientul de deflexie pe X, Y , se pot scrie ecuațiile:

$$\begin{cases} 2Y = 2K_y I |Z_x| \\ 2X = 2K_x \frac{I}{\omega C_x} \end{cases} \quad (2.43)$$

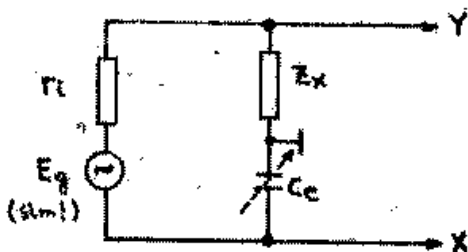


Figura 2.18: Schema de măsură pentru metoda elipsei

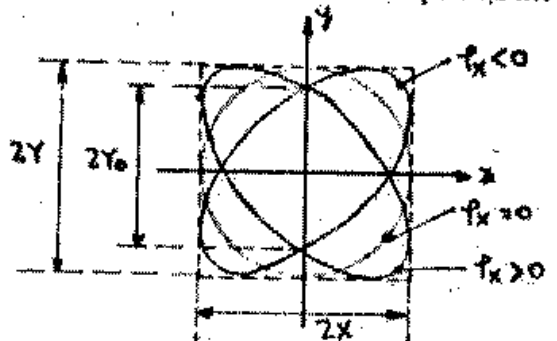


Figura 2.19: Elipsa obținută pe ecran

de unde se obține

$$|Z_x| = \frac{1}{\omega C_r} \frac{2Y}{2X} \frac{K_x}{K_y} \quad (2.44)$$

Pentru a avea o citire cât mai precisă, se reglează C_r (dacă este variabil fin) astfel ca $K_x = K_y$ și $2X = 2Y$, caz în care se elimină erorile de calibrare ale osciloscopului. (Se poate reface exact calibrarea prin aplicarea unei acelasi tensiuni în paralel pe X și Y , reglind fin amplificarea încit să rezulte exact aceeași deflexie pe X și Y – dreaptă înclinată la 45 de grade). Formula devine:

$$|Z_x| = \frac{1}{\omega C_r} \quad (2.45)$$

Deflexiile instantanee pe axele X , Y sunt:

$$\begin{cases} y = Y \sin(\omega t - \varphi_x) \\ -x = X \sin(\omega t - \pi/2) \end{cases} \quad (2.46)$$

la $\omega t = \pi/2$, $x = 0$ deci

$$y \Big|_{\omega t = \pi/2} = Y_0 = Y \sin(\pi/2 - \varphi_x) = Y \cos \varphi_x \quad (2.47)$$

șaadar

$$\varphi_x = \arccos \left(\frac{2Y_0}{2Y} \right) \quad (2.48)$$

Semnul lui φ_x este dat de cadrul în care se află axa mare a elipsei.

- în cadranele 1 și 3, $\varphi_x < 0$
- în cadranele 2 și 4, $\varphi_x > 0$
- dacă elipsa este un cerc, $\varphi_x = 0$
- dacă elipsa degenerază într-o dreaptă (axa mare) în cadranele I, III, $\varphi_x = -\pi/2$
- dacă elipsa degenerază într-o dreaptă (axa mare) în cadranele II, IV, și dimensiunile ei cresc mult (rezonanță), $\varphi_x = \pi/2$

Este util un condensator variabil cel puțin decadic (dacă nu dispunem de unul fin variabil) pentru a nu avea dubii asupra valorilor măsurate.

Evident, condiția de funcționare a schemei este $|Z_{INY,A}| \gg |Z_{r,n}|$.

Observație: Metoda se poate aplica cu rezistență etalon în loc de condensator etalon, dar atunci elipsa apare totdeauna în cadranele I, III (defazaj X-Y maxim $\pi/2$) și semnul unghiului nu se mai poate determina decât prin artificiul de la metoda precedentă (introducerea unui condesator auxiliar în serie cu Z_x ; dacă impedanța crește, atunci e capacițivă, iar dacă scade, e inductivă).

2.3 Măsurarea impedanțelor prin metoda punții echilibrate

2.3.1 Teoria generală a punții echilibrate

2.3.1.1 Probleme principale

Schema generală a unei punți este dată în figura 2.20. Indicatorul de nul are rolul de a arăta tensiunea de dezechilibru, care trebuie adusă la zero (sau o valoare cît mai mică) în momentul echilibrului, deci nu avem nevoie de un aparat etalonat. Uzual, în cazul punților electronice, se face presupunerea $Z_g \rightarrow 0, Z_{IN} \rightarrow \infty$.

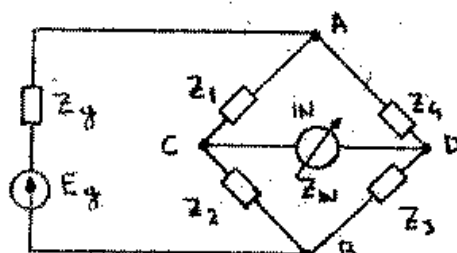


Figura 2.20: Schema generală a unei punți

Expresia tensiunii de dezechilibru este:

$$\begin{aligned} U_{IN} &= U_{C,D} = E \left(\frac{Z_3}{Z_3 + Z_4} - \frac{Z_2}{Z_1 + Z_2} \right) \\ &= E \frac{Z_1 Z_3 - Z_2 Z_4}{(Z_1 + Z_2)(Z_3 + Z_4)} \end{aligned} \quad (2.49)$$

În echilibru, $U_{IN} = 0$, deci se acotează condiția de echilibru:

$$Z_1 Z_3 = Z_2 Z_4 \quad \text{sau} \quad \frac{Z_1}{Z_2} = \frac{Z_3}{Z_4} \quad (2.50)$$

adică produsele impedanțelor din brațe opuse au aceeași valoare sau rapoartele impedanțelor din brațe adiacente diagonalei voltmetriului au aceeași valoare.

Discuție:

- la punțile de c.c., condiția de echilibru este simplă:

$$R_1 R_3 = R_2 R_4 \quad (2.51)$$

deci poate fi realizată cu ajutorul unui singur element reglabil;

- la punțile de c.a., condiția de echilibru este dublă (modul și fază):

$$\begin{cases} |Z_1||Z_3| = |Z_2||Z_4| \\ \varphi_1 + \varphi_3 = \varphi_2 + \varphi_4 \end{cases} \quad (2.52)$$

și în consecință, sunt necesare minim două elemente reglabile. În plus, nu orice puncte permit sătisfacerea simultană a celor două condiții, deci nu orice punct este echilibrabilă.

- echilibrul punții este indiferent față de Z_g , Z_{IN} , etalonarea instrumentului și stabilitatea E_g . În plus se poate alege schema punții astfel încât să nu intervină frecvența generatorului (în cazul punțiilor de c.a.) în relația de echilibru.
- limitările realizării condiției de echilibru:
 - limita inferioară este dată de zgomot (în cazul punțiilor de c.a.) și de deriva nulului (în cazul punțiilor de c.c.) ceea ce face să existe un $U_{IN,min}$ observabil. De aceea, este indicat ca E_g să fie cât mai mare;
 - limita superioară este dată de disipația termică; avind în vedere că rezistența variază cu temperatura, în general se va lucra sub 1% din puterea disipată maximă, ceea ce înseamnă că E_g nu poate fi crescut oricăr de mult.

Din cele două condiții, știind că cel mai sensibil milivoltmetru electronic poate indica valori de ordinul 10^{-8} și că peste $E_g = 10V$ disipația începe să crească inaceptabil de mult, rezultă:

$$\frac{U_{IN,min}}{E_{g,max}} = \frac{10^{-8}}{10} = 10^{-9} \quad (2.53)$$

Această limită a comparării impedanțelor cu ajutorul unei punți este bună decit precizia etaloanelor RLC actuale, deci practic punțile nu introduc ele-linsele nici o limitare de precizie.

- la echilibru, punctele C și D au același potențial, ceea ce ușurează ecranarea/izolarea/bostraparea acolo unde este necesar.
- un dezavantaj al acestei scheme este existența unui singur punct de masă, deci nu se poate folosi pe post de indicator de nul un voltmetriu care să aibă masă comună cu generatorul, ci numai un voltmetriu cu intrare flotantă (este recomandabil ca și generatorul să aibă ieșirea flotantă, prin transformator de simetrizare, dat fiind legatura inherentă între generator și voltmetriu prin sursa de alimentare). Alegerea punctului de masă al schemei de puncte se face din considerante de ecranare.

Aspecte ale echilibrării punții:

- posibilitatea echilibrării:
 - da, indiferent de poziția elementelor reglabile: în acest caz, puncta se numește convergentă;
 - da sau nu, în funcție de poziția elementelor reglabile: în acest caz, puncta se numește potențial convergentă;
 - nu, indiferent de poziția elementelor reglabile: în acest caz, puncta se numește neconvergentă.
- rapiditatea echilibrării: se definește convergența ca fiind numărul de manevre necesare pentru a reduce de m ori U_{IN} ; practic, convergența este definită prin două mărimi:
 - unghiul de convergență este o mărime internă a schemei și are valoarea de maxim $\pi/2$ pentru punțile cele mai rapid convergente;

- unghiul de insensibilitate al indicatorului de nul, numit și unghi de incertitudine.

Dacă unghiul de convergență este mai mic decât cel de incertitudine, atunci punctea nu se poate echilibra în mod sistematic.

- precizia echilibrării: se definește *sensibilitatea punții* ca variația factorului de transmisie raportată la variația unui element al schemei, la echilibru:

$$S = \frac{\frac{dU_{IN}}{Eg}}{\frac{dZ_x}{Z_x}} \quad (2.54)$$

Sensibilitatea este o măsură a posibilității de evidențiere a abaterilor față de poziția de echilibru, deci a preciziei de măsură.

- gradabilitatea (eficiența utilizării): faptul că o punte poate fi echilibrată nu înseamnă obligatoriu că elementele sale variabile pot fi gradeate pentru citirea directă a parametrilor Z_x , situație care se întâlnește și la Q-metru, care permite măsurarea impedanțelor, dar nu prin citire directă, ci prin calcul. O punte gradabilă trebuie să aibă următoarele caracteristici:

- reprezentare decadică: ordinul mărimii măsurate trebuie să poată fi comutat decadic în trepte de 10^{2n} , și trebuie să permită reglarea independentă celor două componente în reprezentarea carteziană/polară/mixtă;
- opțional: gradarea trebuie să fie independentă de frecvența generatorului. De notat că această condiție nu este sinonimă cu independența echilibrării față de frecvență.

În cele ce urmează, vom analiza în detaliu convergența, gradabilitatea și sensibilitatea punților.

2.3.1.2 Convergența punților

Fie puncta din figura 2.21 (a). Reprezentăm în figura 2.21 (b) diagrama fazorială a tensiunilor pe fiecare impedanță, într-o situație în apropierea echilibrului, luând ca referință tensiunea generatorului (segmentul orizontal). Se poate demonstra că în cazul punților uzuale diagrama se înscrie într-un cerc având ca diametru acest segment. Prin scăderea vectorială a tensiunilor din punctele C și D, se desenează vectorul tensiunii de dezechilibru \vec{U}_{CD} :

Diagrama reprezintă ecuațiile:

$$\begin{aligned} \vec{E} &= \vec{U}_{AD} + \vec{U}_{DB} \\ \vec{E} &= \vec{U}_{AC} + \vec{U}_{CB} \end{aligned} \quad (2.55)$$

rezultă:

$$\vec{U}_{CD} = \vec{U}_{AD} - \vec{U}_{AC} \quad (2.56)$$

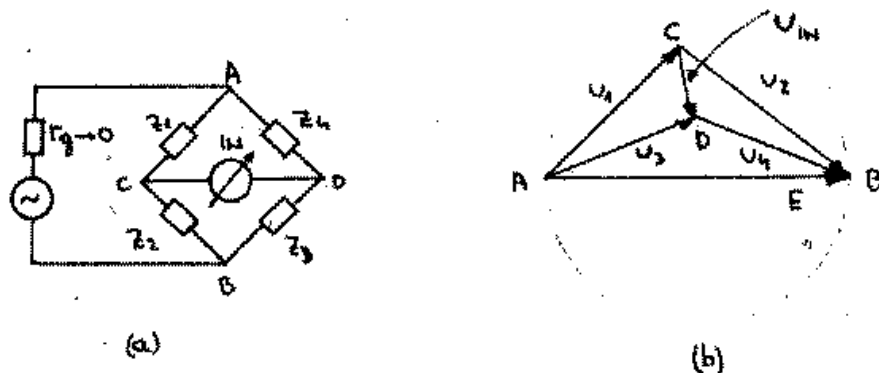


Figura 2.21: Echilibrarea punții

Echilibrarea urmărește realizarea $U_{IN} = 0 \Rightarrow \bar{U}_{CD} = 0$.

Scriem expresia transmisiei în punte și o aducem la forma următoare:

$$\frac{U_{IN}}{E} = \frac{Z_3}{Z_3 + Z_4} - \frac{Z_2}{Z_1 + Z_2} = \frac{Z_1 Z_3 - Z_2 Z_4}{(Z_1 + Z_3)(Z_2 + Z_4)} = \frac{P(a, b)}{Q(a, b)} \quad (2.57)$$

adică un raport a două polinoame, unde a, b corespund celor două elemente reglabile ale punții.

Cu aceste notări, condiția de echilibru se scrie:

$$P(a, b) \Big|_{a_0, b_0} = 0 \quad (2.58)$$

unde a_0, b_0 sunt valorile la echilibru; de asemenea, la echilibru numitorul trebuie să fie nenul:

$$Q(a_0, b_0) \neq 0 \quad (2.59)$$

Pornind de la diagrama fazorială și notările făcute, se poate face o tratare matematică completă a echilibrării punții, care ne permite să analizăm pentru orice puncte *dacă* este echilibrabilă și, în caz afirmativ, cum și *cât* de repede se poate face echilibrarea.

Problemele care caracterizează echilibrarea punții se studiază în două cazuri diferite: în apropierea echilibrului, respectiv departe de echilibru.

Studiul punții în apropierea echilibrului:

În apropierea echilibrului sunt valabile relațiile $a \approx a_0, b \approx b_0, P \approx 0, Q \neq 0$. Derivând relația 2.57 se obține mișcarea potențialelor punctelor C, D la o mică variație a valorii elementelor a și b :

$$\begin{cases} \frac{\partial(U_{IN}/E)}{\partial a} = \frac{1}{Q^2} \left(Q \frac{\partial P}{\partial a} - P \frac{\partial Q}{\partial a} \right) \stackrel{P=0, Q \neq 0}{\approx} \frac{1}{Q} \frac{\partial P}{\partial a} = P_a e^{j\alpha} \\ \frac{\partial(U_{IN}/E)}{\partial b} = \frac{1}{Q^2} \left(Q \frac{\partial P}{\partial b} - P \frac{\partial Q}{\partial b} \right) \stackrel{P=0, Q \neq 0}{\approx} \frac{1}{Q} \frac{\partial P}{\partial b} = P_b e^{j\beta} \end{cases} \quad (2.60)$$

Folosind aceste notări, se definește unghiul de convergență γ_c :

$$\gamma_c = \alpha - \beta = \arg \frac{\frac{\partial P}{\partial a}}{\frac{\partial P}{\partial b}} \Big|_{a_0, b_0} \quad (2.61)$$

În figura 2.22, reprezentăm grafic, în planul complex, dreptele $\frac{\partial P}{\partial a} \Big|_{b_0}$ și $\frac{\partial P}{\partial b} \Big|_{a_0}$. Aceste două drepte trec prin originea axelor $C_0 \equiv D_0$, care corespunde valorilor de echilibru a_0, b_0 . La diferite valori $a_0 \pm k_1 \Delta a, b_0 \pm k_2 \Delta b$ ($k_1, k_2 \in \mathbb{N}$ și $\Delta a, \Delta b$ încremente mici) se obțin familii de drepte paralele cu cele două drepte inițiale. Varierea unuia dintre reglajele a, b se reprezintă grafic prin deplasarea pe dreapta corespunzătoare dintr-una din cele două familii.

Unghiul dintre cele două drepte este tocmai unghiul de convergență γ_c . Se observă că $\gamma_c \leq \pi/2$. Evident, între cele 2 drepte, oricare ar fi poziția lor în plan, se poate desenă, în orice moment atât un unghi ascuțit, cât și unul obtuz, suma lor fiind 2π , dar ca semnificație fizică în procesul de echilibrare, γ_c se alege întotdeauna ascuțit.

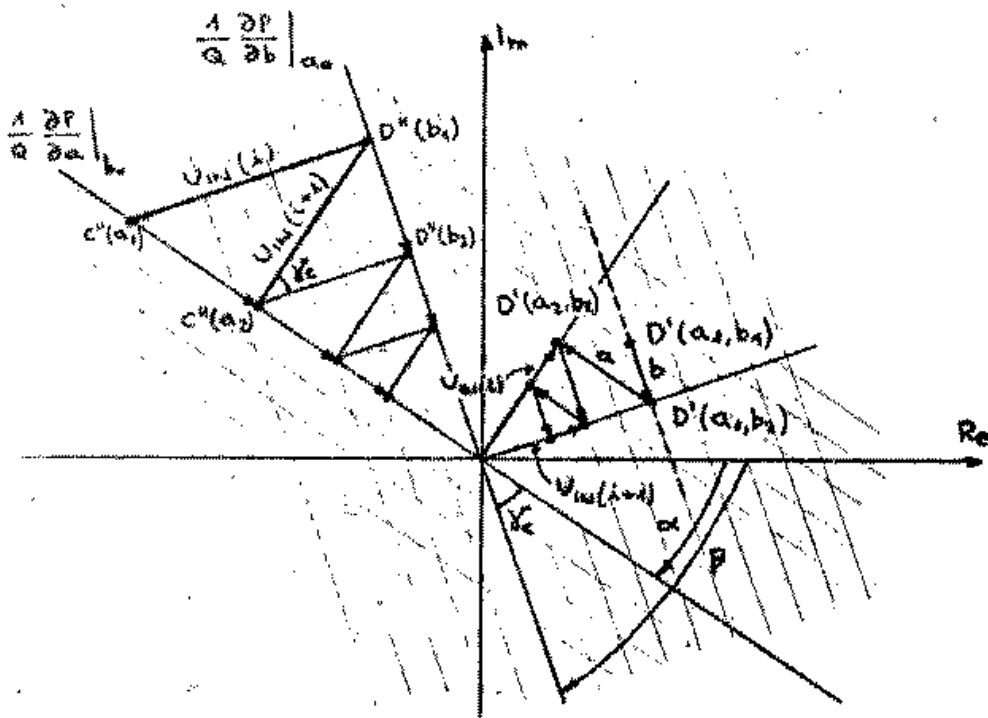


Figura 2.22: Situația din apropierea echilibrului

În procesul de echilibrare putem avea două situații diferite:

- * cele 2 elemente reglabilă sint în același braț al punții; în acest caz, $C \equiv C_0$ iar D are poziție variabilă în planul complex; echilibrarea constă în a-l "aduce" pe D în origine, prin reglarea a, b : $D'(a, b) \rightarrow D_0$.

Un exemplu de echilibrare în această situație este ilustrat grafic în cadrul I al sistemului de axe de pe figura 2.22. În orice moment, distanța între origine și punctul D' este tocmai tensiunea de dezechilibr $U_{IN} = \vec{U}_{CD}$, din moment ce $C \equiv C_0$.

Presupunem că inițial ne aflăm în punctul D' figurat pe desen; se coboară două perpendiculare din origine pe cele două familii de drepte; deplasându-ne pe dreapta $\frac{\partial P}{\partial b} \Big|_{a_0}$ care trece prin $D'(a_1, b_1)$ prin varierea reglajului b , obținem distanța minimă față de origine (la minimul indicat pe IN) în punctul de intersecție cu perpendiculara.

Prin urmare, după ce am intersectat perpendiculara ne vom opri din reglarea lui b , pentru că altfel vom constata că U_{IN} crește, și vom acționa în schimb reglajul lui a în sensul scăderii U_{IN} , ceea ce se reprezintă pe grafic sub forma deplasării pe dreapta $\frac{\partial P}{\partial a}\Big|_{b_0}$ care trece prin $D'(a_1, b_2)$ pînă cînd intersectăn cîntală perpendiculară, și procesul se repetă prin reglarea alternativă a lui a și b pînă la ajungerea în origine. Pe grafic, procesul echilibrării arată deci ca un drum în zig-zag.

- cele 2 elemente reglabile sunt în brațe diferite: în acest caz, atît punctul C cît și D se mișcă în planul complex, echilibrarea urmărind aducerea ambelor puncte în origine prin reglarea a , respectiv b : $C''(a) \rightarrow C_0$, $D''(b) \rightarrow D_0$.

În acest caz, echilibrarea este exemplificată în cadrul IV al sistemului de axe. Pentru un punct de "pornire" $C''(a_1)$, observăm că $D''(b_1)$ care corespunde unei tensiuni de dezechilibru minime la reglarea b (adică unei distanțe minime între C'', D'') este piciorul perpendicularei coborîte din $C''(a_1)$ pe dreapta $\frac{\partial P}{\partial b}\Big|_{a_0}$; reglăm deci b pentru a ajunge în $D''(b_1)$, apoi reglăm a pentru a ajunge în $C''(a_2)$ și continuăm să ne deplasăm pe cele două drepte, pe traseul în zig-zag dat de picioarele perpendicularelor, pînă ajungem în origine.

În continuare, vom calcula numărul de manevre necesare echilibrării în două cazuri: cazul ideal și cel real.

- cazul ideal:

Notînd cu $U_{IN}(i)$, $U_{IN}(i+1)$ tensiunea de dezechilibru la pașii i , $i+1$, se observă pe figura 2.22 următoarea relație între cele 2 tensiuni:

$$U_{IN}(i+1) = U_{IN}(i) \cdot \cos \gamma_c \quad (2.62)$$

Se observă că dacă $\gamma_c = \pi/2$, sunt suficienți 2 pași pentru a aduce punctea la echilibru; în continuare vom presupune că $\gamma_c < \pi/2$. Prin urmare, după n pași:

$$U_{IN}(i+n) = U_{IN}(i)(\cos \gamma_c)^n = \frac{1}{m} U_{IN}(i) \quad (2.63)$$

unde am făcut notația:

$$(\cos \gamma_c)^n = \frac{1}{m} \quad (2.64)$$

Prin urmare, numărul n de manevre necesare pentru a reduce de m ori tensiunea de dezechilibru este:

$$n = \frac{\log m}{\log \frac{1}{\cos \gamma_c}} \quad (2.65)$$

- cazul real:

În practică, datorită rezoluției finite a indicatorului de nul, nu putem ști cu precizie cînd ne aflăm *exact* pe piciorul unei perpendiculari. Dacă rezoluția IN este ρ , atunci

cunoaștem poziția de minim cu o eroare $\pm \varepsilon_i$ în jurul piciorului perpendicularării, după cum se vede în figura 2.23: nu putem aprecia dacă ne aflăm în punctul P_1 sau în punctele P'_1, P''_1 . Unghiul sectorului de cerc delimitat de P_1, P'_1 sau P_1, P''_1 , notat ε_i , este unghiul de incertitudine prezentat mai înainte.

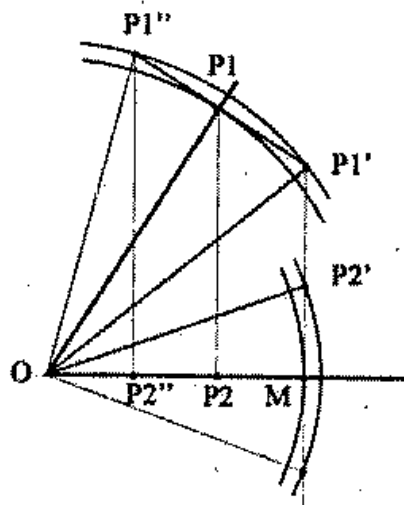


Figura 2.23: Unghiul de incertitudine

Desenind pe figura 2.23 mișcarea în cazul ideal (din P_1 în P_2 , care corespund etapelor de echilibrare $i, i+1$) și în cazul cel mai defavorabil (din P'_1 în P''_2), rezultă:

$$OM = OP'_1 \cos(\gamma_i - \varepsilon_i) \quad OP''_2 = \frac{OM}{\cos \varepsilon_i} \quad (2.66)$$

de unde:

$$U_{IN}(i+1) = U_{IN}(i) \frac{\cos(\gamma_i - \varepsilon_i)}{\cos \varepsilon_i} \quad (2.67)$$

deci ecuația 2.65 devine:

$$n = \frac{\log m}{\log \frac{\cos \varepsilon_i}{\cos(\gamma_i - \varepsilon_i)}} \quad (2.68)$$

adică numărul de manevre necesar pentru echilibrare crește față de cazul ideal.

Observație: există și posibilitatea favorabilă (din P''_1 în P''_2), care duce la o convergență mai rapidă, dar acest lucru este cu total întâmplător.

Pe măsură ce ne apropiem de echilibru, unghiul de incertitudine crește, așa cum se vede pe figura 2.24. La un moment dat deci se ajunge la $\varepsilon_i \geq \gamma_c$ (chiar pentru $\gamma_c = \pi/2$) și în acest moment puntea nu se mai poate echilibră decât la întâmplare. Pentru a preveni acest fenomen, se utilizează în practică două soluții:

- folosirea unui indicator de nul logaritmic, cu caracteristica:

$$U_{crit} = \log \frac{U_{IN}}{U_{Rnf}} \quad (2.69)$$

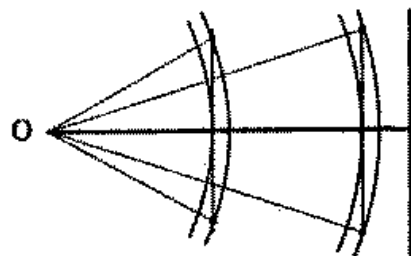


Figura 2.24: Cresterea ε_i odată cu scăderea U_{IN}

și deci rezoluția și unghiul de incertitudine devin constante:

$$\rho = \frac{dU_{IN}}{U_{IN}} = \text{constant} \Rightarrow \varepsilon_i = \text{constant} \quad (2.70)$$

- folosirea unui indicator de nul proporțional-diferențial, cu schema din figura 2.25. Constanta de timp $(R \parallel R')C$ a circuitului de pe borna (-) a amplificatorului operațional, de ordinul a 1-2 secunde, face ca orice variație de tensiune de la intrarea schemei să se transmită întârziat la borna (-) față de borna (+), și în consecință timp de 1-2 secunde acul se va deplasa mai mult, arătându-ne sensul variației. În rest, diferența de tensiune de c.c. e amplificată puțin, pentru că $R'/(R + R') < 1$ e de valoare mică, și în c.c. C nu contează.

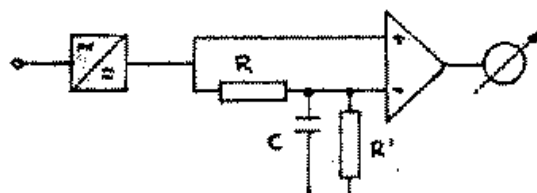


Figura 2.25: Indicator de nul proporțional-diferențial

- pe măsură ce ne apropiem de $U_{IN} = 0$, zgomotele încep să devină importante, deci pentru precizie maximă indicatorul de nul va fi dotat cu un circuit selectiv (FTB) și un amplificator de c.a. urmat de un convertor c.a. – c.c. eventual amplificarea în c.a. se face cu schimbare de frecvență, pe o frecvență intermediară, pentru a evita intrarea în oscilație în caz de amplificare mare (figura 2.26). Această soluție este aplicată frecvent în punțile tensometrice care sunt în fond punți de rezistență, măsurând abateri de ordinul ppm.

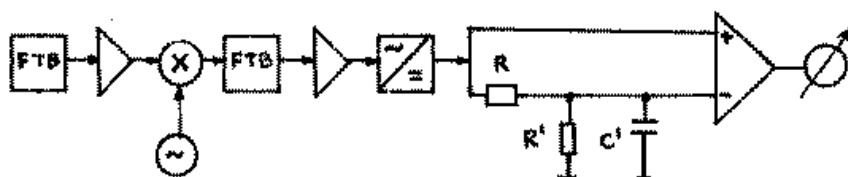


Figura 2.26: Indicator de nul proporțional-diferențial îmbunătățit

Studiul punții de departe de echilibru:

Aproximarea făcută în cazul precedent, și anume folosirea primei derivate pentru a aproxima mișcarea pe diagramă, nu mai este valabilă cind sistemul deține un punct de departe de echilibru.

Pentru punțile obișnuite cu reglaje direct gradabile, diagrama fazorială a tensiunilor se înscrie într-un semicerc, întrucât gradabilitatea reglajerelor (vezi paragraful 2.3.1.3) impune ca 2 brațe ale punții să fie elemente pure (R sau C), și între un element complex și unul pur real / pur imaginär nu poate exista un defazaj mai mare de $\pi/2$. Cele două brațe care conțin elementele pure se numesc *brațe auxiliare*.

Toate aceste punți se pot deci realiza prin combinarea a două ramuri divizoare de tipurile prezentate în tabelul de mai jos:

schema brațului etalon și auxiliar	U_{CA}, U_{BA}	α	β	γ
1	+	R_1	R_2	$1/\omega C$
2	-	$1/\omega C_1$	$1/\omega C_2$	R
3	-	$1/R_2$	$1/R_1$	ωC
4	+	ωC_2	ωC_1	$1/R_1$
5	-	R_1	R_2	ωL
6	+	$1/R_2$	$1/R_1$	$1/\omega L$

În prima coloană a tabelului, literele A,B,C,D corespund schemei din figura 2.21 (a). Sunt doar 6 posibilități de brațe, nu 8, deoarece se pot face capacități etalon rezonabil de "pure" dar nu și inductanțe etalon.

În coloana a 2-a este dat unghiul factorului de divizare $Z_1/(Z_1 + Z_2)$; de exemplu, structura din linia 1 are semnul + pentru că rezistența R_1 nu defazează tensiunea de la bornele ei, în timp ce condensatorul C defazează tensiunea în urmă, aşadar brațul CA (rezistiv) este în avans de fază față de brațul BA (capacitiv).

Definim parametrii generalizați α, β, γ după regulile:

- α e elementul singur în braț (deci într-un braț auxiliar);
- β e elementul de aceeași natură cu α , din brațul complex;
- γ e elementul de natură diferită de α , din brațul complex;
- valoarea elementelor se ia ca impedanță la conexiunile serie și ca admitanță la conexiunile derivație.

O puncte echilibrabilă se poate realiza doar din două ramuri ACB, ADB cu același semn al unghiului de fază, adică:

- se pot conecta împreună capetele similară (A cu A, B cu B) a două ramuri care au aceleasi semne ale unghiului (coloana a 2-a), de exemplu o ramură de tip 1 cu 1, 2 cu 2, 1 cu 4, 2 cu 3, 2 cu 1' etc. În acest caz, rezultă o echilibrare independentă de frecvență;
- se pot conecta împreună capetele opuse (A cu B, B cu A) a două ramuri care au semne diferite ale unghiului, de exemplu 1 cu 2, 1 cu 3, 1 cu 1' etc., întrucât există relația:

$$\operatorname{sgn} \widehat{U_{CB}} \cdot \widehat{U_{AB}} = \operatorname{sgn} \widehat{U_{CA}} \cdot \widehat{U_{BA}} \quad (2.71)$$

În acest caz, rezultă o echilibrare dependentă de frecvență;

- o puncte realizată din două brațe cu același semn de unghi, conectate împreună la capetele opuse, sau din două brațe cu semne diferite, conectate împreună la capete similară, nu este echilibrabilă (puncte neconvergentă). Acest lucru va fi ilustrat și grafic în finalul paragrafului.

Cu notațiile făcute, pentru toate ramurile de mai sus, raportul de divizare w se scrie:

$$\begin{aligned} w &= \frac{U_{CA}}{U_{BA}} = \frac{Z_{AC}}{Z_{AC} + Z_{CB}} = \frac{Y_{BC}}{Y_{AC} + Y_{BC}} = \\ &= \frac{1}{1 + \frac{\beta}{\alpha} \pm j \frac{\gamma}{\alpha}} \stackrel{(nec)}{=} \frac{1}{z} \end{aligned} \quad (2.72)$$

Traisformarea $z \leftrightarrow w$ este o transformare conformă. z este un număr complex cu proprietățile:

$$\begin{cases} \operatorname{Re}(z) \in (1, \infty) \\ \operatorname{Im}(z) \in (-\infty, \infty) \end{cases} \quad (2.73)$$

Să reamintim proprietățile transformării conforme $z \leftrightarrow w$:

Dacă:

$$\begin{cases} \alpha = a + jb & \alpha^* = a - jb \\ z = x + jy & z^* = x - jy \end{cases} \quad (2.74)$$

și

$$A, B \in \mathbb{R} \quad (2.75)$$

atunci ecuația:

$$Az z^* + \alpha^* z + \alpha z^* + B = 0 \quad (2.76)$$

este ecuația unui cerc în planul z ; în coordonate ecuația se scrie:

$$x^2 + y^2 + 2 \frac{a}{A} x + 2 \frac{b}{A} y + \frac{B}{A} = 0 \quad (2.77)$$

Centrul cercului se află la:

$$x_0 = -\frac{a}{A}, y_0 = -\frac{b}{A} \quad (2.78)$$

și raza cercului este:

$$R = \sqrt{\left(\frac{a}{A}\right)^2 + \left(\frac{b}{A}\right)^2 - \frac{B}{A}} \quad (2.79)$$

Făcind transformarea $z = 1/w$, ecuația:

$$Bww^* + \alpha w + \alpha^* w^* + A = 0 \quad (2.80)$$

este tot ecuația unui cerc, dar în planul w :

Între cele două plane ($z \leftrightarrow w$) există corespondență: punctul $z = 1$ se transformă în $w = 1$ deci 1 este punct comun al planelor z și w . Punctul $z = 0$ se transformă în $w = \infty$.

Cîteva cazuri particulare:

- $A = 0, B = 0$: o dreaptă care trece prin origine în planul z se transformă într-o dreaptă care trece prin origine în planul w ;
- $A = 0, B \neq 0$: o dreaptă care nu trece prin origine în planul z se transformă într-un cerc care trece prin origine în planul w ;
- $A \neq 0, B = 0$: un cerc care trece prin origine în planul z se transformă într-o dreaptă care nu trece prin origine în planul w ;
- $A \neq 0, B \neq 0$: un cerc care nu trece prin origine în planul z se transformă într-un cerc care nu trece prin origine în planul w .

O transformare conformă păstrează unghiul la intersecția dintre traекторii, chiar dacă nu păstrează forma traectoriilor: dacă două drepte se intersectează la 90 de grade în planul z , cercurile respective din planul w se intersectează astfel ca în punctul de intersecție tangentele să formeze tot 90 de grade (la fel pentru orice unghi θ).

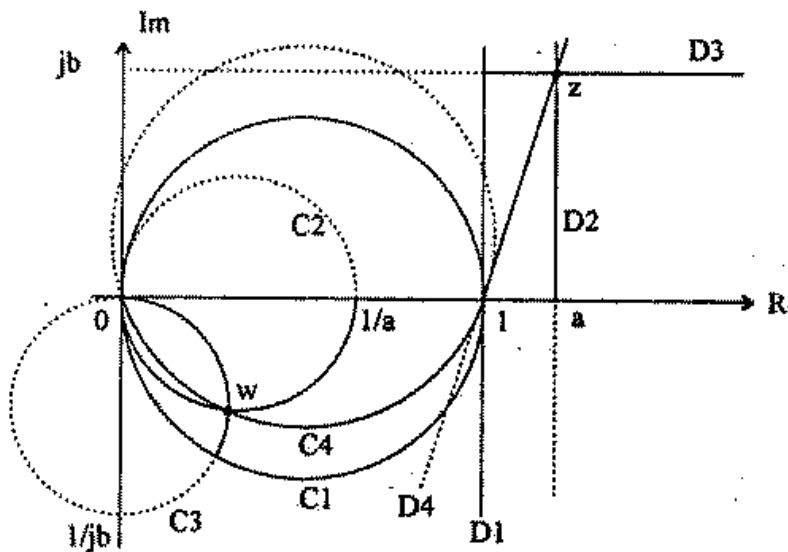


Figura 2.27: Cazuri particulare ale transformării conforme $z \leftrightarrow w$

Să urmărим pe figura 2.27 efectul variației parametrilor α, β, γ în planurile z și w :

- o dreaptă verticală (notată D_1 pe figură) din planul z , care trece prin $z = 1$, se transformă în planul w într-un cerc C_1 de diametru 1, care trece prin origine;
- semiplanul drept delimitat de această dreaptă, în planul z , se transformă în interiorul cercului de diametru 1, în planul w ;
- o dreaptă verticală D_2 din planul z care trece prin $z = a$, corespunzătoare variației lui γ , se transformă într-un cerc C_2 de diametru $1/a$, cu centru pe axa reală, și care trece prin origine în planul w ;
- o dreaptă D_3 paralelă cu axa reală în planul z , corespunzătoare variației lui β , se transformă într-un cerc C_3 cu centrul pe axa imaginară a planului w și care trece prin origine, de diametru $1/jb$ (deci perpendicular pe cercul de la punctul precedent în punctul w , pentru că și cele 2 drepte D_2 și D_3 sunt tot perpendiculare în punctul de intersecție z , iar transformarea conformă conservă local unghiurile);
- o dreaptă D_4 din planul z , care trece prin $z = 1$ și $z = -a$, corespunzătoare variației lui α , se transformă într-un cerc C_4 tangent la dreaptă în punctul comun celor două plane (1). Cerculile din familia descrisă prin variația lui α (panta dreptei D_4) au centrul pe mediatoarea segmentului $[0,1]$ din planul w .

Folosind cele expuse pînă acum, vom construi așa-numita *diagramă a cercurilor*, reprezentată în figura 2.28, care permite evaluarea convergenței unei punți de c.a. pe baza structurii sale (a combinației alese de brațe).

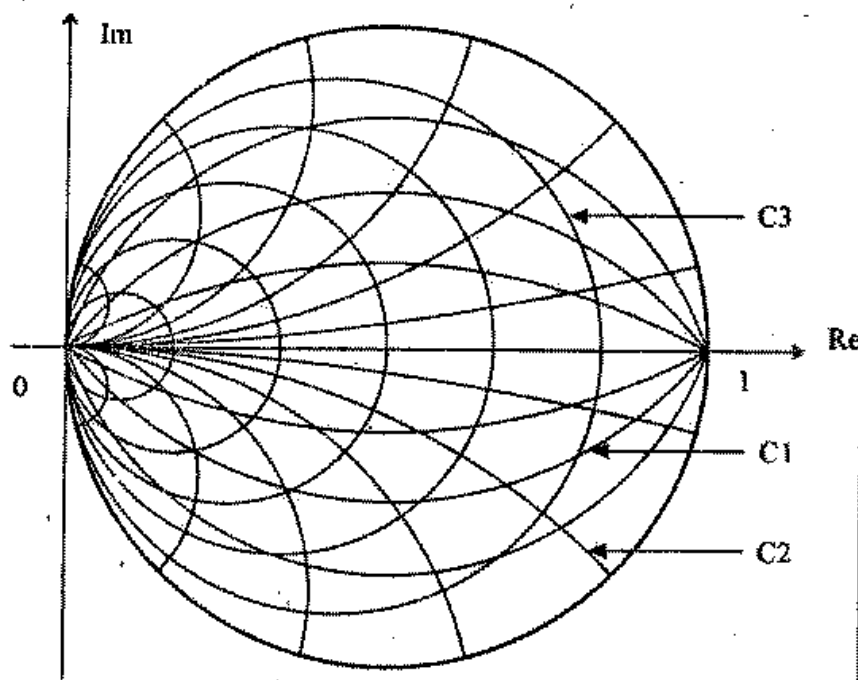


Figura 2.28: Diagrama cercurilor

Pe diagramă se identifică 3 familii de cercuri, notate C_1 , C_2 , C_3 :

- C1 sunt cercuri de α variabil, β/γ fiind parametrul care determină rază; centrul acestor cercuri se află pe mediatorearea segmentului $[0, 1]$;
- C2 sunt cercuri de β variabil (sau, pentru a aduce la forma din ecuația 2.72, β/α variabil) și parametru γ/α , cu centrul pe axa imaginată;
- C3 sunt cercuri de γ variabil (γ/α) și parametru β/α , cu centrul pe axa reală.

Familile C1, C2, C3 de cercuri corespund familiilor de drepte respectiv oblice, orizontale și verticale din planul z (figura 2.27).

Observație: o diagramă bazată pe aceeași idee, numită *Diagrama Smith*, se folosește pe scară largă în domeniul liniilor de transmisie (la frecvențe înalte); cercurile C2 reprezintă în acest caz cercuri de egală rezistență, și cercurile C3 de egală reactanță, capacitive sau inductive; deplasarea pe aceste cercuri este echivalentă cu deplasarea de-a lungul liniei de transmisie, fiind posibilă rezolvarea unei mari clase de probleme în care se cere determinarea lungimii unor linii.

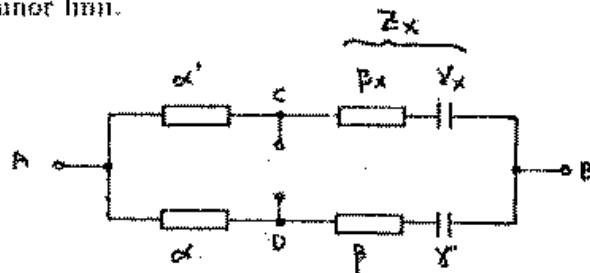


Figura 2.29: Alegerea elementelor reglabile pentru puncta *Sauty*

Să analizăm cu diagrama cercurilor posibilitatea echilibrării unei punți cu schema din figura 2.29, numită punctă *Sauty*. Puncta este de raport, realizată prin conectarea a două ramuri de tipul 1-1 cu capetele omoloage împreună (A-A, B-B) și permite măsurarea condensatoarelor. Se observă că sunt mai multe posibilități de alegere a celor 2 elemente reglabile, și dorim să vedem care variantă este mai bună din punct de vedere al convergenței.

1. β, γ variabile

Procesul de echilibrare este ilustrat în figura 2.30. La momentul inițial punctele C, D din diagrama fazorială a tensiunilor (figura 2.21 (b)) se aflau în poziția C0, D0 (ambele elemente reglabile sunt în același braț deci poziția punctului D nu se modifică). Tensiunea arătată de IN este modulul vectorului C0D0 (lungimea segmentului CD). Prin reglarea lui β se ajunge în punctul C1 unde tensiunea dedezechilibru are un minim local (distanță minimă între D0 și cercul care trece prin C0), apoi prin reglarea lui γ se ajunge în C2, și în final prin reglarea lui β se ajunge în C3 \equiv D0. Se observă că este obligatorie folosirea succesivă a ambelor reglaje. Puncta are unghiul de convergență de 90 de grade (cele două familii de cercuri corespunzătoare lui β și γ sunt ortogonale, pentru că provin din drepte perpendiculare în planul z).

Această configurație de puncte este cea mai *precisă* (unghi de convergență maxim) dar ea folosește 2 elemente reglabile de tipuri diferite (R și C) de aceea este mai scumpă.

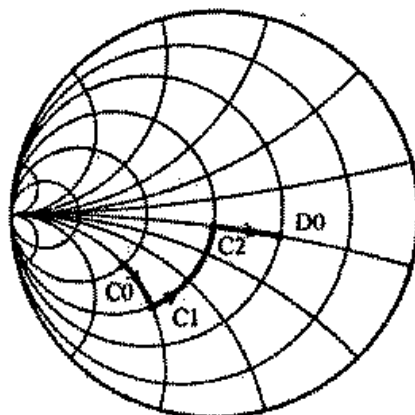


Figura 2.30: Cazul 1: β, γ variabile

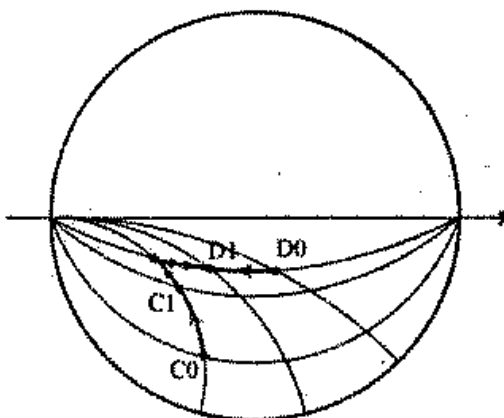


Figura 2.31: Cazul 2: α, β variabile

2. α, β variabile

De această dată, elementele reglabile au aceeași natură, deci puntea este mai ieftină din punct de vedere constructiv; se pleacă din C_0 , D_0 , se variază pe rînd β și α urmărind minimul distanței CD și se obține traseul $C_1 - D_1 - C_2 - D_2 - C_3$ etc. Se observă însă pe figura 2.31 că procesul de echilibrare durează mai mult, pe măsură ce ne apropiem de echilibru modificările lui U_{CD} fiind tot mai mici. Deci echilibrarea este mai lentă pentru componente cu Q mic, care corespund unor cercuri α apropiate de axa reală ("aplatizate", de diametru mare), în timp ce cercurile corespunzătoare unor condensate aproape pure (Q foarte mare) sunt în apropierea cercului exterior al diagramei (diametru 1), totuși puntea este convergentă.

Se observă că unghiul de convergență (unghiul sub care se taie cercurile) este același cu unghiul dintre dreapta $1z$ și dreapta β variabil, care este chiar unghiul φ_x al impedanței necunoscute, deci $\gamma_c = \varphi_x = \arctg Q_x = \arctg(Im(Z_x)/Re(Z_x))$.

3. α, α' variabile

După cum se observă pe figura 2.32, această punte nu este convergentă. Cercurile pe

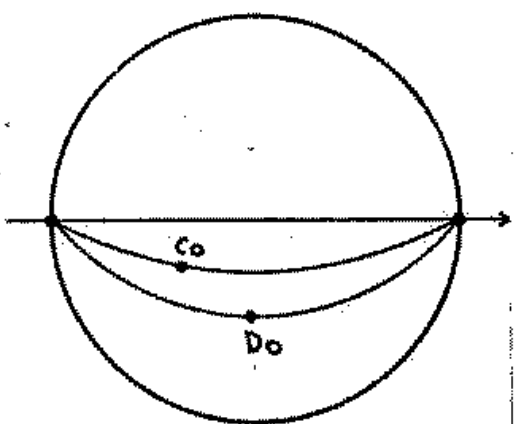


Figura 2.32: Cazul 3: α, α' variabile

care se deplasează C, D prin variația celor 2 reglaje nu se intersectează decât în 0 și 1, corespunzător valorilor 0 și ∞ . În aceste două puncte se cheamă că avem echilibru fals (lipsă completă a tensiunii, nu minim).

4. α', β variabile

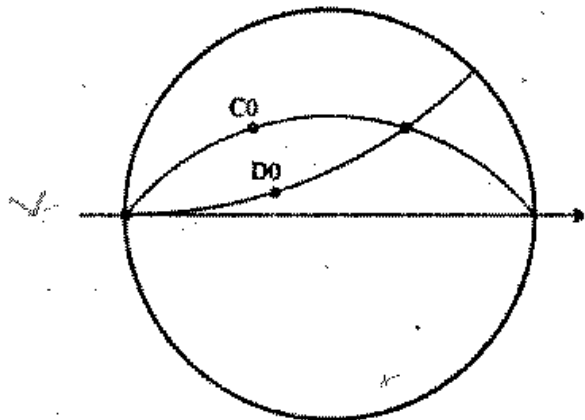


Figura 2.33: Cazul 4: α', β variabile

Această puncte este convergență, dar ea poate ajunge la echilibru sau la echilibru fals în funcție de sensul în care facem primul reglaj și de poziția inițială a punții. În figura 2.33 este ilustrată situația în care în momentul începerii reglajelor, punctele C_0, D_0 sunt astfel situate încit se poate ajunge la fel de repede la ambele situații de echilibru. În cazul în care se ajunge la echilibru fals, puntea trebuie dezechilibrată și procesul de echilibrare reluat.

5. γ, α variabile

Această situație este similară cu cea precedentă, puntea putând ajunge atât la echilibru, cât și la echilibru fals.

Concluzie: pentru puntea *Sauty* în practică se aleg elementele reglabilă doar ca în cazurile 1 (preferabil) sau 2 (mai puțin precis, dar mai ieftin).

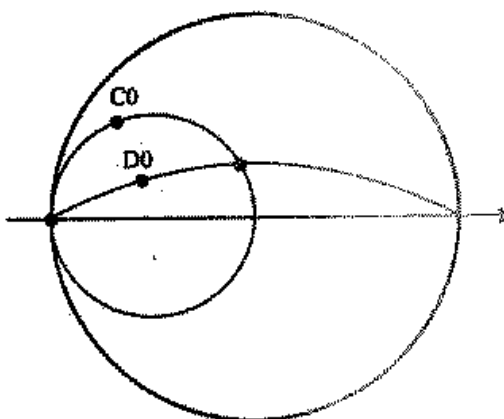


Figura 2.34: Cazul 5: γ, α variabile

Notă:

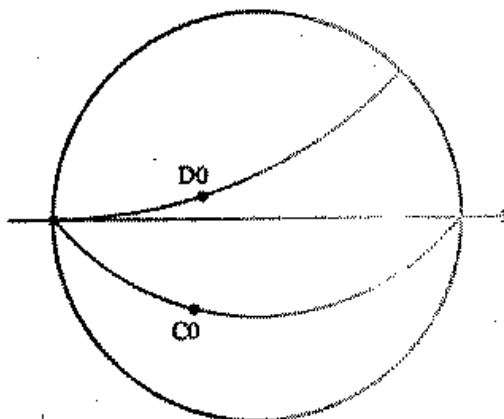


Figura 2.35: Exemplu de puncte neconvergentă

Am afirmat în partea introductivă a acestui paragraf (pe baza ecuației 2.71) că dacă nu se respectă modul de legare al brațelor alese care să ducă la același semn al unghiului de divizare, nu se obține o puncte convergentă. Folosind diagrama cercurilor, acest lucru devine evident: o astfel de puncte are cele două elemente reglabilă pe două segmente de cerc situate de o parte și de alta a axei reale, care nu se intersecțează decât în origine. Un exemplu este ilustrat în figura 2.35.

2.3.1.3 Gradabilitatea reglajelor

În continuare, vom studia cum se aleg elementele reglabilă pentru diferite configurații de punți, astfel încit să fie posibilă gradarea acestora în cele 2 componente ale reprezentării alese (carteziană, polară, mixtă). De asemenea, vom analiza dependența de frecvență a gradării.

Condiția de echilibru se poate scrie, folosind notațiile din figura 2.21 (a):

$$Z_{4x} = \frac{Z_1}{Z_2} Z_3 \stackrel{\text{not}}{=} \mathcal{R}_{12} \cdot Z_3 \quad (2.81)$$

unde am notat \mathcal{R}_{12} raportul brațelor adiacente diagonalei voltmetrului; în acest caz, puncta o vom numi *de raport*.

Dacă \mathcal{R}_{12} și Z_3 sunt complexe, de forma:

$$\begin{cases} \mathcal{R}_{12} = \alpha_{12} + j\beta_{12} \\ Z_3 = R_3 + jX_3 \end{cases} \quad (2.82)$$

atunci elementele impedanței necunoscute au expresia:

$$\begin{cases} R_{4x} = \alpha_{12}R_3 - \beta_{12}X_3 \\ X_{4x} = \alpha_{12}X_3 + \beta_{12}R_3 \end{cases} \quad (2.83)$$

Aceeași condiție de echilibru o putem scrie:

$$Z_{4x} = \frac{Z_1 Z_3}{Z_2} = Z_1 Z_3 Y_2 \stackrel{\text{not}}{=} \mathcal{P}_{13} \cdot Y_2 \quad (2.84)$$

unde am notat cu \mathcal{P}_{13} produsul impedanțelor din brațele opuse, și puncta se numește *de produs*.

Dacă \mathcal{P}_{13} și Y_2 sunt complexe, de forma:

$$\begin{cases} \mathcal{P}_{13} = \alpha_{13} + j\beta_{13} \\ Y_2 = G_2 + jB_2 \end{cases} \quad (2.85)$$

atunci elementele impedanței necunoscute rezultă:

$$\begin{cases} R_{4x} = \alpha_{13}G_2 - \beta_{13}B_2 \\ X_{4x} = \alpha_{13}B_2 + \beta_{13}G_2 \end{cases} \quad (2.86)$$

În ecuațiile 2.83, 2.86 atât componenta reală, cit și cea imaginară a impedanței necunoscute depind de mai multe elemente, deci nu se poate face o gradare directă, ci rezultatul se poate afla numai prin calcul. Dorim ca fiecare componentă a Z_x să depindă doar de o singură componentă a Z_e sau Y_e (care să fie gradate direct în valori R_4 respectiv X_4), prin urmare raportul / produsul trebuie să fie *pur real* sau *pur imaginar*, nu complex. Din punct de vedere fizic, această condiție înseamnă că elementele din \mathcal{R}_{12} sau \mathcal{P}_{13} trebuie să fie rezistențe sau reactanțe pure.

În această situație, denumirea de punct de raport / punct de produs capătă o semnificație concretă (nu un simplu artificiu algebric).

- dacă $\beta = 0$, puncta se numește *în fază*. În cazul punțiilor de raport, respectiv de produs, avem:

$$\begin{cases} \text{raport: } \alpha_{12} = \frac{R_1}{R_2} \text{ sau } \frac{n_1}{n_2} \text{ (numere de spire) sau } \frac{C_2}{C_1} \\ \text{produs: } \alpha_{13} = R_1 R_3 \quad (> 0) \end{cases} \quad (2.87)$$

Trecerea din puncte de raport în puncte de produs se face mutând rezistența de echilibrare din poziția 2 în 3.

- dacă $\alpha = 0$, puntea se numește în *cuadratură* și, analog:

$$\begin{cases} \text{raport: } \beta_{12} = \omega R_1 C_2 \quad (> 0) \\ \text{produs: } \beta_{13} = -\frac{R_1}{\omega C_3} \quad (< 0) \end{cases} \quad (2.88)$$

Trecerea din punte de raport în punte de produs se face mutând capacitatea de echilibrare din poziția 2 în 3.

(întrucât $R_{4x} > 0$, iar reactanța echilibrorului $X_e = -1/\omega C_e < 0$, (C în brațul 2 sau 3), rezultă la o punte în cuadratură, folosind ecuațiile 2.83 și 2.86:

$$\beta_{12} > 0 \quad \text{și} \quad \beta_{13} = -R_1/\omega C_{3x} < 0 \quad (2.89)$$

deci $\beta = \omega R_1 C_2$ și nu $\beta = -1/\omega C_1 R_2$, adică soluția din 2.88 e singura posibilă).

Să vedem cum se gradează elementele reglabilă în fiecare din cele 4 cazuri posibile (raport/produs, fază/cuadratură); de reținut că în toate cazurile echilibrarea este independentă de frecvență.

- $\beta = 0 \Rightarrow$ punți în fază:

$$- R_{12} = \alpha_{12} = \frac{R_1}{R_2} \quad (\text{punte de raport real})$$

Varianta 1

$$Z_{4x} = \frac{\frac{10^{\pm n}}{R_1}}{R_2} \left(\frac{\boxed{\Omega}}{R_{4x}} + \frac{\boxed{F}}{j\omega C_{4x}} \right) \quad (2.90)$$

- * reglări elemente de tip diferit în același braț (β, γ conform paragrafului despre convergență punților) ceea ce asigură unghi de convergență de 90 de grade deci precizie;
- * gradarea este independentă de frecvență;
- * gradarea este conform reprezentării carteziene; elementele variabile E_v sunt în același braț, diferit de brațul impedanței necunoscute;
- * dacă elementele variabile (E_v) sunt de tipul serie/paralel, atunci Z_x e tot de tipul serie, respectiv paralel; puntea se numește *Savuty*, respectiv *Nernst*

Varianta 2

$$Z_{4x} = \frac{\frac{10^{\pm n}}{R_1}}{\frac{1}{\omega R_4 C_3}} \left(\omega C_3 \frac{\boxed{D}}{R_{4x}} + \frac{1}{j} \right) \quad (2.91)$$

- * reglare ieftină, cu cele 2 E_v de aceeași natură (mai ieftin, dar unghiul de convergență e variabil cu Q_x , mai mic de 90 de grade).

- * gradarea C rămâne independentă de frecvență, dar gradarea D nul;
- * gradarea este conform reprezentării mixte; E_v săt la brațe diferite (diferite de brațul Z_x);
- $P_{10} = \alpha_{10} = R_1 R_3$ (puncte de produs real)

Varianta 1

$$Z_{4x} = \frac{10^{10}}{\beta_1} R_3 \left(\frac{H}{R_{pe}} + j\omega C_{pe}^p \right) \quad (2.92)$$

- * precizie ($\gamma_c = \pi/2$);
- * gradarea este independentă de frecvență;
- * gradarea este carteziană, E_v în același braț;
- * E_V paralel/serie corespund la Z_x serie/paralel.

Varianta 2

$$Z_{4x} = \frac{10^{10}}{\beta_1} \omega C_L^p R_{pe} \left(\frac{Q}{\omega R_{pe}^p C_L^p} + j \right) \quad (2.93)$$

- * gradare industrială ($\gamma_c < \pi/2$);
- * gradarea L este independentă de frecvență, dar gradarea Q nul;
- * gradarea este mixtă, E_v în brațe diferite.

- * $\alpha = 0 \Rightarrow$ punți în quadratură;

- $R_{12} = j\beta_{12} = j\omega C_2 R_1$ (punți de raport imaginar)

Varianta 1

$$Z_{4x} = j\omega C_2 \frac{10^{10}}{\beta_1} \left(\frac{H}{R_{pe}} + \frac{D}{j\omega C_{pe}^p} \right) \quad (2.94)$$

- * precizie ($\gamma_c = \pi/2$);
- * gradarea este independentă de frecvență;
- * gradarea este carteziană, E_v în același braț;
- * E_V serie/paralel corespund la Z_x serie/paralel (punte Owen).

Varianta 2

$$Z_{4x} = \frac{10^{10}}{\beta_1} \omega C_{pe}^p \left(j + \frac{Q}{\omega C_{pe}^p R_3} \right) \quad (2.95)$$

- * gradare industrială ($\gamma_c < \pi/2$);
- * gradarea L este independentă de frecvență, dar gradarea Q nul.

* gradarea este mixtă, E_v în brațe diferite.

$$\rightarrow P_{13} = j\beta_{13} = \frac{R_1}{j\omega C_3} \text{ (punți de produs imaginar)}$$

Varianta 1

$$Z_{4x} = \frac{10^{\pm n}}{j\omega C_3} \left(\frac{F}{R_{4x}^p} + j\omega C_{4x}^p \Omega \right) \quad (2.96)$$

* precizie ($\gamma_c = \pi/2$);

* gradarea este independentă de frecvență;

* gradarea este carteziană, E_v în același braț;

* E_V paralel/serie corespund la Z_x serie/paralel (punte Schering).

Varianta 2

$$Z_{4x} = \frac{10^{\pm n}}{j\omega C_3 R_2^p} \left(\frac{F}{\omega C_4^p R_2^p} \left(\frac{1}{j} + \omega C_{4x}^p R_2^p \right) \right) \quad (2.97)$$

* gradare industrială ($\gamma_c < \pi/2$);

* gradarea C este independentă de frecvență, dar gradarea D nu!

* gradarea este mixtă, E_v în brațe diferite.

Notă Indiferent dacă echilibrarea și/sau gradarea sunt independente de frecvență, măsurătoarea este corectă numai dacă impedanța necunoscută are aceeași structură fizică cu reprezentarea (serie sau paralel); în acest caz, generatorul poate fi instabil, nesinusoidal (eventual chiar rectangular). Dacă elementul are altă structură fizică, reprezentarea echivalentă furnizată de punte fiind dependentă de frecvență, generatorul trebuie să fie sinusoidal și exact de frecvență dorită (stabil). Dacă nu este nesinusoidal, pe diferite armonici ar corespunde alte valori ale elementelor și puntea nu se mai echilibrează.

Variantele prezentate pînă acum aveau în comun faptul că elementele reglabile Z_v se aflau în alt (alte) braț decît Z_x . Dacă se află în același braț cu Z_x , punțile obținute se numesc *punți de substituție*.

Structura punții de substituție cuprinde două elemente reglabile situate în același braț cu Z_x , notate Z_v și numite *echilibror*, și alte două elemente reglabile, situate într-o din pozițiile de la punțile de mai sus, notate Z_z și numite *corector de zero*; ordinul de mărime este întotdeauna $\times 1$, nemaiputând fi comutat.

Metoda de echilibrare (numită dublă echilibrare) este următoarea: se pun elementele reglabile Z_v din brațul cu Z_x în poziția lor de gradare 0 (care nu corespunde cu valoarea 0 a elementului respectiv, ci cu o valoare intermedie), se face scurt-circuit pe Z_x și se lasă în gol bornele Y_x ; se echilibrează puntea din corectorul de zero.

Corectorul de zero are elementele reglabile (negradat) într-o gamă restrînsă de valori în jurul valorilor de gradare 0 ale echilibrorului. În urma acestei prime echilibrări, se anulează abaterile celorlalte elemente ale punții (exceptînd Z_v) precum și cuplajele parazite capacitive și magnetice rămase în urma ecranării imperfecte între generator și IN. Rezultă că doar Z_v trebuie să fie de mare precizie – avantaj net la înaltă frecvență.

Apoi se introduce în circuit Z_x (respectiv Y_x) și se reface echilibrul din componente Z_v , modificîndu-l cu ΔZ_v , fără a mai schimba valoarea corectorului de zero. Cînd se ajunge din nou la echilibru, știm că valoarea ΔZ_v compensează introducerea lui Z_x (conform reprezentării alese).

Ecuatiile de echilibru, în cazurile raport/produs, sunt:

$$\begin{cases} Z_x + \cancel{\frac{Z_{p_1}}{j}} = R_{12} \cancel{\frac{Z_{p_2}}{j}} \quad (= P_{13} \cancel{\frac{Y_{p_2}}{j}}) \\ Y_x + \cancel{\frac{Y_{p_1}}{j}} = R_{12}^{-1} \cancel{\frac{Y_{p_2}}{j}} \quad (= P_{13}^{-1} \cancel{\frac{Z_{p_2}}{j}}) \end{cases} \quad (2.98)$$

unde $R_{12} = 1$ sau j iar $P_{13} = 10^N$ sau $j \cdot 10^N$, $N \in \mathbb{N}$.

Elementele reglabile Z_v trebuie să fie de tipul "cu zeroul la mijloc" adică valoarea lor să poată fi modificată în ambele sensuri; componenta rezistivă scade la măsurarea Z_x și crește la măsurarea Y_x , componenta capacitive scade la măsurarea C_x și crește la măsurarea L_x (în cazul punților de raport). Formulele de calcul complete sunt analoage celor de la Q-metru, care e tot un aparat care măsoară prin substituție.

Se observă că, în aceste cazuri, raportul/produsul nu poate fi decît 1 sau j , nu $10^{\pm n}$ ca în cazul precedent. Acesta este dezavantajul echilibrării prin substituție, care este însă minor la înaltă frecvență unde impedanțele de măsurat au o gamă de valori mai restrinsă din cauza elementelor parazite însoritoare. Avantajul este că se elimină efectul impedanțelor parazite care apar între brațele punții, deoarece ele afectează în egală măsură ambele etape ale măsurătorii.

2.3.1.4 Sensibilitatea punților

Convergența arată cît de repede se poate face echilibrarea punții; pentru a vedea însă cît de precis se poate face echilibrarea, folosim sensibilitatea.

Dacă scriem raportul U_{IN}/E , ca funcție de Z_x :

$$\frac{U_{IN}}{E} = f(Z_x) \quad \text{variabil mic} \quad \frac{dU_{IN}}{E} = S \frac{dZ_x}{Z_x} \quad (2.99)$$

unde coeficientul S este tocmai sensibilitatea punții;

Prin urmare, într-un punct oarecare:

$$S = \frac{\frac{dU_{IN}}{E}}{\frac{dZ_x}{Z_x}} \quad (2.100)$$

iar în apropierea echilibrului:

$$S_0 = \frac{\frac{U_{IN}}{E}}{\sigma_0} \quad (2.101)$$

unde σ_0 este factorul de dezechilibru:

$$\sigma_0 = \frac{\Delta Z_x}{Z_x} = \frac{\Delta Z_e}{Z_e} \quad (2.102)$$

S este variabil departe de echilibru; valoarea lui caracterizează posibilitatea depistării sensului variației pe indicatorul de nul, ceea ce ne permite să ne apropiem de echilibru.

S_0 este constant (la echilibru) și caracterizează precizia stabilitării condiției de echilibru (precizia citirii zeroului pe IN).

Pentru stabilirea expresiei lui S_0 , pornim de la ecuația 2.49:

$$\frac{U_{IN}}{E} = \frac{Z_2}{Z_1 + Z_2} + \frac{Z_3}{Z_3 + Z_{4x}} \quad (2.103)$$

prin derivare se obține:

$$\frac{dU_{IN}}{E} = \frac{Z_3 dZ_{4x}}{(Z_3 + Z_{4x})^2} = \frac{Z_3 Z_{4x}}{(Z_3 + Z_{4x})^2} \frac{dZ_{4x}}{Z_{4x}} \quad (2.104)$$

$$= \frac{\frac{Z_{4x}}{Z_3}}{\left(1 + \frac{Z_{4x}}{Z_3}\right)^2} = \frac{A}{(1+A)^2} \sigma_0 \quad (2.105)$$

unde am notat cu A raportul celor 2 impedanțe care sunt în brațele alăturate instrumentului:

$$A = \frac{Z_1}{Z_2} = \frac{Z_{4x0}}{Z_3} \quad (2.106)$$

Atunci, folosind ecuația 2.101, se obține expresia lui S_0 :

$$S_0 = \frac{A}{(1+A)^2} \quad (2.107)$$

Se observă că nu contează dacă luăm $A = Z_1/Z_2$ sau $A = Z_2/Z_1$; puntea poate fi privită "în oglindă", valoarea lui S_0 fiind aceeași:

$$A_1 = \frac{1}{A} \Rightarrow S_0 = \frac{\frac{1}{A_1}}{\left(1 + \frac{1}{A_1}\right)^2} = \frac{A_1}{(1 + A_1)^2} \quad (2.108)$$

Vom studia cele două cazuri particulare de punți:

Cazul punților de c.c.

În acest caz, A este real. Dorim să vedem cum depinde sensibilitatea punții de A și care este $S_{0,\max}$. Pentru aflarea maximului, derivăm:

$$\left(\frac{A}{(1+A)^2}\right)' = \frac{(1+A)^2 - A \cdot 2(1+A)}{(1+A)^4} = \frac{1-A}{(1+A)^3} = 0 \Rightarrow A = 1 \quad (2.109)$$

Prin urmare

$$S_{0,\max} = \frac{1}{(1+1)^2} = \frac{1}{4} = 0.25 \quad (2.110)$$

Reprezentăm grafic în figura 2.36 variația tensiunii de dezechilibru raportate funcție de R_4/R_{40} în cazul particular $A = 1$ (sensibilitate maximă) și observăm că sensibilitatea este egală cu tangenta unghiul tangentei la curbă în punctul în care ne aflăm.

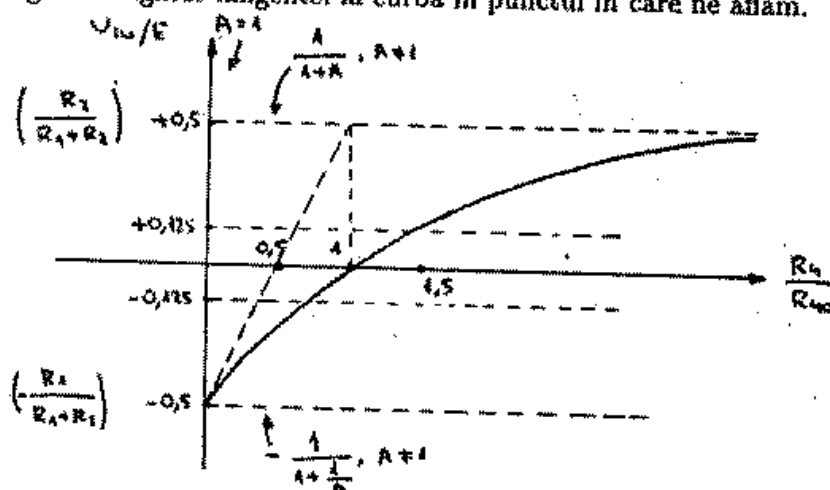


Figura 2.36: Variația U_{IN}/E pentru $A = 1$

În figura 2.37 este reprezentată variația $S_0 = f(A)$. Se observă că $S_0(A) = S_0(1/A)$, VA. Citeva valori ale lui S_0 sint date în tabelul de mai jos:

A	S_0
1	0.25
$10^{\pm 1}$	$8.26 \cdot 10^{-2}$
$10^{\pm 2}$	$9.8 \cdot 10^{-3}$
...	...
$\infty^{\pm 1}$	$1/A$

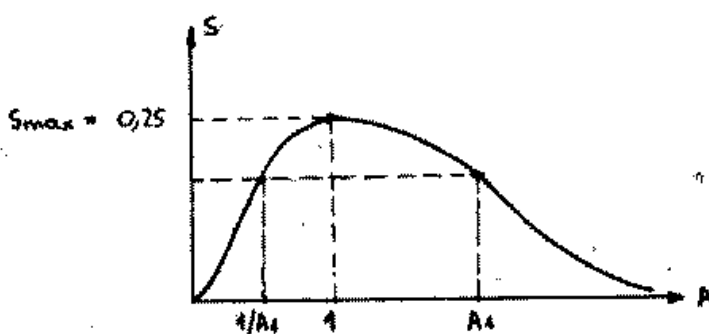


Figura 2.37: Variația sensibilității în funcție de A

Se observă că pentru valori mari/mici ale lui A , sensibilitatea scade foarte mult, pînă cînd puntea ajunge inutilizabilă (rapoartele practice sunt cuprinse între $1/100$ și $100/1$).

Cazul punților de c.a.

- punți de raport, în fază: $A = \mathcal{R} \in \mathbb{R}$: aceeași situație ca la punțile de c.c.
- punți de raport, în cuadratură: $A = \mathcal{R} = \pm jA_0$

În acest caz:

$$S_0 = \frac{\pm jA_0}{(1 \pm jA_0)^2} \Rightarrow |S_0| = \frac{A_0}{1 + A_0^2} \quad (2.111)$$

(ne interesează $|S_0|$ și nu S_0 pentru că instrumentul indică doar modulul, nu și faza tensiunii)

Căutăm maximul lui S_0 :

$$\left(\frac{A_0}{1 + A_0^2} \right)' = \frac{1 + A_0^2 - A_0 \cdot 2A_0}{(1 + A_0^2)^2} = \frac{1 - A_0^2}{(1 + A_0^2)^2} = 0 \Rightarrow A_0 = 1 \quad (2.112)$$

în acest caz,

$$|S_0|_{\max} = \frac{A_0}{1 + A_0^2} = \frac{1}{2} = 0.5 \quad (2.113)$$

deci sensibilitatea punților în cuadratură este dublă față de cea a punților în fază, în cazul optim ($A_0 = 1$).

Dacă însă $A_0 = 10^{11} \Rightarrow |S_0|_{\max} = 9.9 \cdot 10^{-2}$ ceea ce reprezintă o îmbunătățire neglijabilă față de cazul anterior.

- punți de produs, în fază sau în cuadratură:

În acest caz, produsul $\mathcal{P} = Z_1Z_3$ deci este fix, în timp ce A este o variabilă complexă $A = Z_4/Z_3 \stackrel{\text{def}}{=} Ke^{j\kappa}$;

$$S_0 = \frac{A}{(1 + A)^2} \Rightarrow |S_0| = \frac{K}{|1 + K \cos \kappa + j \sin \kappa|^2} = \frac{K}{1 + 2 \cos \kappa + \kappa^2} \quad (2.114)$$

Valoarea maximă se obține pentru $K = 1$ ($|Z_3| = |Z_{40}|$):

$$\begin{array}{ll} 0.25 & \leq |S_0|_{\max} \leq 0.5 \\ (\kappa = 0) & (\kappa = \pm\pi/2) \end{array} \quad (2.115)$$

deci în funcție de valoarea argumentului κ sensibilitatea punctilor de produs se situează între cea a punților de raport în fază și cea a punților în quadratură. Dacă însă $K \neq 1$, de exemplu $K = 10^{\pm 1}$, atunci

$$8.26 \cdot 10^{-2} \leq |S_0| \leq 9.2 \cdot 10^{-2} \quad (2.116)$$

Așadar și în acest caz, îmbunătățirea este nesemnificativă dacă nu se alege un raport al punții apropiat de 1.

2.3.2 Punți uzuale (pasive)

În cele ce urmează, vom studia cîteva configurații de punți mai des întâlnite.

2.3.2.1 Punți de c.c.

Punți pentru măsurarea R_x mediu

Pentru R_x de ordinul $10\Omega \dots 10M\Omega$ și precizie medie, se folosește puntea Wheatstone, cu schema din figura 2.38.

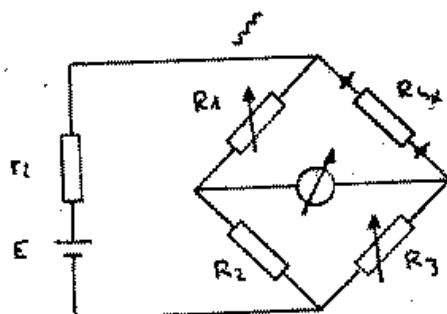


Figura 2.38: Puntea Wheatstone

Pentru această punte, relația de echilibru este:

$$R_{4x} = \frac{10^{2n}}{\frac{R_1}{R_2} - \frac{R_3}{R_4}} \quad (2.117)$$

Din considerante de sensibilitate, analizate în paragraful 2.3.1.4, n se alege rareori mai mare de 2..3. De asemenea, valori mai mari de atît pentru n ar însemna valori ale $R_x < 1\Omega$, sau $> 1M\Omega$, în care caz încep să intervină semnificativ rezistențele de contact, respectiv de scurgeri, și puntea Wheatstone nu permite eliminarea efectelor acestor rezistențe.

Ca o observație, dacă instrumentul indicator de nul este un galvanometru (deci un instrument pasiv, nu un milivoltmetru electronic cu impedanță mare de intrare), condiția de sensibilitate maximă impune ca rezistențele să aibă aceeași valoare, adică $A = 1$ se realizează fizic cu $A = R_1/R_2 = 100\Omega/100\Omega$ pentru măsurarea unei rezistențe de ordinul a 100Ω , respectiv $1K\Omega/1K\Omega$ pentru măsurarea unei rezistențe de ordinul a $1K\Omega$, etc.

Punți pentru măsurarea R_x mici

Pentru măsurarea $R_x < 1\Omega$, sau măsurări de precizie sau distante, rezistențele conexiunilor de măsură, care sunt inseparabile, introduc erori care pot fi eliminate prin folosirea conexiunii quadripolare. Două tipuri de punți care permit această conexiune sunt prezentate mai jos:

- puntea dublă (Thomson/Kelvin)

Această punte folosește $R_e \approx R_x$ și permite conexiuni quadripolare pentru R_x și R_e . Schema punții este redată în figura 2.39.

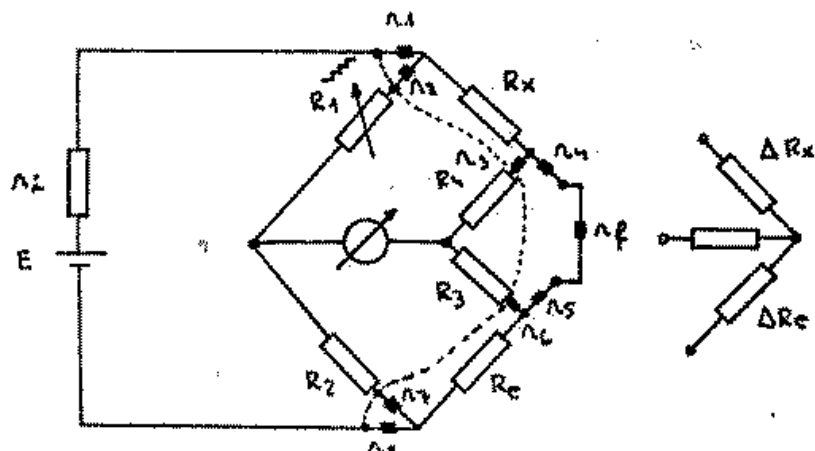


Figura 2.39: Puntea Thomson/Kelvin

R_1, R_2 sunt rezistențe etalon de precizie. Pentru a nu fi necesare rezistențe etalon și în pozițiile R_3, R_4 , echilibrarea se face în două etape, după cum se va vedea.

Relația între ordinea de mărime ale rezistențelor este:

$$R_{1,2,3,4} \gg R_{x,e}, r_{1..6} \quad (2.118)$$

unde r_i modelează rezistențele de contact și rezistențele conexiunilor. $R_{1,2,3,4}$ se iau de ordinul a zeci de $\text{K}\Omega$. r_f este rezistența firului de legătură necesar pentru închiderea schemei.

Prin transformarea triunghiului format din R_4, R_3 și r_f , în serie cu rezistențele de contact, într-o stea, așa cum se vede pe figură, se obțin valorile rezistențelor din laturile stelei:

$$\frac{(R_4 + r_3)(r_4 + r_f + r_5)}{\sum R} \stackrel{\text{not}}{=} \Delta R_x \quad (2.119)$$

$$\frac{(R_3 + r_6)(r_4 + r_f + r_5)}{\sum R} \stackrel{\text{not}}{=} \Delta R_e \quad (2.120)$$

(aici rezistență din stea nu contează, fiind în serie cu IN).

Înălțând în fiecare paranteză rezistențele r_i care apar în serie cu R_i , se scrie raportul:

$$\frac{\Delta R_x}{\Delta R_e} \approx \frac{R_4}{R_3} \stackrel{\text{inmultim}}{=} \frac{k \cdot R_4}{k \cdot R_3} \quad (2.121)$$

Etapile de echilibrare sunt:

- etapa 1: scurt-circuitem cele 6 borne la care se leagă R_x, r_f (scurt-circuit figurat prin linia punctată de pe desen), obținind astfel o punte Wheatstone obișnuită, care se echilibrează prin ajustarea R_3 astfel încât:

$$\frac{R_1}{R_2} = \frac{R_3}{R_4} \quad (2.122)$$

(această etapă e cea care permite folosirea unor rezistențe obișnuite și nu etalon în pozițiile R_3, R_4).

- etapa 2: se desface legătura de scurt-circuit și se re-echilibrează din R_e puntea astfel încât să obținem relația de echilibru:

$$\frac{R_x + \Delta R_x}{R_e + \Delta R_e} = \frac{R_1 + r_2}{R_2 + r_1} \underset{\text{etapa 1}}{\simeq} \frac{R_1}{R_2} = \frac{R_4}{R_3} \quad (2.123)$$

adică, folosind notația din ecuația 2.121:

$$\frac{R_x + kR_4}{R_e + kR_3} = \frac{R_4}{R_3} \Rightarrow \frac{R_x}{R_e} = \frac{R_4}{R_3} = \frac{R_4}{R_1} \quad (2.124)$$

și deci condiția de echilibru se poate aduce la forma standard:

$$R_x = \frac{R_1}{R_2} R_e \quad (2.125)$$

Schema se poate redesena pentru a pune în evidență conexiunea quadripolară (figura 2.40).

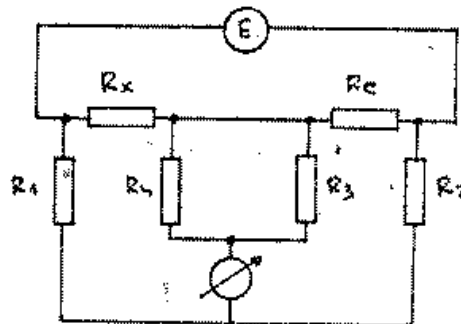


Figura 2.40: Conexiunea quadripolară a punții Thomson/Kelvin

Dezavantajul punții Thomson/Kelvin este că puntea nu este suficient de sensibilă dacă se folosește un indicator de nul pasiv (nu un milivoltmetru electronic), datorită ne-îndeplinirii condiției de sensibilitate maximă (R_x, R_e să fie de același ordin de mărime cu $R_1 \dots R_4$).

- puntea triplă (Warschawsky)

Aceasta se obține prin "extinderea" punții Thomson/Kelvin, făcind conexiune quadripolară și pentru rezistențele R_1, R_2 . În acest fel $R_{1,2,3,4}$ au același ordin de mărime și se poate obține sensibilitatea maximă în cazul folosirii unui galvanometru. În momentul de față însă, complexitatea sporită a punții nu se mai justifică, având în vedere că un amplificator de curent continuu cu impedanță mare de intrare este ceva foarte obișnuit.

Punți pentru măsurarea R_x mari

Dacă $R_x > 10M\Omega$ sau se fac măsurători de mare precizie sau *in situ*, efectul rezistențelor de izolație (scurgeri), inseparabile de R_x , se poate elibera folosind punți care să permită conexiunea tripolară:

- puntea simplă cu gardă

La această punte, borna de gardă G se leagă fie la pămînt (de exemplu, în cazul măsurării rezistenței de izolație între firele unui cablu subteran), fie se obține prin legarea împreună a celorlalte borne ale componentelor care apar în paralel pe R_2 , având o bornă comună cu R_x , în cazul măsurării *in situ*.

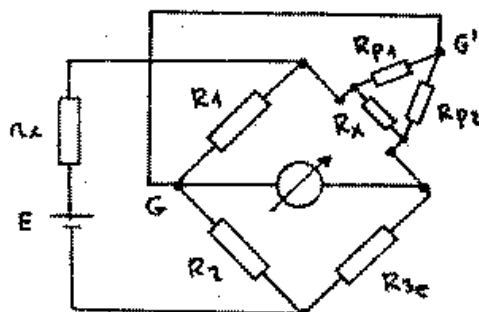


Figura 2.41: Puntea simplă cu gardă

Schema punții este redată în figura 2.41.

Fără legătura $G-G'$, se observă că valoarea măsurată $R_m = R_x \parallel (R_{p1} + R_{p2})$; Făcind legătura $G-G'$, R_{p1} apare în paralel pe R_1 și efectul ei nu contează dacă $R_1 \ll R_{p1}$, iar R_{p2} este bootstrapată, apărind în paralel pe IN care la echilibru are bornele la același potențial. Se obține relația de echilibru:

$$\frac{R_1 \parallel R_{p1}}{R_2} = \frac{R_{4x}}{R_3} \Rightarrow R_x = \frac{\frac{10^{\pm n}}{\Omega}}{\frac{R_1}{R_2}} \quad (2.126)$$

Dezavantajul acestei punți este că R_{p1} șuntează IN și îi reduce oarecum sensibilitatea (mai ales la măsurări *in situ* sau alte măsurări unde rezistențele parazite nu au valori foarte mari).

- puntea dublă cu gardă (sau puntea cu "pămînt Wagner" în c.a.)

Dacă condiția anterioară ($R_1 \ll R_{p1}, R_{p2}$) nu este îndeplinită, puntea simplă are erori prea mari; se folosește puntea dublă din figura 2.42:

Ordinile de mărime ale rezistențelor se află în relația:

$$R_{A,B} \ll R_{1,2} \ll R_{x,e} \quad (2.127)$$

($R_A, R_B < 100\Omega$) Echilibrarea se face în două etape:

- cu comutatorul pe poziția 1, se reglează R_B pînă la echilibrare punții secundare R_1, R_2, R_A, R_B , ceea ce corespunde relației:

$$\frac{R_{p1} \parallel R_A}{R_B} = \frac{R_1}{R_2} \quad (2.128)$$

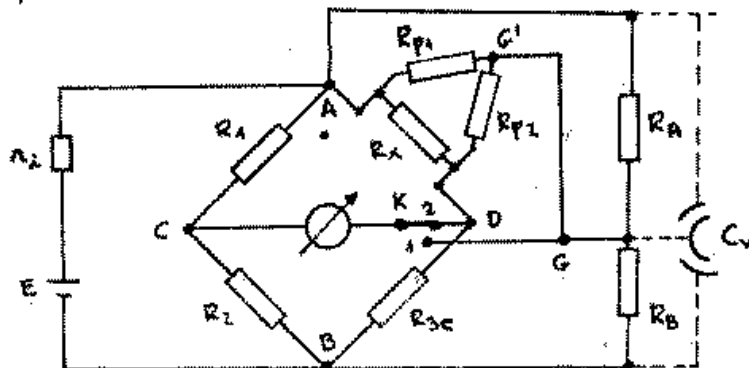


Figura 2.42: Puntea dublă cu gardă

În c.a., în paralel pe R_A, R_B se montează condensatorul variabil cu două secțiuni, care are proprietatea că i se poate regla raportul dintre capacitățile celor 2 secțiuni, suma acestora fiind constantă; în timpul echilibrării se regleză în acest caz R_B și C_V (denumirea de pămînt Wagner se referă la acest ultim caz).

- cu comutatorul în poziția 2, se aduce puntea la echilibru prin reglarea lui R_{3c} . Condiția de echilibru devine cea clasică:

$$R_{4x} = \frac{10^{\pm n}}{R_1} \cdot \frac{R_{3c}}{R_2} \quad (2.129)$$

Se observă că R_{p1}, R_{p2} au fost eliminate: R_{p1} apare în puntea secundară, iar R_{p2} este echipotențială ($V_C = V_G = V_D$).

Notă: practic, cele două etape de echilibrare se realizează prin încercări succesive, nesfârșit posibilă aducerea la echilibru din doar două manevre.

2.3.2.2 Punți de c.a.

- * Pe baza condițiilor stabilite în paragraful despre convergența punțiilor, doar 8 configurații de punți pot fi echilibrate independent de frecvență. În funcție de cum se aleg elementele reglabilă, gradarea va fi sau nu independentă de frecvență.

Vom studia cele 8 punți care, inițial, au fost descoperite pe rînd, și de aceea poartă numele creatorilor lor. De abia mai tîrziu a devenit evident că toate sunt cazuri particolare ale punții Wheatstone de c.a., diferind prin natura impedanțelor din brațe și configurațiile raport/produs și fază/quadratură.

Punți de raport/produs real (în fază)

$$(R = R_1/R_2, P = R_1R_3)$$

Ecuatiile de echilibru ale acestor punți sunt:

$$R_4 \stackrel{R}{=} \alpha_{12}R_3 \stackrel{P}{=} \alpha_{13}G_2 \quad (2.130)$$

$$X_4 \stackrel{R}{=} \alpha_{12}X_3 \stackrel{P}{=} \alpha_{13}B_2 \quad (2.131)$$

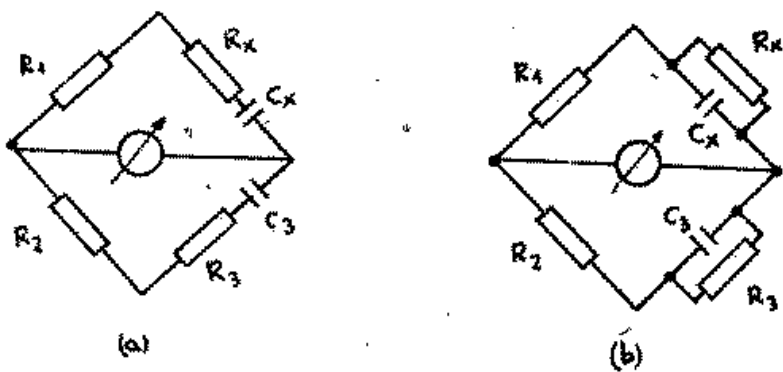


Figura 2.43: Punți de raport real (în fază)

Punțile de raport real sunt prezentate în figura 2.43 (a) – Puntea Sautin și (b) – Puntea Nernst, ambele punți pentru capacități, în configurație serie, respectiv paralel:

Dacă se alege un reglaj de tipul β, γ atunci relațiile de echilibru se scriu conform reprezentării carteziene, și gradarea nu depinde de frecvență:

$$C_x = \frac{10^{\pm n}}{\beta_1} R_2 \beta_3 \quad (2.132)$$

$$R_x = \frac{10^{\pm n}}{\beta_1} \frac{1}{R_2} \beta_3 \quad (2.133)$$

Iar dacă se alege un reglaj industrial de tipul α, β , atunci reprezentarea este mixtă și gradarea depinde de frecvență:

$$C_x = \frac{10^{\pm n}}{\beta_1} \beta_2 C_3 \quad (2.134)$$

$$D_r = \omega C_3 \beta_3 \in [0, D_{max}] \text{ (serie)} \quad Q_x = \omega C_3 \beta_3 \in [0, Q_{max}] \text{ (paralel)}$$

$$\varphi_x \in [-\pi/2, -\varphi_m] \quad \varphi_x \in [0, -\varphi_M]$$

Punțile de produs real sunt prezentate în figura 2.44 (a) – Puntea Maxwell-Wien și (b) Puntea Hay, ambele punți pentru inductanțe, în configurație serie, respectiv paralel:

Dacă se alege un reglaj de tipul β, γ :

$$L_r = \frac{10^{\pm n}}{\beta_1} R_3 \beta_2 \quad (2.136)$$

$$(2.137)$$

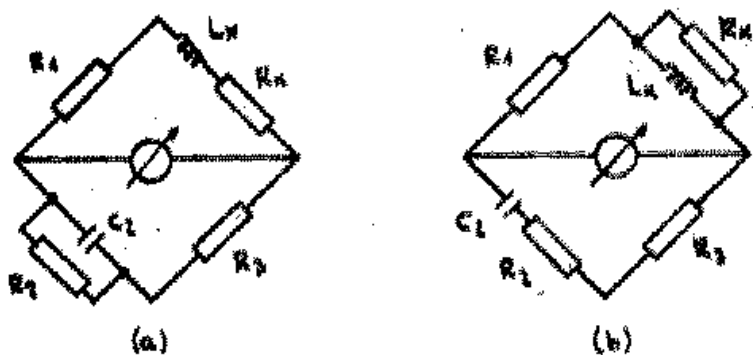


Figura 2.44: Puncte de produs real (în fază)

$$R_x = \frac{10^{\pm n}}{\beta_1} R_3 \frac{1}{\beta_2}$$

Iar dacă se alege un reglaj de tipul α, β :

$$L_x = \frac{10^{\pm n}}{\beta_1} \frac{H}{\beta_2 C_1} \quad (2.138)$$

$$Q_x = \omega C_2 \frac{R_2}{R_1} \in [0, Q_{max}] \text{ (serie)} \quad D_x = \omega C_2 \frac{R_2}{R_1} \in [0, D_{max}] \text{ (paralel)}$$

$$\varphi_x \in [0, \varphi_M] \quad \varphi_x \in [\varphi_m, \pi/2] \quad (2.139)$$

Puncte de raport/produs imaginari (în quadratură)

($R = j\omega C_2 R_1$, $P = -jR_1/\omega C_2$)

Ecuatiile de echilibru ale acestor puncte sunt:

$$R_4 \stackrel{R}{=} -\beta_{12} X_3 \stackrel{P}{=} -\beta_{13} B_2 \quad (2.140)$$

$$X_4 \stackrel{R}{=} \beta_{12} R_3 \stackrel{P}{=} \beta_{13} G_2 \quad (2.141)$$

Punctile de raport imaginari sunt prezentate în figura 2.45 – Punct Owen, ambele puncte pentru inductanțe, în configurație serie, respectiv paralel:

Dacă se alege un reglaj de tipul β, γ :

$$L_x = \frac{10^{\pm n}}{\beta_1} C_2 \frac{H}{\beta_3} \quad (2.142)$$

$$(2.143)$$

$$R_x = \frac{10^{\pm n}}{\beta_1} C_2 \frac{1}{\beta_3} \Omega \quad (2.144)$$

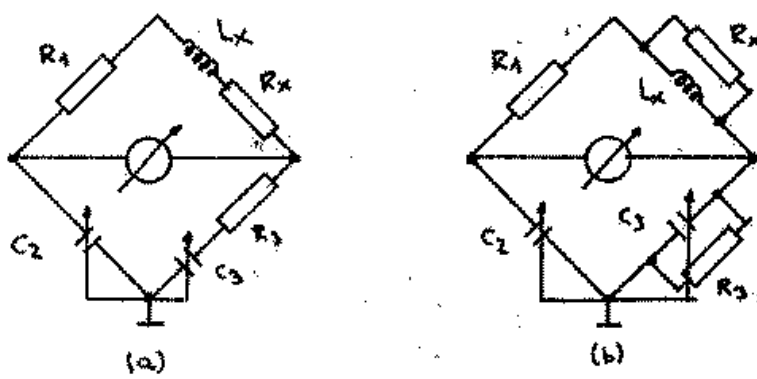


Figura 2.45: Punți de raport imaginari (în cuadratură)

Iar dacă se alege un reglaj de tipul α, β :

$$L_x = \frac{10^{\pm n}}{R_1} \frac{H}{Q_2 R_3} \quad (2.144)$$

$$Q_x = \omega \frac{Q_2}{R_3} \quad R_3 \in [0, Q_{max}] \text{ (series)} \quad D_x = \omega \frac{D_2}{Q_3} \quad R_3 \in [0, D_{max}] \text{ (parallel)} \\ \varphi_x \in [0, \varphi_M] \quad \varphi_x \in [\varphi_m, \pi/2] \quad (2.145)$$

Punțile de produs imaginari sunt prezentate în figura 2.46 – Punți Schering, ambele punți pentru capacitate, în configurație serie, respectiv paralel:

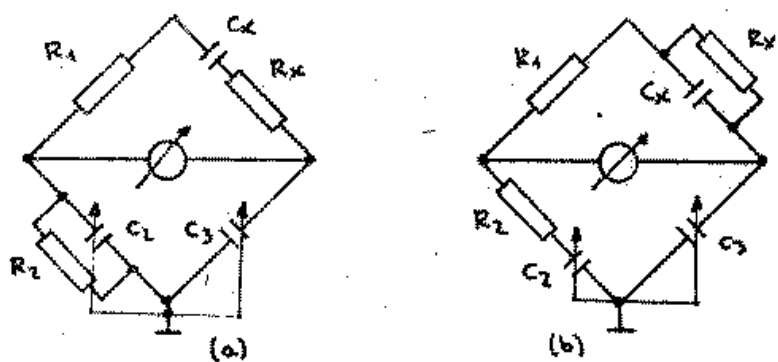


Figura 2.46: Punți de produs imaginari (în cuadratură)

Dacă se alege un reglaj de tipul β, γ :

$$C_x = \frac{10^{\pm n}}{R_1} \frac{F}{C_3 R_2} \quad (2.146)$$

$$R_x = \frac{10^{\pm n}}{R_1} \frac{1}{C_3} \frac{\Omega}{Q_2} \quad (2.147)$$

Iar dacă se alege un reglaj de tipul α, β :

$$C_x = \frac{1}{\omega} \frac{10^{F_n}}{q_s R_2} F \quad (2.148)$$

$$\begin{array}{ll} D_x = \omega q_s R_2 \in [0, D_{max}] & (serie) \\ \varphi_x \in [0, -\varphi_M] & \\ Q_x = \omega q_s R_2 \in [0, Q_{max}] & (paralel) \\ \varphi_x \in [-\varphi_m, -\pi/2] & \end{array} \quad (2.149)$$

Observații

- punctile în cuadratură (Owen, Schering) în variantă industrială se folosesc de obicei în înaltă frecvență, deoarece condensatoarele variabile au componente parazite mai precis controlate decât potențiometrele, și în plus după cum se vede pe figurile 2.45, 2.46 cursoarele acestora se pot regla la pămînt, ceea ce elimină influența măinii operatorului;
- ușual, cîte 4 tipuri de punți (cele în fază sau cele în cuadratură) se realizează constructiv în același aparat, în care se comută poziția elementelor în schema odată cu schimbarea funcției de măsură;
- știind că rezistențele variabile iau valori $R_V \in [0, R_{Vmax}]$ și $C_V \in [0, C_{Vmax}]$, nu se poate obține o acoperire completă a domeniului D, Q cu o singură puncte de capacitate, ci pentru aceeași natură de impedanțe sunt necesare 2 scheme, una măsurînd $Q \in [0, Q_M]$ și cealaltă $Q \in [Q_m, \infty]$.

Se observă pe figură că în punțile pereche (duale) pentru o aceeași reactanță (de ex, Sauty \leftrightarrow Nernst) produsul $\omega R C$ reprezintă D pentru conexiunea serie și Q pentru cea paralel. Pentru o acoperire completă a domeniului de impedanțe ($\varphi \in [0, \pm\pi/2]$) este necesar ca $\omega R_{max} C_{max} \geq 1$ ($\omega R C = 1$ corespunde la $\varphi_x = \pm\pi/4$). În mod obișnuit, se ia $\omega R_{max} C_{max} \gg 1$ (de exemplu, ≈ 10) astfel încît pentru impedanțele cu unghi mediu se pot obține cu aparatul astăzi elementele echivalente serie cît și derivație, urmînd ca pentru reactanțe/rezistențe aproape pure să nu se mai poată obține decât elementele echivalente într-o singură reprezentare (serie sau derivație).

- la toate punțile prezentate, echilibrarea nu depinde de frecvență; gradarea depinde de frecvență numai pentru mărîturile D_x, Q_x la punțile de tipul α, β ; măsurătoarea este însă corectă numai dacă conexiunea fizică a Z_x corespunde cu reprezentarea;
- unghiul de convergență al punților cu reglaje de tipul β, γ este de $\pi/2$, iar al celor cu reglaje α, β este $< \pi/2$ și depinde de Z_x (mai exact, de Q_x);
- sensibilitatea punților este:
 - constantă la punțile:
 - * de raport real $\mathcal{R} = \alpha \Rightarrow S_0 = 0.25$ (Sauty, Nernst, pentru măsurarea C_x);

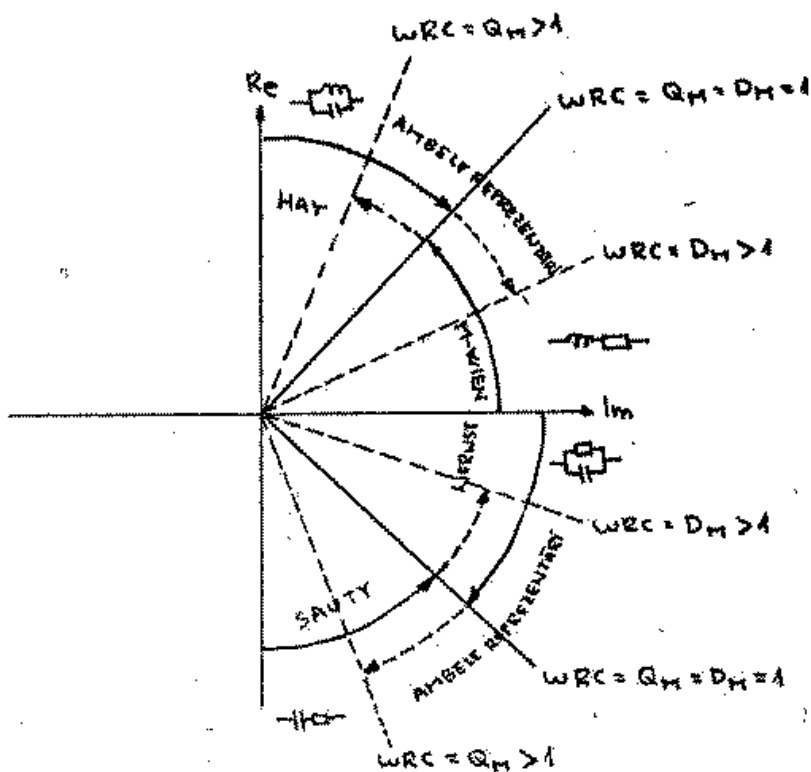


Figura 2.47: Acoperirea domeniului de măsură

* de raport imaginar $R = j\beta \Rightarrow S_0 = 0.5$ (Owen, pentru măsurarea L_x).

- variabilă cu Z_x :

- * la punctile cu raport variabil (reglaj α, β);
- * la toate punctile de produs.

La punctile cu S variabilă, sensibilitatea maximă se obține cind $R_1 = |Z_2|$, situație care se întâlnește într-un singur punct, pe gama mijlocie de valori a domeniului de măsură al aparatului.

- Nu există puncte gradabile pentru măsurarea inductanțelor mutuale (există de exemplu puntea Carey-Foster care permite măsurarea M dar prin calcul, funcție de valorile mai multor elemente variabile din puncte);

Inductanța mutuală M se măsoară cu puncte de inductanțe obișnuite, în două etape:

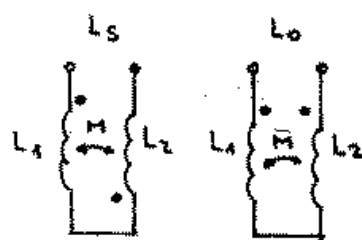


Figura 2.48: Măsurarea inductanțelor mutuale

- se conectează inductanța la puncte după schema din figura 2.48 (a), și se citește L_s (serie);

— se conectează ca în figura (b) și se citește L_O (opozitie).

Notă: valorile direct citite pot fi folosite doar dacă ambele corespund unei reprezentări serie a impedanței. În caz contrar, valoarea obținută echivalentă derivată trebuie calculată prin calcul în valoare echivalentă serie (la un transformator cu miez magnetic, inducția serie este mare și are Q mare, iar inducția în opozitie este mult mai mică și are Q mic, încât se poate întâmpla ca L_S să fie măsurată echivalentă derivată iar L_O să fie măsurată echivalentă serie).

Se folosesc relațiile:

$$L_S = L_1 + L_2 + 2M \quad (2.150)$$

$$L_O = L_1 + L_2 - 2M \quad (2.151)$$

de unde rezultă

$$M = \frac{1}{4}(L_S - L_O) \quad (2.152)$$

Punți cu transformator

Punțile cu transformator sunt de raport real $\mathcal{R} = N_1/N_2$; dacă $\mathcal{R} = 1$ ele se numesc și punți diferențiale, în practică însă denumirea este extinsă și la punți cu $\mathcal{R} \neq 1$; dacă raportul este reglabil digital decadic (cifră cu cifră) se numesc punți cu dispozitiv inductiv de raport (DIR). De obicei ele sunt cele mai precise punți.

Elementul de bază al acestor punți este transformatorul (cu două secțiuni), reprezentat în figura 2.49.

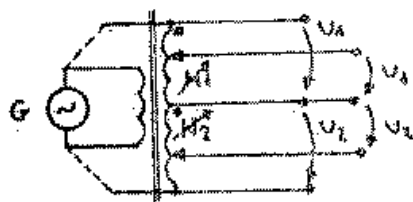


Figura 2.49: Transformator

Se poate folosi transformator, în care caz există separare galvanică între primar și secundar, sau un autotransformator, în care caz generatorul alimentează cele 2 înfășurări în serie. În ambele cazuri este valabilă relația:

$$\mathcal{R} = \left. \frac{U_1}{U_2} \right|_g \approx \frac{N_1}{N_2} \quad (2.153)$$

Eroarea de aproximare a raportului de tensiuni (în gal) cu raportul numerelor de spire variază de la $\varepsilon_R = 10^{-4}$ la transformatoarele de serie pînă la 10^{-7} la cele mai precise (și mai scumpe); ea practic nu variază în timp sau cu temperatura, dar variază puternic cu frecvența (se încreiază la frecvență fixă). Pentru reducerea erorii se urmărește ca inducția

propriile L_p a înfășurărilor să fie cît mai mari, inducția de scăpări L_s să fie cît mai mică, și rezistența înfășurărilor să fie proporțională cu numărul de spire.

Aspectele constructive care duc la îndeplinirea acestor condiții sunt:

- miezul trebuie să aibă permeabilitatea relativă μ_r , cît mai mare. În momentul de față se folosesc mai ales miezurile toroidale de ferită (torul are scăpările magnetice cele mai mici). S-au folosit și alte materiale cu μ_r chiar mai mare decât al feritei (permaloy, mumetal) dar acestea sunt fragile din punct de vedere mecanic și greu de prelucrat, în timp ce ferita se obține prin sinterizare (presarea la căldură a unei pulberi) în orice formă se doresête;
- bobinarea spirelor se face bifilar (sau multifilar, dacă sunt mai multe secundare) și întrețesut, astfel ca toate spirele să ocupe aproape același loc geometric și deci elementele parazite să influențeze la fel toate înfășurările; această metodă are totuși dezavantajul că rezistența de izolație scade;
- fiecare înfășurare trebuie să ocupe un monostrat complet, pentru că un al doilea strat ar fi mai îndepărtat de miez decât primul, și inducția de scăpări ar fi mai mare;
- înfășurările se realizează cu același diametru de fir, spre deosebire de transformatoarele de putere. Prin aceasta, rezistența înfășurării, proporțională cu numărul de spire, are aceeași constantă de proporționalitate pentru toate înfășurările, ceea ce duce la simplificarea ei când se face raportul;
- pentru a ocupa cît mai puțin spațiu (și deci a putea fi cît mai aproape de miez) înfășurările se pot face cu fir de secțiune dreptunghiulară, mai ales când au puține spire;
- capetele înfășurărilor trebuie să fie unul lîngă altul, pentru că inducția de scăpări crește cu rezistența în aer, care depinde de distanță.

Aceste condiții fac să fie dificil de construit un transformator cu \mathcal{R} mare. Pentru un transformator cu 1:10, se bobinează 10 spire secundare alături de fiecare spiră primară, și un raport de 1:100 devine imposibil de realizat practic. De aceea, se folosesc mai multe transformatoare conectate în cascadă pentru obținerea de rapoarte mari.

Acoperirea unui domeniu mare de impedanțe se face cu două scheme de punte:

Punte cu transformator pentru măsurarea Z_x medii/mari

Acest tip de punte, cu schema din figura 2.50, permite conectarea dipolară și tripolară și se pretează la măsurările cu gardă / in situ.

Impedanțele parazite apar în paralel pe înfășurările $N_1 \dots N_4$ deci efectul lor este eliminat. Indicatorul de nul este cu $R_i \rightarrow 0$ ceea ce se realizează practic foarte ușor cu un amplificator electronic cu reacție paralelă la intrare.

La echilibru, $I_{IN} = 0$. Aceasta se obține când solenoiile date de curentii I_e , I_x în secundarul lui TR2 se anulează, adică:

$$N_3 I_e = N_4 I_x \quad (2.154)$$

Înfășurările N_1, N_2 sunt surse de tensiune deci curentii I_e, I_x se înlocuiesc:

$$N_3 \frac{N_1 E}{Z_e} = N_4 \frac{N_2 E}{Z_x} \quad (2.155)$$

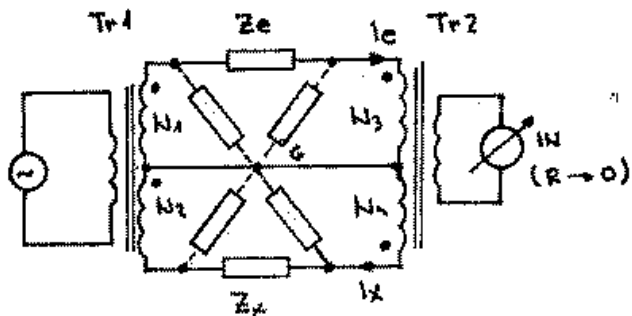


Figura 2.50: Punte cu transformator pentru Z_x medii/mari

și se obține condiția de echilibru pentru conectarea serie a echilibrorului:

$$Z_x = \frac{N_2 N_4}{N_1 N_3} \quad (2.156)$$

respectiv pentru conectarea paralelă:

$$Y_x = \frac{N_1 N_3}{N_2 N_4} \quad (2.157)$$

Dacă N_2, N_4 se iau reglabile decadice 1:10, 1:1, 10:1, atunci se pot măsura rezistențe de la zeci de ohmi pînă la $M\Omega$.

Modelul Z_x (serie/paralel) rezultă după conectarea Z_x . Dacă DIR are rapoarte fixe, atunci Z_x trebuie să aibă două elemente reglabile, în timp ce dacă se folosește un DIR regabil decadic, atunci Z_x poate avea un singur element regabil sau poate fi chiar fix (pentru două DIR).

Punte cu transformator pentru măsurarea Z_x mici

Schema punții este dată în figura 2.51. Această punte permite conectarea quadripolară, pentru măsurarea rezistențelor mici sau telemăsură.

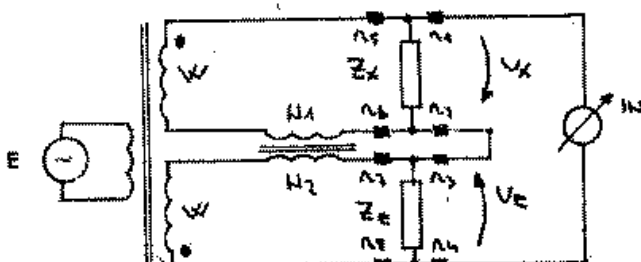


Figura 2.51: Punte cu transformator pentru Z_x mici

La această schemă, TR2 este un transformator de curent, adică este proiectat să lucreze în scurt-circuit, cu inductanțe de scăpări mici. Indicatorul de nul este de data aceasta cu

$Z_t \rightarrow \infty$; în felul acesta prin rezistențele de contact $r_1 \dots r_4$ nu circulă curent și ele nu intervin în relația de echilibru. TR2 "forțează" curentul prin cele două ochiuri; pentru a lucra la solenacie nulă în miez, relația între curenți este:

$$N_1 I_x = N_2 I_e \quad (2.158)$$

aceasta se obține cind inductanțele infășurărilor lui TR2 sunt foarte mari față de Z_e, Z_x ($\omega L_{1,2}$ sunt de ordinul autelor de $K\Omega$) și astfel curentul prin Z_e, Z_x nu depinde de acestea. De asemenea se observă că rezistențele de contact $r_5 \dots r_8$ fiind foarte mici nu contează (căderile de tensiune pe ele nu sunt "văzute" de IN).

Din condiția $U_{IN} = 0$:

$$I_x Z_x = I_e Z_e \quad (2.159)$$

și din ultimele două ecuații se obține:

$$Z_x = \frac{N_1}{N_2} \quad (2.160)$$

sau

$$Y_x = \frac{N_2}{N_1} \quad (2.161)$$

Echilibrarea punților cu transformator se poate face în următoarele moduri:

A. Echilibrarea directă

Această metodă se bazează pe relația:

$$Z_x = R \quad (\text{idem } Y_x) \quad (2.162)$$

În continuare, vom presupune că transformatorul TR2 are raportul 1:1 și vom desena doar TR1 și cele 5 variante de realizare a Z_e, Z_x . Pentru a permite comutarea decadică a ordinului de mărime, infășurării N2 din TR1 î se prevăd 3 prize, după cum se vede în figura 2.52. În acest fel se obține $R = 10^{k_m} = 1:10, 1, 10:1$.

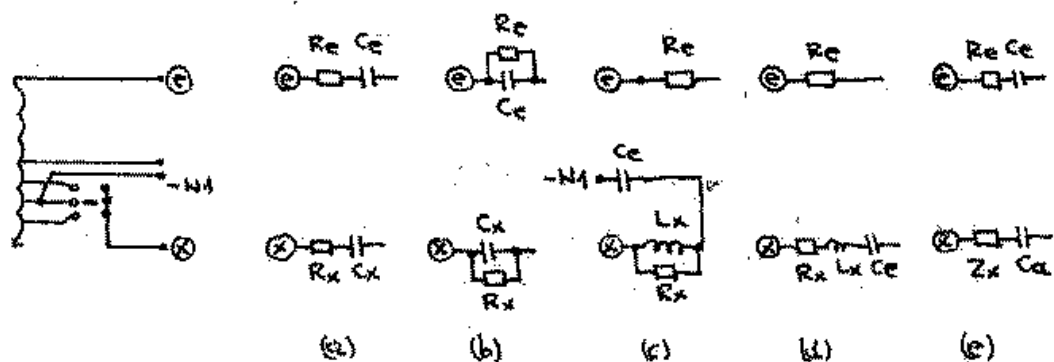


Figura 2.52: Variante ale echilibrării directe

Studiem pe rând variantele de Z_e, Z_x notate a,b,c,d,e pe figură:

a) echilibrorul este conectat serie, rezultă modelul echivalent serie pentru Z_x ; C_x :

$$R_x = 10^{\pm m} \quad \boxed{\Omega} \quad C_x = 10^{\mp m} \quad \boxed{F} \quad (2.163)$$

deoarece $R_x \in [0, R_M]$, $C_x \in [0, C_M]$, atunci:

$$D \in [0, D_M] \quad \varphi_x \in [-\pi/2, -\varphi_m] \quad (2.164)$$

adică sistem în cazul capacităților aproape pure. Echilibrarea și gradarea nu depind de frecvență (dacă Z_x are structură fizică conform modelului serie).

b) echilibrorul este conectat paralel, rezultă modelul echivalent paralel pentru Z_x :

$$R_x = 10^{\pm m} \quad \boxed{\Omega} \quad C_x = 10^{\mp m} \quad \boxed{F} \quad (2.165)$$

și similar:

$$Q \in [0, Q_M] \quad \varphi_x \in [-\varphi_m, 0] \quad (2.166)$$

Echilibrarea și gradarea nu depind de frecvență (vezi mai sus).

c) Cele două componente R_x și C_x se conectează în brațe diferite, folosind în plus priza notată $-N1$ pentru C_x , și impedanță necunoscută rezultă conform modelului paralel. Currentul capacativ adus de C_x se reglează încă la compensarea curentului inductiv adus de L_x (pseudorezonanță), în infăsurarea N_4 rămîne componenta rezistivă (în fază) a curentului prin R_x , echilibrată de curentul rezistiv prin R_c .

$$R_x = 10^{\pm m} \quad \boxed{\Omega} \quad L_x = 10^{\mp m} \frac{1}{\omega^2 \quad \boxed{H}} \quad (2.167)$$

$$Q \in [0, Q_M] \quad \varphi_x \in [0, \varphi_M] \quad (2.168)$$

Echilibrarea și gradarea depind de frecvență.

d) Cele două componente R_x și C_x se conectează tot în brațe diferite, și impedanță necunoscută rezultă conform modelului serie. În plus, în această variantă nu mai este posibilă decât folosirea raportului 1:1 (rezonanță serie).

$$R_x = 10^{\pm m} \quad \boxed{\Omega} \quad L_x = \frac{1}{\omega^2 \quad \boxed{H}} \quad (2.169)$$

$$Q \in [Q_m, \infty] \quad \varphi_x \rightarrow +\pi/2 \quad (2.170)$$

Echilibrarea și gradarea depind de frecvență.

- e) Această ultimă variantă se folosește cind nu cunoaștem natura Z_x , care se inseriază cu un condensator auxiliar C_a de valoare mică, care poate fi imprecis și comutabil doar ca ordin de mărime; în momentul în care se face echilibrarea, pentru $C_a = C_{a0}$, înseamnă că impedanța echivalentă din ramura de jos este de natură capacativă; natura Z_x se determină în felul următor:

$$\begin{cases} C_{a0} < C_a \Rightarrow Z_x \\ C_{a0} > C_a \Rightarrow L_x \end{cases} \quad (2.171)$$

Se încercă mai multe valori C_a pentru convingere (s-ar putea trece dincolo de frecvența de rezonanță în cazul impedanțelor inductive).

B. Echilibrarea prin substituție

Această metodă impune $R = 1 : 1$ și $Z_x = \cancel{\cancel{Z}}$. Se folosește de obicei la frecvențe mari, unde oricum impedanțele măsurate nu pot fi niște foarte mici, nici foarte mari din cauza elementelor parazite. Impedanța notată Z_1 este corectorul de zero. Schema punții este dată în figura 2.53:

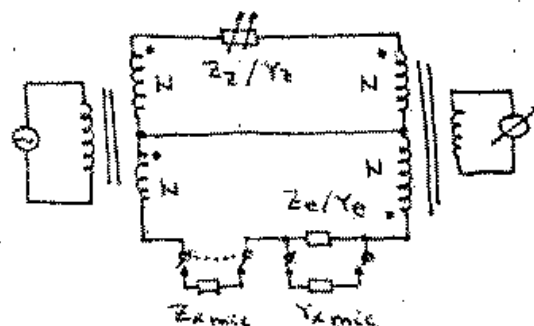


Figura 2.53: Echilibrarea prin substituție.

Echilibrarea se face în două etape:

- echilibrorul se aduce pe poziția gradată 0; se face scurt-circuit la bornele Z_x și se lasă în gol bornele Y_x ; se regleză Z_x urmărind obținerea $U_{IN} = 0$. Astfel se realizează compensarea elementelor parazite, printr-un dezechilibru de sens opus al Z_x .
- se introduce Z_x sau Y_x la bornele corespunzătoare de pe schemă, și se încearcă echilibrarea Z_x ; în momentul echilibrului se satisfac relația $Z_x = -\Delta Z_x$, sau $Y_x = -\Delta Y_x$. În funcție de conectarea serie/paralel, schemele echivalente ale brațului de sus și de jos sunt date în figura 2.54 (a), respectiv (b).

Relațiile de legătură se deduc în fiecare caz; de exemplu, pentru impedanțe capacitive, rezultă, respectiv:

(a)

(b)

$$\begin{cases} R_x = -\Delta R_x \\ \frac{1}{C_x} = \frac{1}{C_{x0}} - \frac{1}{C_e} \end{cases} \quad \begin{cases} \frac{1}{R_x} = \frac{1}{R_{x0}} - \frac{1}{R_e} \\ C_x = C_{x0} - C_e = \Delta C_e \end{cases} \quad (2.172)$$

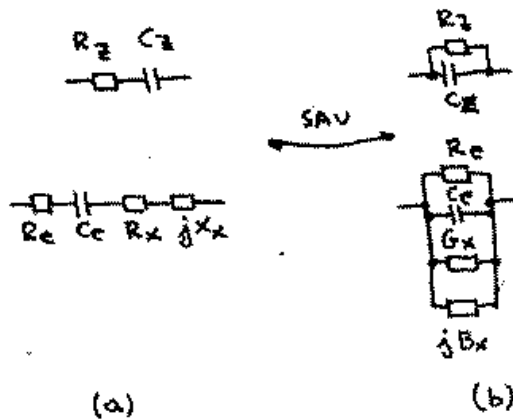


Figura 2.54: Variantele serie/paralel

C. Echilibrarea folosind DIR reglabil digital

Un DIR reglabil digital permite obținerea la ieșire a unei tensiuni:

$$U_O = U_I \cdot \overline{0.n_1n_2n_3 \dots n_m} \quad (2.173)$$

regabilă prin comutarea a m comutatoare decadice, m putând ajunge la 7 (în funcție de precizia cu care este construit transformatorul) ceea ce corespunde cu reglarea digitală a "numărului de spire" echivalent $N'_1 = \overline{0.n_1n_2n_3 \dots n_m} \cdot N_1$.

Există două variante de scheme, una multiplicativă și una aditivă.

Schema multiplicativă este reprezentată în figura 2.55:

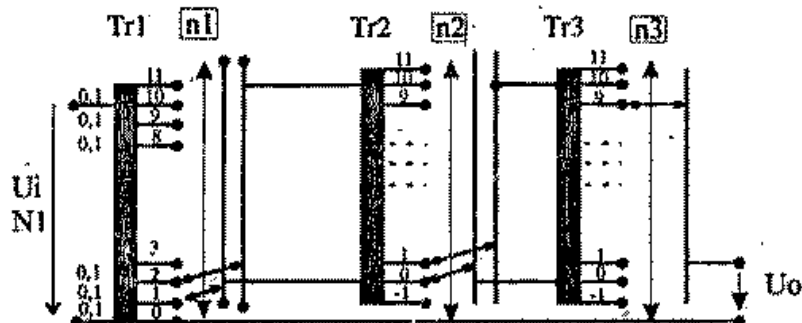


Figura 2.55: DIR decimal multiplicative, varianta 1

Pe schemă s-a reprezentat pentru simplitate doar jumătatea de sus a DIR (corespunzătoare lui N_1 în figurile precedente). Primul transformator are 12 prize (uneori mai multe), numerotate de la 0 la 11, fiecare cu $0.1N_1$ spire, generatorul fiind conectat pe priza 10. De pe el se culege tensiune pentru al doilea transformator folosind o perie de perii care "calcă" pe cîte două prize vecine astfel încât tensiunea între ploturi va fi mereu $0.1U_1$.

Tensiunea între peria de jos și masă va fi $\overline{0.n_1} \cdot U_1$, iar tensiunea între peria de sus și masă va fi $\overline{0.(n_1 + 1)} \cdot U_1$.

Prin urmare al doilea transformator primește $0.1U_1$ în primar și între cele 2 perii din secundarul lui și masă vom avea, respectiv, $\overline{0.n_1n_2} \cdot U_1$, $\overline{0.n_1(n_2 + 1)} \cdot U_1$, și similar la ieșirea ultimului transformator vom găsi tensiunea $\overline{0.n_1n_2n_3} \cdot U_1$. Schema se poate extinde cu mai multe transformatoare în funcție de rezoluția dorită.

Transformatoarele 2, 3, etc au de obicei o priză în plus, notată -1 (deci o secțiune în plus, în antifază). Rostul acestei prize, precum și a prizelor 10, 11 (uneori și mai mult) de la toate transformatoarele este de a nu fi nevoie să rotim și comutatoarele ordinelor de mărime precedente / următoare doar pentru o mică depășire de 0.1, 0.2, ...

O variantă a acestei scheme, prezentată în figura 2.56 permite înlocuirea transformatoarelor cu prize Tr2, Tr3, etc cu simple transformatoare de raport 10:1 (fix). Aceasta duce la o oarecare ieftinire a construcției, dar nu una majoră pentru că cel mai precis transformator trebuie oricum să fie Tr1, pentru că precizia lui determină numărul de cifre folosibil. Deja Tr2 poate avea eroarea de 10 ori mai mare, etc.

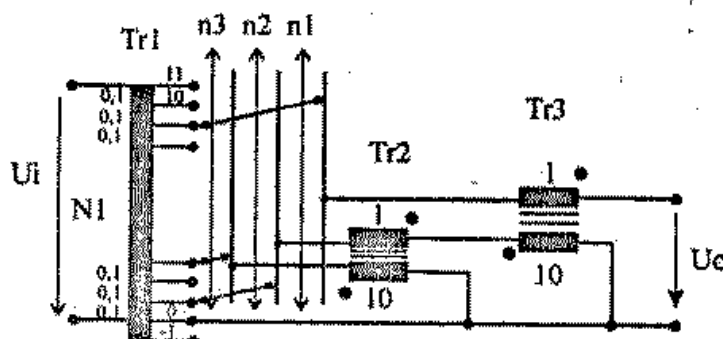


Figura 2.56: DIR decadic multiplicativ, varianta 2

Toate secțiunile lui Tr1 au $0,1N_1$ spire, și prizele sunt duse în paralel la ploturile mai multor comutatoare; tensiunea la ieșire se obține astfel:

- pe plotul comutatorului n_3 se găsește tensiunea $\overline{0,n_3}U_1$ care în secundarul transformatorului Tr2 devine $\overline{0,0n_3}U_1$;
- ea se insumează cu $\overline{0,n_2}U_1$ de pe plotul comutatorului n_2 rezultând tensiunea $\overline{0,n_2n_3}U_1$, care în secundarul Tr3 devine $\overline{0,0n_2n_3}U_1$;
- ea se insumează cu $\overline{0,n_1}U_1$ de pe plotul comutatorului n_1 și se obține la ieșire $\overline{0,n_1n_2n_3}U_1$.

Schela aditivă este reprezentată în două variante (figurile 2.57, 2.58):

La aceste scheme se folosesc o rețea de impedanțe sumatoare de curenți. Rețeaua poate fi capacitive și/sau rezistivă:

- rețea capacitive

Varianta de schemă este redată în figura 2.57.

Rețeaua e formată din cele 3 condensatoare notate pe schemă C , $0.1C$, $0.01C$. Tensiunea pe fiecare condensator se ia de pe cîte un comutator diferit, putind astfel fi reglată independent de tensiunea de pe celelalte condensatoare. Cei 3 curenți prin condensatoare se închid prin rezistență reglabilă R :

$$I_{sc} = \frac{1}{R} (tg\delta + j) = \overline{0.n_1n_2n_3} I_c (tg\delta + j) \quad (2.174)$$

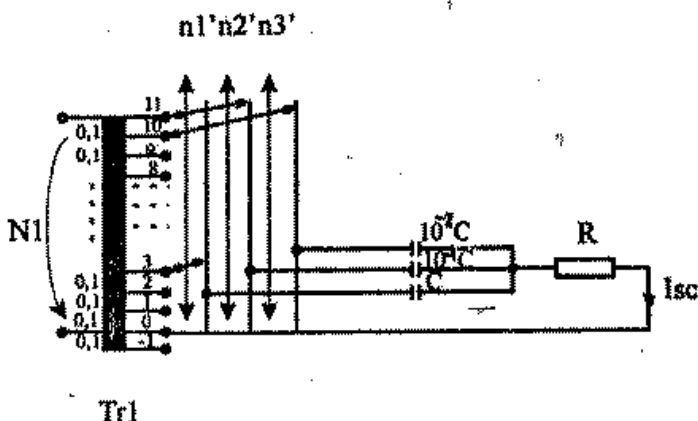


Figura 2.57: DIR decadic aditiv, varianta 1

unde I_e este treapta elementară de curent:

$$I_e = \frac{0.1 U_1}{\omega \cdot 0.01 C} \quad (2.175)$$

Această schemă permite reglarea capacitații echivalente din n_1, n_2, n_3 și a factorului de pierderi sau de calitate din R . Este necesar să se lucreze în scurtcircuit, nu în gol, pentru că pe rezistența R nu ar cădea nici o tensiune în gol deci valoarea ei nu ar conta.

* rețea rezistivă

Această rețea permite obținerea unui curent în fază cu tensiunea, deci prin reglarea lui se echilibrează componenta rezistivă a Z_x . A două variantă de punte folosește acest tip de rețea, precum și rețeaua capacativă pentru componenta reactivă. Schema este dată în figura 2.58:

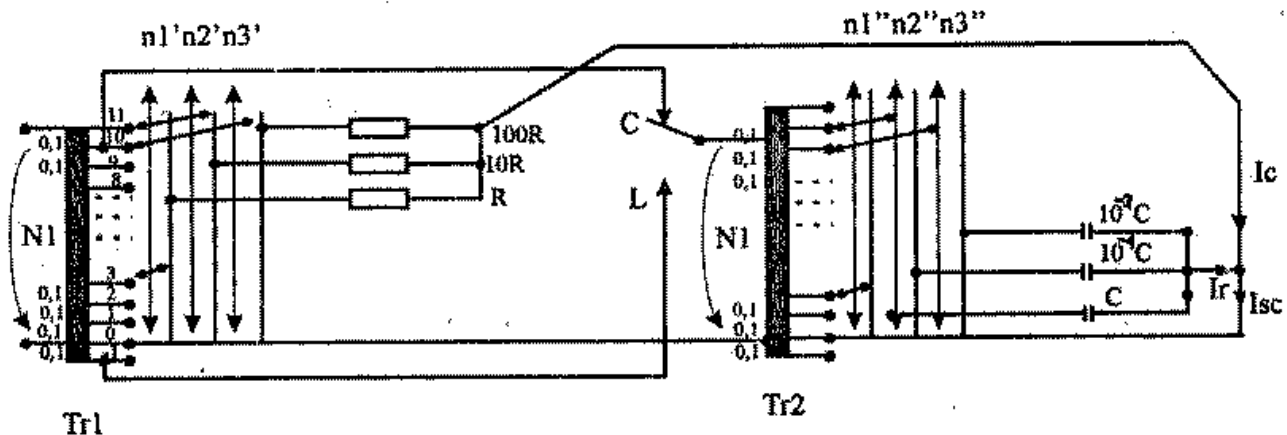


Figura 2.58: DIR decadic aditiv, varianta 2

Pentru echilibrarea componentei în quadratură, se folosește un al doilea transformator cu rețea divizoare capacativă, alimentat printr-un comutator care permite introducerea unui defazaj de 180 de grade (în cazul măsurării bobinelor). Astfel, curentul de

scurt-circuit este:

$$I_{sc} = \sqrt{R + jC} = \overline{0.n'_1 n'_2 n'_3} I'_e \pm j \overline{0.n''_1 n''_2 n''_3} I''_e \quad (2.176)$$

Pozosirea DIR reglabil digital permite echilibrarea Z_x conform a două reprezentări: mixtă sau carteziană;

- echilibrarea în reprezentarea mixtă, serie sau paralel, numai pentru C_x , foloseste schema din figura 2.59.

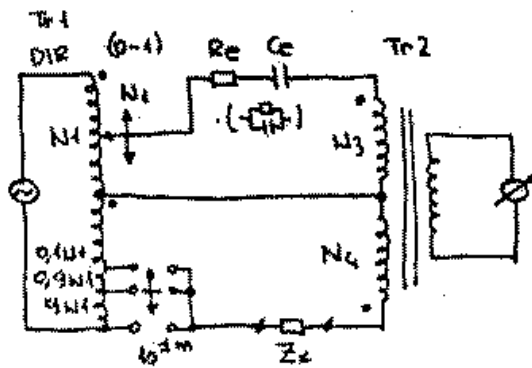


Figura 2.59: Echilibrarea în varianta mixtă.

În schemă numărul de spire N1 din înfășurarea de sus a Tr1 este $N1 = \overline{0.n'_1 n'_2 n'_3} N_1$, realizată în oricare din modurile descrise anterior (figurile 2.55, 2.56, 2.57; în cazul figurii 2.57, $C_e = 1.11C$).

La echilibru, solenajile egale în înfășurarea care alimentează IN duc la relația:

$$N_3 I_e = N_4 I_x \Rightarrow N_3 \frac{\overline{N'_1 e}}{Z_e} = N_4 \frac{\overline{N'_2 e}}{Z_x} \quad (2.177)$$

unde e este numărul de volți/spiră;

$$Z_x = \frac{\overline{N'_2 N_4}}{\overline{N'_1 N_3}} Z_e \quad (2.178)$$

Scriind:

$$Z_e = R_e + \frac{1}{j\omega C_e} \quad (2.179)$$

$$Z_x = R_x + \frac{1}{j\omega C_x} \quad (2.180)$$

se obține

$$Z_x = \frac{\overline{N'_2 N_4}}{\overline{N'_1 N_3} \omega C_e} \frac{1}{\omega C_x} \left[\frac{D_x}{R_e} - j \right] = \frac{1}{\omega C_{ex}} (D_x - j) \quad (2.181)$$

și similar pentru cazul paralel:

$$Y_x = \frac{N_1 N_3}{N_2 N_4} \omega C_e \left(\frac{\boxed{Q_x}}{\frac{1}{\omega C_e R_e} + j} \right) = \omega C_{xp} \left(\frac{1}{Q_x} + j \right) \quad (2.182)$$

- echilibrarea în reprezentarea carteziană, numai paralel, pentru C_e sau L_e , folosește schema din figura 2.60.

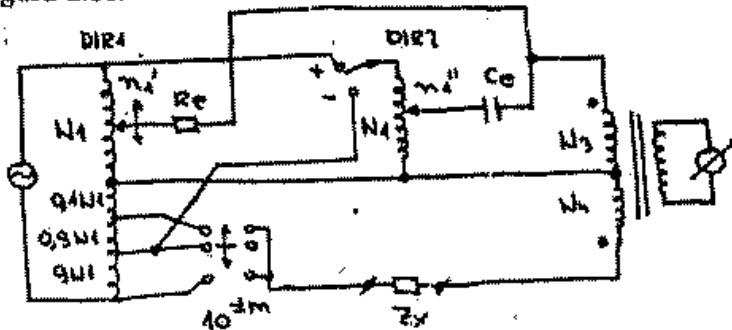


Figura 2.60: Echilibrarea în varianta carteziană

În acest caz se folosește schema de DIR reglabil digital din figura 2.58 cu $R_e = R \parallel 10R \parallel 100R$ și $C_e = C \parallel 0.1C \parallel 0.01C$, sau doar DIR de tipurile din figurile 2.55, 2.56 pentru a obține n'_1 și n''_1 sub forma $0.n'_1 n''_2 n''_3 N_1 \pm j 0.n''_1 n''_2 n''_3 N_1$.

Condiția de echilibru este:

$$N_3 I_e = N_4 I_x \Rightarrow N_3 (I_{Re} + I_{Ce}) = N_4 \frac{N_2 e}{Z_x} \quad (2.183)$$

$$I_{Re} + I_{Ce} = \frac{n'_1 e}{R_e} \pm \frac{n''_1 e}{j \omega C_e} \quad (2.184)$$

$$(2.185)$$

$$\Rightarrow Y_x = \frac{10^{\pm m}}{N_2 N_4} \left(\frac{N_3}{n'_1} G_e \pm j \frac{n''_1}{n'_1} \omega C_e \right)$$

2.3.3 Punți active și automate

2.3.3.1 Punți active

Folosirea elementelor active în punți urmărește în principal 4 direcții: liniarizarea răspunsului, înlocuirea transformatoarelor, realizarea de reacție variabile pornind de la capacitați fixe și reducerea erorilor transformatoarelor. Le vom studia pe rând.

A. Liniarizarea răspunsului punțiilor

La punțile pasive, răspunsul este liniar doar în apropierea echilibrului, în limite foarte mici. Avantajele liniarizării răspunsului și mai departe de echilibru sunt:

- posibilitatea folosirii etaloanelor variabile cu rezoluție mai redusă, din moment ce cifrele cele mai puțin semnificative se citesc acum pe IN (care devine voltmetru electronic);
- echilibrarea automată se poate face în pași mai puțini.

Un exemplu de schemă de punte de c.c. liniarizată este dat în figura 2.61.

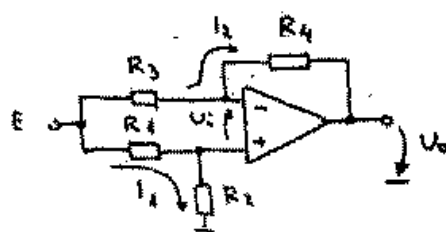


Figura 2.61: Punte de c.c. liniarizată

Se fac presupunerile $a \rightarrow \infty$, $Z_{IN} \rightarrow 0$, $I_b \rightarrow 0$, și datorită reacției negative se poate scrie $u_i \rightarrow 0$ sau $U_+ = U_-$. În aceste condiții, se aplică teorema superpoziției, adică se aplică pe rînd tensiunea E în A, legînd B la masă, și în B, legînd A la masă. Tensiunea la ieșire este suma tensiunilor la ieșire în cele 2 cazuri:

$$\begin{aligned} \frac{U_0}{E} &= \frac{R_4}{R_1 + R_2} \frac{R_4 + R_3}{R_3} - \frac{R_4}{R_3} \\ &= \frac{R_2 R_4 + R_2 R_3 - R_4 R_1 - R_4 R_2}{R_3 (R_1 + R_2)} \\ &= \frac{R_2 R_3 - R_4 R_1}{R_3 (R_1 + R_2)} \Bigg|_{R_{40} = \frac{R_2}{R_1} R_3} = 0 \end{aligned} \quad (2.186)$$

Pentru $R_3 = R_{40} + \Delta R_4$:

$$\frac{U_0}{E} = -\frac{R_1}{R_3 (R_1 + R_2)} \Delta R_4 = k \Delta R_4 \quad (2.187)$$

deci scara pe care se citește U_0 se poate grada direct în Ω (iar dacă voltmetrul este numeric, se citește efectiv valoarea în ohmi) reprezentând ultimele cifre ale rezistenței, în timp ce pentru primele cifre se poate alege R_0 regabil decadic;

Altă variantă de gradare: folosind $R_1/R_0 = R_2/R_{40}$ obținem:

$$\frac{U_0}{E} = \frac{R_2}{R_1 + R_2} \frac{\Delta R_4}{R_{40}} \quad (2.188)$$

și în acest caz scara U_0 se poate grada în procente, măsurând dezechilibrul $\sigma = \Delta R_4/R_{40}$, util de exemplu la punțile tensometrice.

B. Înlocuirea transformatoarelor

Dacă transformatoarele permit atingerea unor precizii foarte mari, dacă se construiesc după regulile specificate în paragraful despre punțile cu transformator, sunt situații cînd se dorește înlocuirea lor:

- la valori extreme de impedanțe (foarte mici sau foarte mari);
- în aplicații de bandă largă (am văzut că punțile cu transformator sunt proiectate pentru a merge la frecvență fixă, eroarea fiind puternic dependentă de frecvență);
- la frecvențe foarte joase, inclusiv în c.c., unde transformatoarele nu funcționează de loc.

Prezentăm două tipuri de punți active obținute prin înlocuirea transformatoarelor:

- Puntea Logan

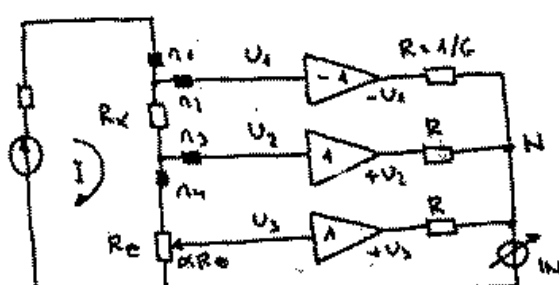


Figura 2.62: Puntea Logan

Este o punte de c.c. cu schema dată în figura 2.62, permășind conectarea cuadripolară. Se folosesc 3 repezoare, cel de sus fiind urmat și de un inversor (nu se folosește direct inversor, ci inversor precedat de repetor, pentru a avea impedanță foarte mare de intrare). Datorită impedanței de intrare foarte mari, curentul de intrare este neglijabil, deci nu apare nici o cădere de tensiune pe rezistențele r_2, r_3 , ele ne-influențând funcționarea circuitului.

Tensiunea în nodul N se scrie folosind teorema potențialelor la noduri:

$$\begin{aligned} U_N &= \frac{-GU_1 + GU_2 + GU_3}{G + G + G} = \frac{1}{3}[U_3 - (U_1 - U_2)] \\ &= \frac{1}{3}(\cancel{\Omega} R_s - R_x) \stackrel{\text{echil}}{=} 0 \end{aligned} \quad (2.189)$$

adică echilibrarea se face prin reglarea potențiometrului R_s . Gradarea se face deci după legea:

$$R_s = \alpha R_x \quad (2.190)$$

Un avantaj al folosirii R_s este că, deși R_s variază cu temperatură, raportul de divizare α nu este afectat de temperatură, depinzând doar de poziția cursorului.

Dacă puntea se folosește în c.a., ea permite doar măsurarea modulului impedanțelor.

* Puntea pentru admitanțe

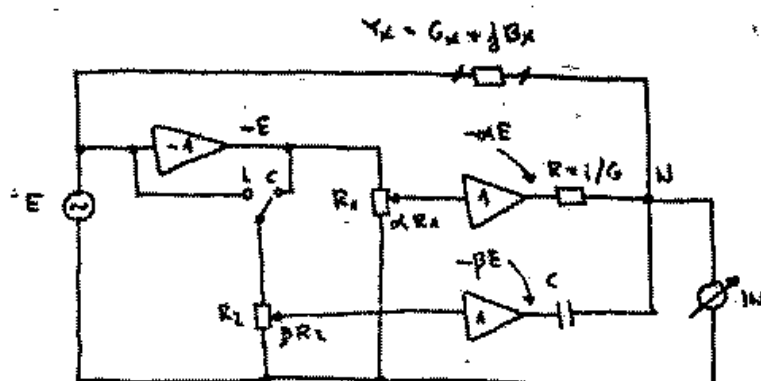


Figura 2.63: Puntea activă pentru admitanțe

Schema punții este dată în figura 2.63. Scriind teorema potențialelor la noduri în nodul N se obține:

$$U_N = \frac{Y_x E - G\alpha E \pm j\omega C\beta E}{Y_x + G + j\omega C} \stackrel{\text{echil}}{=} 0 \quad (2.191)$$

de unde

$$Y_x = \alpha G \pm j\omega \beta C \quad (2.192)$$

Prin urmare, punând comutatorul pe poziția C obținem:

$$G_x = \cancel{\Omega} G \quad (2.193)$$

$$C_x = \cancel{\Omega} C \quad (2.194)$$

iar cu comutatorul pe poziția L se obține:

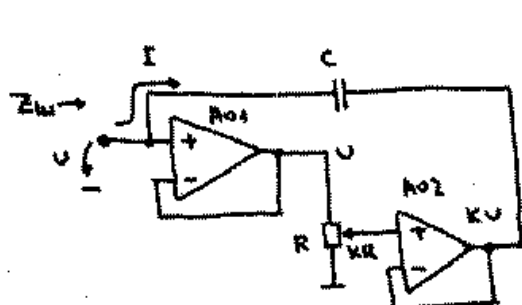
$$L_x = \frac{1}{\omega^2 \mu C} \quad (2.195)$$

ceea ce înseamnă că la măsurarea inductanțelor puncteare are echilibrarea și gradarea dependente de frecvență.

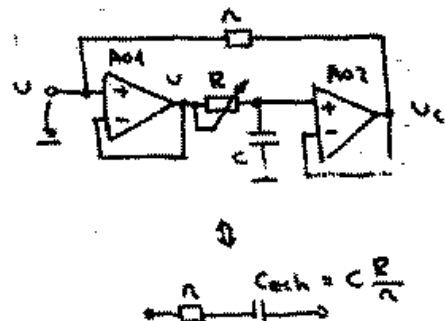
C. Realizarea de reactanțe active variabile

Este posibilă simularea unei capacități sau inductanțe variabile, pornind de la o capacitate fixă de precizie:

- simularea $C_V < C_{fix}$



(a)



(b)

Figura 2.64. Simularea unei capacități variabile

Schemă este prezentată în figura 2.64 (a). Curentul care trece prin C este:

$$I = \frac{U - kU}{1/j\omega C} \quad (2.196)$$

deci impedanța de intrare a schemei are valoarea:

$$Z_I = \frac{U}{I} = \frac{1}{j\omega C(1 - k)} \quad (2.197)$$

simulând o capacitate variabilă:

$$C_{var} = (1 - \frac{1}{k})C \leq C \quad (2.198)$$

- simularea $C_V \geq C_{fix}$

Schema este redată în figura 2.64 (b). Curentul de intrare are valoarea

$$I = \frac{U - U_C}{r} = \frac{U}{r} \left(1 - \frac{1/j\omega C}{R + 1/j\omega C} \right) = \frac{U}{r} \frac{j\omega CR}{1 + j\omega CR} \quad (2.199)$$

deci impedanța de intrare este:

$$Z_I = \frac{U}{I} = r + \frac{1 + j\omega CR}{j\omega CR} = r + \frac{1}{j\omega C \frac{R}{r}} \quad (2.200)$$

așadar se observă că schema se comportă ca o capacitate $C_{ech} > C$:

$$C_{ech} = \frac{1}{r} C \quad (2.201)$$

și se dorește ca r să fie cît mai mic (R/r cît mai mare), pentru ca Q să fie cît mai mare.

* simularea unei inductanțe variabile

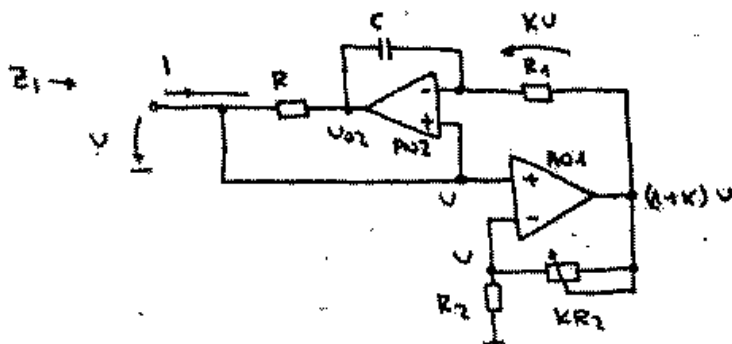


Figura 2.65: Inductanță variabilă

Pe schema din figura 2.65 se scriu relațiile:

$$I = \frac{U - U_{o2}}{R} = \frac{U - (U - j\omega C)}{R} = \frac{kU}{j\omega C R R_1} \quad (2.202)$$

unde am ținut seama că avem aceeași tensiune U pentru că reacția negativă face ca cele două borne ale AO să fie echipotențiale; astfel pe R_1 tensiunea este $(1+k)U - U = kU$.

Impedanța de intrare rezultă:

$$Z_I = \frac{U}{I} = j\omega C \frac{R R_1}{k} \quad (2.203)$$

D. Reducerea erorilor transformatoarelor

Un transformator cu miez magnetic are schema echivalentă din figura 2.66, unde:

- L_p este inductanța primarului având în paralel rezistența de pierderi în miez R_m ;

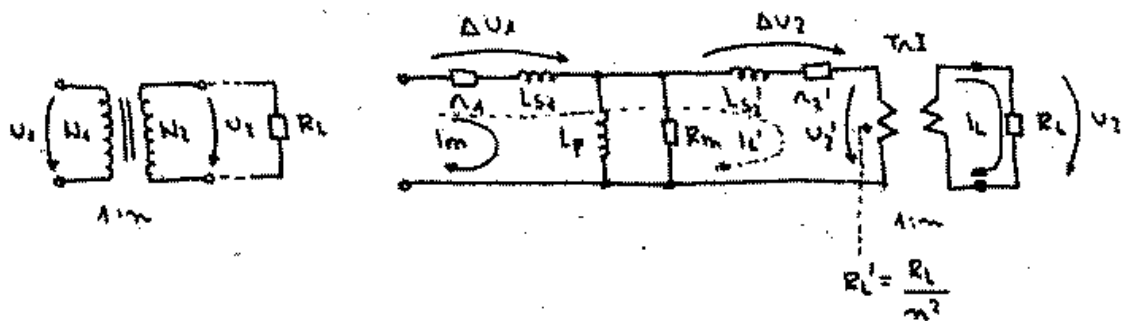


Figura 2.66: Schema echivalentă a unui transformator

- n este raportul de transformare N_2/N_1 ;
- r_1 și $r'_2 = r_2/n^2$ sunt rezistențele ohmice ale înfășurărilor primară și secundară;
- L_m și $L'_s = L_{s2}/n^2$ sunt inductanțele de scăpare ale primarului și secundarului (deci elementele notate ($'$) sunt raportate la primar);
- sarcina R_L se vede în primarul transformatorului ideal Tr.I. cu valoarea $R'_L = R_L/n^2$;
- curentul primar este format din două componente: I_m = curentul de magnetizare și I'_L = curentul de sarcină raportat la primar;

Se observă că tensiunea în sarcină $U_2 = nU'_2$, care este mai mică decit U_1 cu căderile de tensiune $\Delta U_1, \Delta U_2$ date de curenti pe impedanțele de scăpare:

$$\frac{U_2}{U_1} < N_2/N_1 \quad (2.204)$$

ășadar apare o eroare de raport cu două componente, una dată de curentul de magnetizare (eroarea de mers în gol) și cealaltă dată de curentul de sarcină (eroarea de mers în sarcină). Această a doua componentă se elimină ușor separând sarcina de transformator printr-un repetor (buffer de impedanță). Din păcate, această soluție pierde simetria înfășurării de ieșire, aceasta având legătură la punctul comun definit de sursa de alimentare a repetorului (mediana acesteia).

Rămîne eroarea de mers în gol, dată de divizarea tensiunii între impedanță parazită ($r_1 + j\omega L_m$) și impedanță primarului ($r_m \parallel j\omega L_p$).

Reducerea acestei erori reziduale, în afara măsurilor constructive amintite anterior, se poate face cu scheme active cu reacție negativă. Prezentăm în continuare două variante: cu intrare nesimetrică și cu intrare simetrică.

1. Varianta cu intrare nesimetrică este prezentată în figura 2.67:

Transformatorul se realizează bobinind înfășurările principale pe două miezuri ($m1, m2$) simultan și pe unul din miezuri se adaugă o înfășurare auxiliară cu același număr de spire N_1 ca primarul.

Puteți deduce schema echivalentă a transformatorului ținând seama că o înfășurare pe două miezuri este echivalentă cu două înfășurări în serie, cu același număr de spire, fiecare pe cîte un miez (figura 2.68):

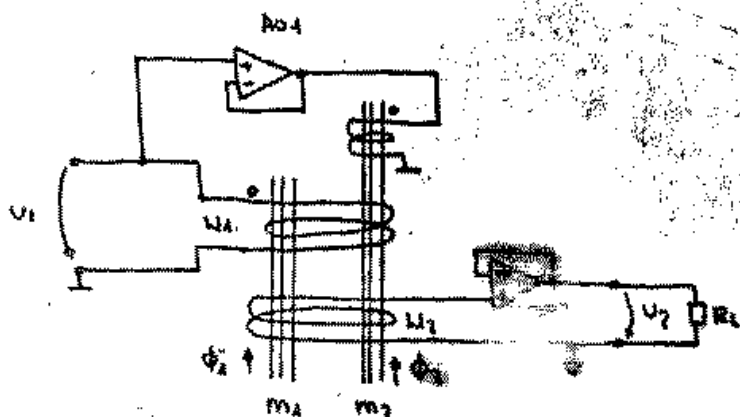


Figura 2.67: Varianta 1: circuitul secundar.

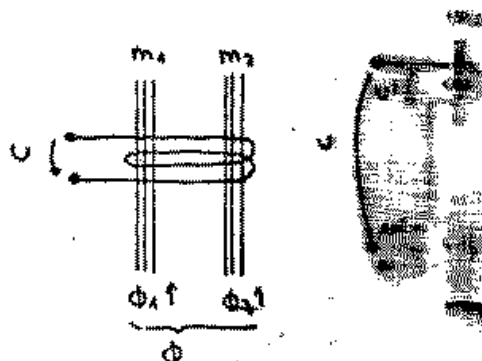


Figura 2.68: Echivalență fizică a unui transformator cu 2 miezuri.

Notăm Φ_1, Φ_2 fluxurile magnetice în cele 2 miezuri cuprinse de înfășurarea avind N spire. Tensiunea inducătoare în înfășurare are valoarea:

$$u = N \frac{d\Phi}{dt} = N \frac{d\Phi_1}{dt} + N \frac{d\Phi_2}{dt} = u' + u'' \quad (2.205)$$

Ca urmare, prezentăm în figura 2.69 schema echivalentă completă în care transformatorul cu miezul m2 este reprezentat cu schema echivalentă din figura 2.66 (b), iar transformatorul cu miezul m1 este reprezentat inseriat cu înfășurările de pe miezul m2 (conform celor stabilite la ecuația 2.205). S-a ținut seama că miezul m2 are două primare deci două impedanțe parazite primare ($r_1 + j\omega L_{s1}$ de la înfășurarea principală și $r'_1 + j\omega L'_{s1}$ de la înfășurarea de reacție).

Repetorul (cu amplificarea $A_r \rightarrow 1$) repetă la bornele înfășurării secundare tensiunea de intrare cu valoarea $A_r U_1$ și furnizează curentul de magnetizare I_m care menține punctul C la o tensiune apropiată de U_1 , cu eroarea de măsură în găsire corespunzătoare. Tensiunea de eroare U_e se aplică înfășurării primare a transformatorului cu miezul m1 inseriată cu impedanță parazită a primarului de pe miezul m2. Impedanța pe acest circuit, din cauza inducțanței primare m1 este cu ordine de mărime mult mai mare decât valoarea impedanței de scăpări, astfel încât curentul de intrare I_{IN} este în primă aproximație neglijabil față de curentul de magnetizare furnizat de înfășurarea auxiliară și nu influențează esențial potențialul punctului C.

Ca urmare, primarul m1 are la borne tensiunea $U'_s \leq U_s$ pe care o transmite în secundar

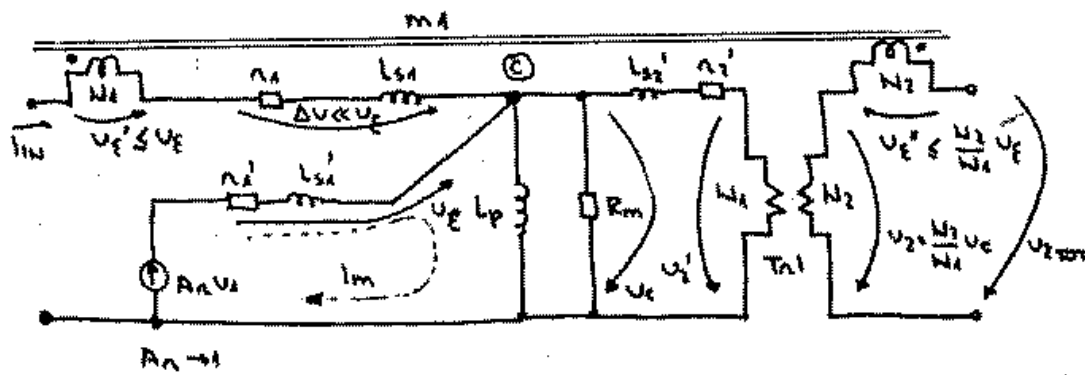


Figura 2.69: Schema echivalentă completă în varianta 1

aproape integral, conform raportului său de transformare, rezultând $U_e'' \leq N_2/N_1 U_e$.

Tensiunea totală de ieșire este suma tensiunii transformatorului m2, micșorată de eroarea de mers în gol m2, și a tensiunii aduse de transformatorul m1, care este practic eroarea de mers în gol m2, micșorată cu eroarea de mers în gol m1. Rezultă o tensiune de ieșire a cărei eroare relativă este produsul erorilor relative de mers în gol a transformatoarelor m1 și m2. De exemplu, dacă fiecare transformator are eroarea 10^{-3} , eroarea totală ar fi 10^{-6} .

Înășurarea N1 primară este legată la punctul comun de alimentare amplificator-repetor; deși sursele pentru AO1, AO2 pot fi fără legătură galvanică (flotante), totuși înășurarea N1 pierde simetria întrucât între cele 2 puncte comune de pe figură există capacitații parazite importante.

2. Varianta cu intrare simetrică este prezentată în figura 2.70:

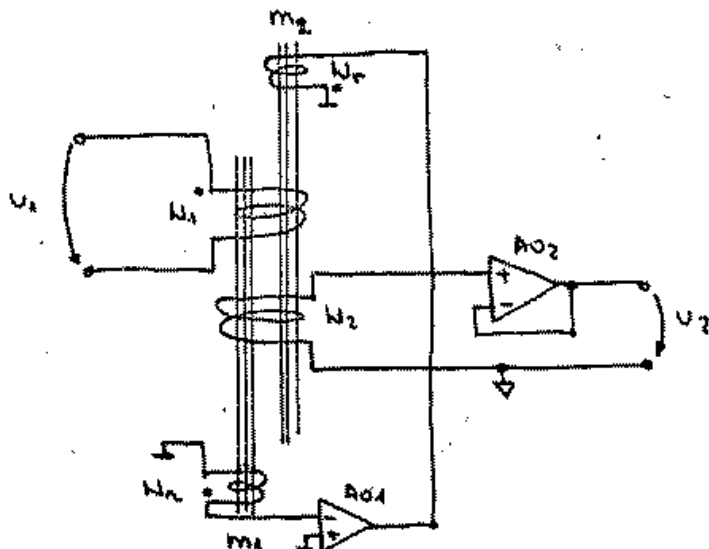


Figura 2.70: Varianta 2: intrare simetrică

Această schemă îndepărtează dezavantajul precedent separând galvanic circuitul de intrare de cel de reacție. Tensiunea pentru circuitul de reacție este culeasă de pe o înșurătură cu N_r spire amplificată de amplificatorul de reacție AO1 și aplicată unei înșurături cu N_r spire pe miezul m2. Alimentarea AO1 poate să fie comună cu AO2, sau flotantă.

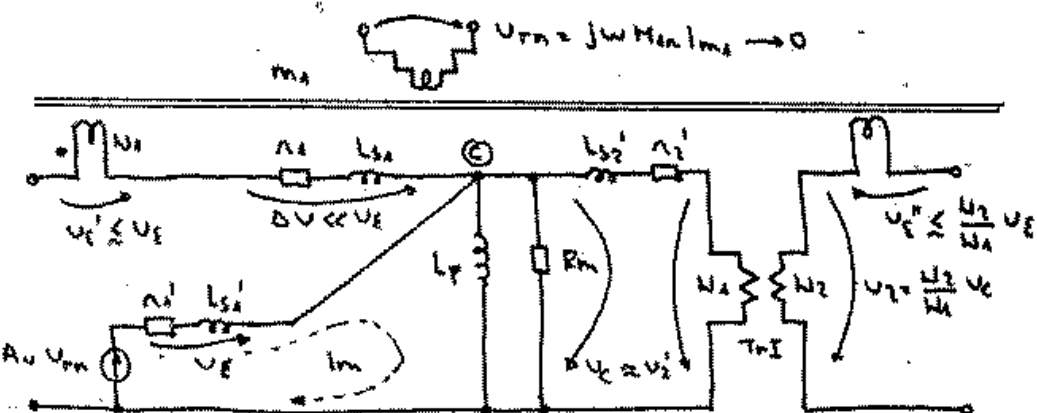


Figura 2.71: Schema echivalentă completă în varianta 2

Schema echivalentă (figura 2.71) este aproape ca în cazul precedent, tensiunea de eroare pentru bucla de reacție fiind dată acum de către înșurătura de reacție U_{Trn} de pe m1; acum $A_u \gg 1$. Orice buclă de reacție negativă acționează astfel încât să micoreze tensiunea de eroare de la intrare! U_{Trn} este proporțională cu curentul de magnetizare în miezul m1, care este proporțional cu tensiunea $U_1 - U_C$ deci bucla de reacție face ca $U_C \rightarrow U_1$, reducând astfel eroarea de mers în gol.

Eroarea reziduală rămasă în urma acțiunii buclei de reacție este însumată la ieșire cu tensiunea transformatorului m2 reducând în felul acesta eroarea totală la valoarea $\varepsilon_1 \varepsilon_2$.

Notă: Este mai greu însă de asigurat stabilitatea la auto-oscilații a buclei de RN care acum cuprinde două transformatoare.

2.3.3.2 Punți automate

Punțile automate permit măsurarea unei impedanțe necunoscute fără a fi necesară echilibrarea manuală de către operator, operația de echilibrare fiind făcută automat. La punțile de c.c. nu există decit un singur reglaj pentru a face acordul. La punțile de c.a. însă, sunt 2 reglaje, de aceea există punți complet automate care fac ambele reglaje, dar și punți semiautomate, la care operatorul face unul dintre reglaje și puntea face automat al doilea reglaj.

Schemă bloc a unei punți automate de c.a. este redată în figura 2.72.

Principiul de funcționare este următorul: se pornește de la o punte de c.a. clasică, a cărei tensiune de dezechilibru U_d însă nu este citită pe un voltmetru, ci este adusă (după o amplificare) la intrarea unui circuit de formare a semnalului de eroare (CFSE). Tot aici este adusă și tensiunea de la generator, și raportul U_d/U_g este separat în cele două componente, care pot fi modulul și fază sau partea reală și cea imaginară, și care constituie cele două semnale de eroare. Acestea din urmă sunt datele de intrare pentru un algoritm de decizie

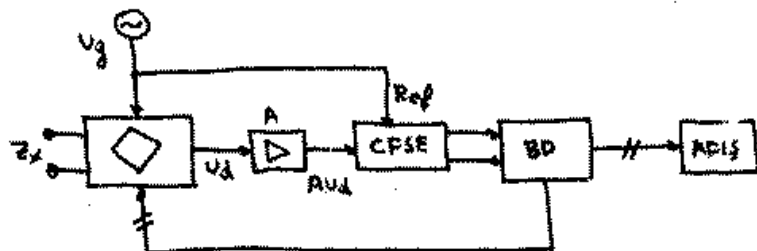


Figura 2.72: Schema bloc

care comandă elementele reglabile ale punții (prin intermediul blocului de decizie BD) în scopul reducerii tensiunii de dezechilibru.

Elementele reglabile ale punții sunt de tipul rezistențe și/sau condensatoare variabile digitale, fie în cod BCD, fie în cod binar natural (BN). Există două soluții de obținere a R_v , C_v digitale, corespunzătoare schemelor derivație și serie:

- schema derivație, pentru obținerea G_v reglabil ($G = 1/R$ sau mai general orice mărime de tipul conductanță sau susceptanță):

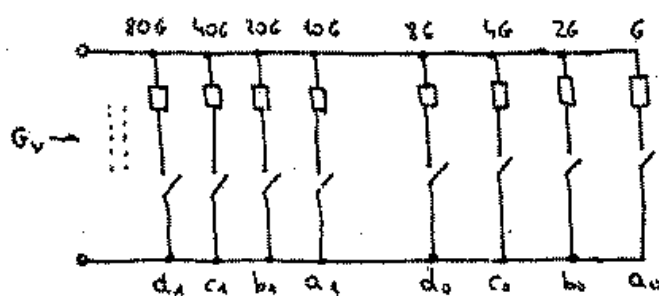


Figura 2.73: Schema derivație

Această schemă (figura 2.73) realizează punerea în paralel a unor elemente etalon și permite obținerea valorii dorite G_v după formula:

$$G_v = [\dots + \underbrace{(d_1 \cdot 2^3 + c_1 \cdot 2^2 + b_1 \cdot 2^1 + a_1 \cdot 2^0)}_{D_1} \cdot 10 + \underbrace{(d_0 \cdot 2^3 + c_0 \cdot 2^2 + b_0 \cdot 2^1 + a_0 \cdot 2^0)}_{D_0} \cdot 1] \cdot G \quad (2.206)$$

În care $(d, c, b, a)_i$ sunt contactele care se acționează pentru obținerea valorii dorite a digitului D_i (comutator închis=1). Se observă că rezoluția permisă de schemă este:

$$\Delta G_v = G \quad (2.207)$$

(această valoare minimă se obține cind este închis doar contactul a_0 , toate celelalte fiind deschise).

- schema serie, pentru obținerea R_v reglabil este dată în figura 2.74. Această schemă ducă la un R_v similar cu G_v din formula 2.206, în care se înlocuiește G cu R . Rezoluția

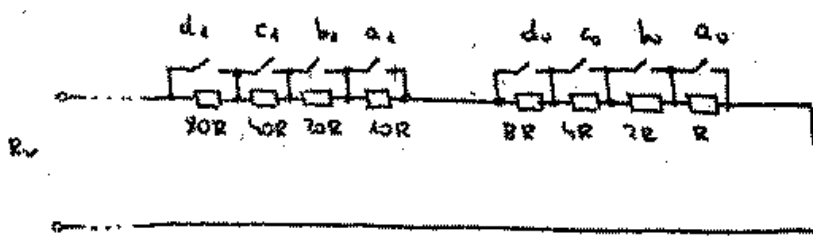


Figura 2.74: Schema serie

este $\Delta R_w = R$ și această valoare minimă se obține atunci când sunt închise toate contactele cu excepția lui a_0 .

În cele două scheme de mai sus, contactele provin de la relee Reed. Ar exista și posibilitatea de a folosi comutatoare sau multiplexoare-analogice (de exemplu, 4066) dar de obicei R_{ON} pentru aceste dispozitive este prea mare, improprie unei scheme de aparat de măsură, care trebuie să fie precis.

Notă: varianta aceasta de comandă a elementelor variabile se folosește uneori și la punțile cu reglare manuală pentru a reduce numărul etaloanelor (4 etaloane în loc de 10, și un comutator cu 3 galeți în loc de unul cu un singur galet); uneori se folosesc chiar contacte Reed, acționate de magneti permanenți solidari cu butonul de reglaj, în scopul reducerii uzurii mecanice.

Schemele au fost ilustrate pentru codul BCD. Se pot concepe și scheme pentru codul binar natural, dar este necesar un microprocesor pentru a acționa contactele, întrucât nu mai există o corespondență directă cu valorile zecimale care vor trebui în final afisate, iar decodarea hardware (cu circuite combinaționale) e prea voluminoasă.

Strategii de decizie (algoritmi de echilibrare)

Blocul notat BD poate folosi unul dintre următorii algoritmi pentru a aduce punctea la echilibru prin modificarea elementelor reglabile:

- căutarea prin balansaj: această metodă se poate folosi la punțile de c.c. și presupune varierea (balansarea) elementului reglabil de la valoarea minimă la cea maximă, înregistrind obținerea U_d minimă. Evident, pentru punți de c.a. ea este total nepractică, întrucât sunt două reglaje și parcurgerea tuturor valorilor din planul complex ar fi inaceptabil de lungă (N^2 încercări, dacă sunt N poziții pe fiecare element).
- aproximare ponderată: se încearcă variații succesive ale elementelor variabile în pași ponderați binari; algoritmul este dificil de realizat, mai ales departe de echilibru, acolo unde variațiile tensiunii din diagonală sunt neliniar dependente de valorile elementelor reglabile (vezi diagrama cercurilor).
- cu urmărire succesivă/simultană pe două componente, în pași ponderați sau monotoni; algoritmul e mai simplu dar mai lent, și e des utilizat la sortarea automată, unde piesele se află într-o gamă restinsă de valori.

- măsurarea inițială, cunoșcind valoarea echilibrorului și tensiunea în diagonală, urmată de calculul noii valori aproximative a echilibrorului, comanda acestuia, recalcularea noii valori în funcție de tensiunea în diagonală, etc. (urmărind drumul din diagrama cercurilor).

2.4 Q-metrul: Măsurarea Z prin metode de rezonanță

2.4.1 Principiul și construcția Q-metrului

Q-metrul este un aparat care folosește rezonanță unui circuit RLC serie sau paralel format dintr-un generator și o capacitate variabilă (care fac parte din aparatul propriu-zis) și o bobină exterioară, care este elementul măsurat sau este o bobină auxiliară folosită pentru măsurarea altor componente. Pentru a ilustra principiul de funcționare, în figura 2.75 este reprezentat simplificat un circuit RLC serie.

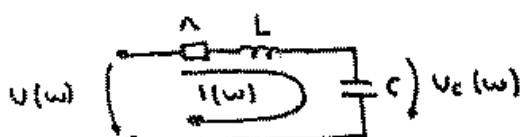


Figura 2.75: Circuit RLC serie

Tensiunea la bornele condensatorului este, la rezonanță:

$$u_c(\omega) = \frac{|I|}{\omega C} = \frac{1}{\omega C} \frac{U}{\sqrt{r^2 + \left(\omega L - \frac{1}{\omega C}\right)}} \Bigg|_{\omega=\omega_0=\frac{1}{\sqrt{LC}}} = \frac{1}{\omega_0 Cr} U = \frac{\omega_0 L}{r} U = QU \quad (2.208)$$

deci tensiunea citită pe voltmetru, măsurată în unități $U = 1$ este chiar valoarea Q . (măsurat ca factor de supratensiune). Dacă există mai multe scări, se prevede un reglaj exterior al nivelului generatorului, numit *calibrare*, care se activează înainte de măsurătoare și se aduce acul în dreptul unui reper de calibrare, în care se îndeplinește condiția $U = 1$ (o unitate pe scara aparatului).

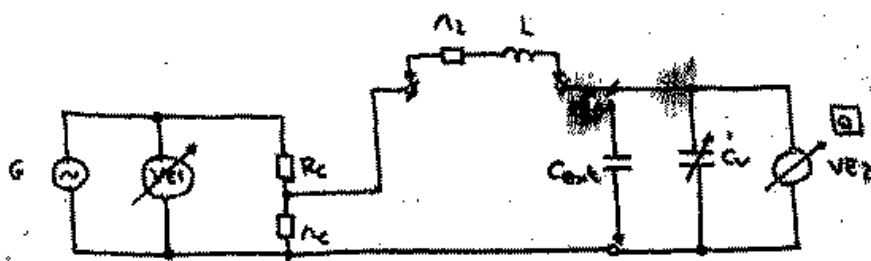


Figura 2.76: Schema Q-metrului

Schema Q-metrului este dată în figura 2.76. Elementele variabile sunt U , ω_0 , C_0 . Factorul de calitate al condensatorului variabil este de ordinul $Q_{C_v} \approx 10^4$, iar al bobinelor auxiliare care se livrează odată cu Q-metrul $Q_L \approx 10^2 \div 10^3$.

Tensiunea generatorului se aplică circuitului rezonant prin intermediul unui divizor rezistiv (eventual inductiv, capacativ) cu raport de divizare $n : 1$; cu $n = R_e/r_e$ foarte mare (sute) și stabil; n reprezintă chiar valoarea reperului de calibrare în scara aparatului. Astfel se simulează o sursă de tensiune cu rezistență internă aproape de zero, pentru a nu introduce rezistențe de pierdere (deci erori) în circuitul măsurat. Valori practice pentru r_e sunt de ordinul $m\Omega$.

Evident divizorul $R_e - r_e$ face ca tensiunea aplicată circuitului rezonant să nu mai fie U ci U/n , și gradarea voltmetrului va fi făcută corespunzător.

Condensatorul variabil este realizat cu aer, $\tan \delta \approx 10^{-4}$, cu o capacitate maximă de ordinul a 500pF pentru măsurători în JF și 50pF pentru măsurători în IF. Capacitatea trebuie să fie stabilă și inducția parazită să fie $L_{C_v} < 10\text{nH}$, indiferent de unghiul de rotație. Pentru o citire precisă se folosește un vernier, rezoluția tipică fiind de 0.05pF . De multe ori se pune în paralel cu C_v un alt condensator variabil de valoare mică.

De obicei se folosește un voltmetru electronic de c.a. de impedanță mare, cu detector de RF urmat de amplificator de c.c. (intrucât această schemă are banda de frecvență cea mai largă, și în consecință voltmetrul necesită și *reglaj de zero*), unic, comutabil pentru a putea măsura și tensiunea generatorului (la calibrare).

Gama frecvențelor de lucru este $10^4 \div (2 \div 3) \cdot 10^8$.

Măsurările care se pot face sunt *de bază* (asupra bobinelor: L , Q_L , r_L) prin metoda directă și indirectă, și *derivate* (asupra altor componente: C , R , L , M , Z pentru linii, etc.) prin metode de substituție.

2.4.2 Măsurători

2.4.2.1 Reglaje prealabile și măsurători de bază

- Reglaje:

Făcând scurt-circuit pe C_v , se reglează VE2 pentru a indica 0. Apoi se reglează U_0 (calibrare – acul la reper) astfel că:

$$Q = \frac{U_{C_v}}{U} = \frac{U_{C_v}}{\frac{U_0}{n}} = n \frac{U_{C_v}}{U_0} \quad (2.209)$$

- Măsurări de bază:

Se măsoară L_x și Q_x pentru o bobină astfel: pentru ω_0 dorit, se conectează L_x la bornele "L" și se variază C_v pînă la obținerea maximului pe voltmetru pentru $C_v = C_0$. În acest moment se citește direct Q_x și se calculează L_x :

$$L_x = \frac{1}{\omega_0^2 C_0} \quad (2.210)$$

2.4.2.2 Măsurări derivate

Este posibilă măsurarea unei impedanțe sau admitanțe necunoscute la frecvență dorită ω_0 , folosind elemente adiționale. De asemenea, este posibilă măsurarea prin această metodă a unei bobine care, la frecvență dorită, nu permite obținerea acordului în serie cu C_v , știind că $C_v \in [C_{v,\min}, C_{v,\max}]$.

Cazul 1: măsurarea $Z_x(\omega_0) < X_{C_v}(\omega_0)$ (cazul impedanțelor "mici")

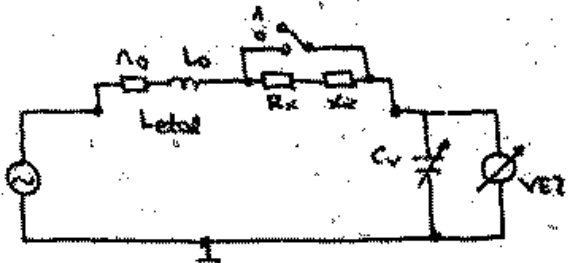


Figura 2.77: Măsurarea impedanțelor "mici"

Se conectă să impedanța necunoscută $R_x + jX_x$ în serie cu o bobină auxiliară (cu L_0 și r_0) ca în figura 2.77. Cu comutatorul K pe cele 2 poziții se face pe rând acordul (adică se obține o tensiune maximă pe voltmetru prin varierea C_v) și se citesc, respectiv pe pozițiile 1 și 2, (C_0, Q_0) și (C_1, Q_1) . Se obține:

$$K = 0 : \begin{cases} \omega_0 L_0 = \frac{1}{\omega_0 C_0} \\ Q_0 = \frac{1}{\omega_0 C_0 r_0} \end{cases} \quad (2.211)$$

respectiv (cu observația că Q_1 este de fapt $Q_{1,\text{real}}$)

$$K = 1 : \begin{cases} \omega_0 L_0 + X_x = \frac{1}{\omega_0 C_1} \\ Q_1 = \frac{U_{C_1}}{U} = \frac{1}{U r_0 + R_x} \frac{1}{\omega_0 C_1} = \frac{1}{\omega_0 C_1 (r_0 + R_x)} \end{cases} \quad (2.212)$$

de unde se obțin:

$$X_x = \frac{1}{\omega_0} \left(\frac{1}{C_1} - \frac{1}{C_0} \right) \quad (2.213)$$

$$R_x = \frac{1}{\omega_0 C_1 Q_1} - r_0 = \frac{1}{\omega_0} \left(\frac{1}{C_1} Q_1 - \frac{1}{C_0 Q_0} \right) \quad (2.214)$$

$$Q_x = \frac{X_x}{R_x} = Q_1 Q_0 \frac{C_0 - C_1}{C_0 Q_0 - C_1 Q_1} \quad (2.215)$$

Cîteva cazuri particulare (fără elemente parazite)

$$C_1 = C_0 \quad Q_1 < Q_0 \quad \Rightarrow R_{x,mic} = \frac{1}{\omega_0 C_0} \left(\frac{1}{Q_1} - \frac{1}{Q_0} \right) \quad (C_{R_x}^* = \infty) \quad (2.216)$$

$$C_1 < C_0 \quad C_0 Q_0 = C_1 Q_1 \quad \Rightarrow L_{x,mic} = \frac{1}{\omega_0^2} \left(\frac{1}{C_1} - \frac{1}{C_0} \right) \quad (R_{L_x}^* = 0) \quad (2.217)$$

$$C_1 > C_0 \quad C_0 Q_0 = C_1 Q_1 \quad \Rightarrow C_{x,mare} = \frac{1}{\omega_0 C_0} \frac{C_0 C_1}{C_1 - C_0} \quad (R_{C_x}^* = 0) \quad (2.218)$$

Se observă că dacă $C_0 Q_0 > C_1 Q_1$, atunci $R_x \neq 0$.

Cazul 2: măsurarea $Z_x(\omega_0) > X_{C_0}(\omega_0)$

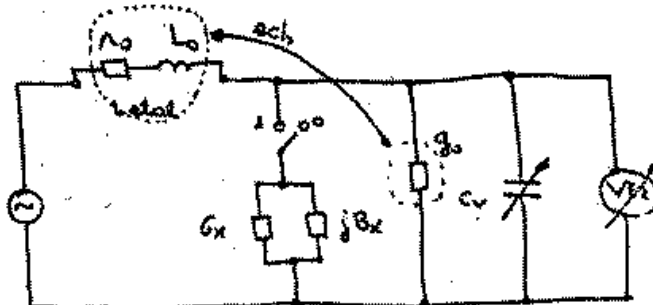


Figura 2.78: Măsurarea impedanțelor " mari"

În acest caz, se conectează la bornele "L" o bobină adițională ca în cazul precedent, dar impedanța necunoscută se conectează în paralel pe C_0 . Se face acordul, pe rînd, cu comutatorul pe cele 2 poziții, variind C_0 pînă la obținerea unui maxim pe voltmetru, și se citește valorile (C_0, Q_0) și respectiv (C_1, Q_1) (amindouă la aceeași frecvență ω_0).

Schema circuitului echivalent este dată în figura 2.78. Rezistența r_0 a bobinei adiționale se poate echivala cu o conductanță g_0 în paralel pe C_0 , care păstrează Q_0 al circuitului:

$$r_0 \longrightarrow g_0 \Rightarrow Q_0 = \frac{\omega_0 L_0}{r_0} = \frac{\omega_0 C_0}{g_0} \quad (2.219)$$

Pentru cele două poziții ale comutatorului, la rezonanță avem:

$$K = 0 : \begin{cases} \omega_0 C_0 = \frac{1}{\omega_0 L_0} \\ Q_0 = \frac{\omega_0 C_0}{g_0} \end{cases} \quad (2.220)$$

respectiv

$$K = 1 : \begin{cases} \omega_0 C_1 + B_x = \frac{1}{\omega_0 L_0} \\ Q_1 = \frac{\omega_0 C_0}{g_0 + G_x} \quad (\text{Același } L_0, \text{ deci același } C_0) \end{cases} \quad (2.221)$$

Se obține:

$$B_x = \omega_0(C_0 - C_1) \quad (2.222)$$

$$G_x = \omega_0 C_0 \left(\frac{1}{Q_1} - \frac{1}{Q_0} \right) \quad (2.223)$$

$$Q_x = \frac{\frac{1}{C_0} - \frac{1}{C_1}}{\frac{1}{Q_1} - \frac{1}{Q_0}} = Q_0 Q_1 \frac{C_0 - C_1}{C_0(Q_0 - Q_1)} \quad (2.224)$$

Cîteva cazuri particolare:

$$C_1 = C_0 \quad Q_1 < Q_0 \quad \Rightarrow R_{x,mare} = \frac{1}{\omega_0 C_0} \frac{Q_0 Q_1}{Q_0 - Q_1} \quad (R_{C_x}^p < \infty) \quad (2.225)$$

$$C_1 < C_0 \quad Q_0 = Q_1 \quad \Rightarrow C_{x,mic} = C_0 - C_1 \quad (R_{C_x}^p = 0) \quad (2.226)$$

$$C_1 > C_0 \quad Q_0 = Q_1 \quad \Rightarrow L_{x,mare} = \frac{1}{\omega_0^2 (C_0 - C_1)} \quad (R_{L_x}^p = 0) \quad (2.227)$$

Cazul 3: determinarea elementelor reactive inseparabile ale unei scheme date

Măsurarea se face la mai multe frecvențe ω_i , $i = 1 \dots n$ și se obțin n ecuații din care se scot necunoscutele X_i . De exemplu, această metodă se folosește pentru determinarea elementelor parazite ale unor componente.

Exemplul 1: $L_{x,mare} \parallel C_{L_x}$:

$$\frac{1}{\omega_0 L_{x,mare}} = \frac{1}{\omega_0 L_x} + \omega_0 C_{L_x} = B_x(\omega_0) = \underbrace{\omega_0}_{y} \underbrace{(C_0 - C_1)}_{x} \quad (2.228)$$

idem la o altă frecvență ω_{01} , și se obțin 2 ecuații cu 2 necunoscute, de unde se scot L_x și C_{L_x} .

Același lucru se poate obține și grafic, observind că se poate scrie ecuația unei drepte care trece prin n puncte, corespunzătoare celor n frecvențe la care se măsoară:

$$\underbrace{\frac{1}{\omega_{0n}^2}}_y = L_x \underbrace{(\Delta C_{vn} + C_{L_x})}_x \quad (2.229)$$

unde $\Delta C_{vn} = C_n - C_0$; se obține dreapta cu ecuația de mai jos și cu graficul în figura 2.79:

$$y = k(x - x_0) \quad (2.230)$$

Avantajul acestei metode este interpolarea grafică, dacă se măsoară mai mult decât cele 2 puncte strict necesare.

Exemplul 2:

$$\begin{cases} L_{x,norm} \parallel C_{L_x} & L_x = \frac{L}{1 - \omega^2 L_x C_{L_x}} \Rightarrow \underbrace{\frac{1}{L_{x,n}}} \underbrace{= \frac{1}{L} - \frac{1}{\omega_{0x}^2 L} \omega_{0n}^2}_k \\ C_{x,mare} \text{ serie cu } L_{C_x} & C_x = \frac{C}{1 - \omega^2 C_x L_{C_x}} \Rightarrow \underbrace{\frac{1}{C_{x,n}}} \underbrace{= \frac{1}{C} - \frac{1}{\omega_{0x}^2 C} \omega_{0n}^2}_k \end{cases} \quad (2.231)$$

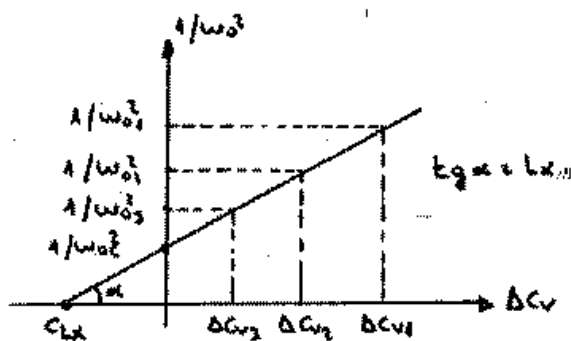


Figura 2.79: Exemplul 1

Dreapta care trece prin cele n puncte este desenată în figura 2.80.

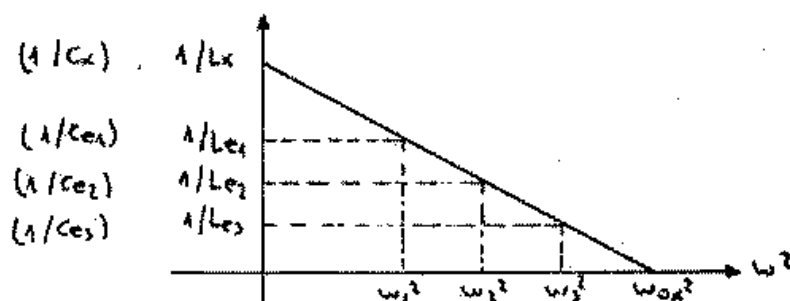


Figura 2.80: Exemplul 2

Cazul 4: măsurarea Q prindezacord

Există 2 variante ale acestei metode, dezacordul de frecvență ($C_v = \text{constant}$) și de capacitate ($f = \text{constant}$). Ambele metode constau în obținerea acordului (tensiune maximă pe voltmetriu), urmată de dezacordarea circuitului (prin varierea ugoară a lui f , respectiv C_v) pînă cînd tensiunea citită pe voltmetriu scade la 0.707 din valoarea maximă (ceea ce corespunde benzii la 3dB pe curba de rezonanță). Pentru $Q > 10$, curba este aproximativ simetrică aritmetic (figura 2.81).

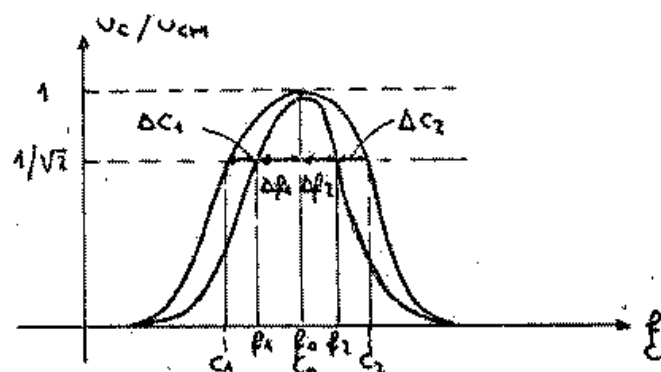


Figura 2.81: Măsurarea prin dezacord

Să citește f , respectiv C_v în momentul atingerii acestei valori, și se calculează Q :

\log

$$\Delta f_1 \approx \Delta f_2 \approx \Delta f = \frac{B_{-3dB}}{2} \quad (2.232)$$

$$\Delta C_1 \approx \Delta C_2 \approx \Delta C \quad (2.233)$$

de unde rezultă:

$$Q = \frac{C_0}{\Delta C} = \frac{f_0}{2\Delta f} = \frac{f_0}{B_{-3dB}} \quad (2.234)$$

Având în vedere că în momentul cînd se atinge maximul de tensiune pe voltmetru, această valoare este gradată direct în Q , se pot compara valorile cîtînd și respectiv calculată (ecuația 2.234) ale lui Q , verificînd corecta etalonare a Q-metrului.

În principiu, precizia măsurării prin dezacord de frecvență poate fi mult sporită prin utilizarea unui frecvențmetru numeric, în timp ce precizia dezacordului de capacitate este limitată la rezoluția condensatorului variabil.

2.4.2.3 Precizia măsurărilor cu Q-metru

Valori tipice pentru erorile de măsură obținute cu acest aparat sunt $\varepsilon_{LQ} \leq 1\%$ la 1MHz, mergînd pînă la 10% la 100MHz.

Cauzele erorilor sunt:

- * obiective: $r_c \neq 0$, rezistența internă a voltmetrului e finită (și acesta poate avea și cea inducțanță și capacitate parazită), frecvența generatorului nu e perfect stabilă, rezoluțîile de citire ale f, C_v, Q nu sunt foarte mari
- * subiective: erori de citire, de manevrare (determinarea maximului pe voltmetru), de metodă (modelul ales poate fi neadecvat sau prea simplificat).

Calculul erorilor pentru Q :

- * datorită elementelor parazite:

luăm în considerare R_s, R_{in} a voltmetrului, $\text{tg}\delta C_v$; cum voltmetrul e paralel pe C_v , efectul R_{in} îl putem include în tangenta unghiului de pierderi; atunci, dacă Q_m este valoarea măsurată a lui Q și Q_{ad} este valoarea adevărată:

$$\frac{1}{Q_m} = \frac{R_s + r_c + X_s \text{tg}\delta C_v}{X_s} = \frac{1}{Q_{ad}} + \frac{r_c}{X_s} + \text{tg}\delta C_v \quad (2.235)$$

$$\varepsilon_{r,Q}^{\text{elem par}} = \frac{Q_m - Q_{ad}}{Q_{ad}} = -Q_m \left(\frac{r_c}{X_s} + \text{tg}\delta C_v \right) \quad (2.236)$$

- * de citire:

$$Q = \frac{U_e}{U_g} \Rightarrow \varepsilon_{r,Q}^{\text{cit}} = \varepsilon_{U_e} + \varepsilon_{U_g} = \varepsilon_{U_e} + \varepsilon_{U_g} + \varepsilon_n \quad (2.237)$$

Calculul erorilor pentru X :

ACESTE ERORI AU MAI MULTE SURSE:

- elementele reglabile: Mărimea X nu se citește direct pe Q-metru, ci se calculează pe baza altor mărimi care se citesc direct. Se aplică formula propagării erorii la măsurări indirecte, pentru a afla care este eroarea mărimii X știind erorile mărimilor care intră în formula de calcul pentru X (în fiecare caz particular – nu există o formulă generală). Dacă de exemplu $X_r = 1/\omega C_v$, rezultă $\varepsilon_{r,X} = \varepsilon_{r,C} + \varepsilon_{r,f}$ care sunt de obicei date de rezoluțiile de citire ale C și f .
- elementele parazite: ca în cazul precedent (erorile lui Q) se determină modelul real al circuitului RLC și se deduc noile formule în funcție de model.

2.4.3 Q-metrul numeric

Q-metrul este, după cum am văzut, un aparat foarte versatil, care permite multe tipuri de măsurători, cu rezerva că citirea valorii măsurate în multe cazuri nu este directă, ci necesită aplicarea unor formule de calcul, și în plus efectuarea acordului poate fi dificilă (și ia timp, deci e mai greu de folosit pentru măsurători repetitive). De aceea, s-au realizat Q-metre numerice care permit citirea directă, dar care funcționează pe baza altui principiu decât Q-metrul clasic.

Q-metrul numeric se bazează pe conversia Q_x într-o mărime intermediară ușor măsurabilă cu un aparat numeric, și anume timpul în care amplitudinea oscilațiilor amortizate ale unui circuit RLC scade sub o anumită valoare.

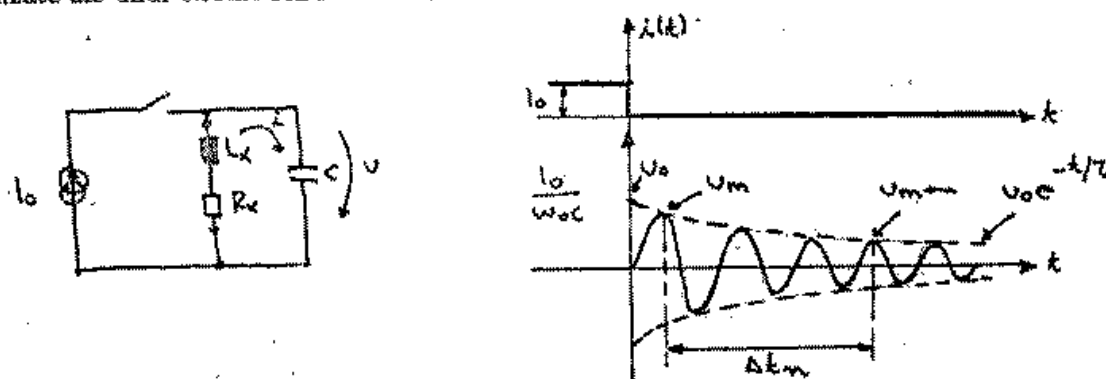


Figura 2.82: Principiul de funcționare al Q-metrului numeric

Principiul de funcționare poate fi urmărit pe circuitul RLC din figura 2.82. În momentul închiderii comutatorului la momentul $t = 0$, forma de undă, vizibilă pe grafic, este o sinusoidală amortizată. Tensiunea $u(t)$ de pe condensator variază după legea:

$$u(t) = \frac{I_0}{\omega_0 C} e^{-\frac{r}{2L}t} \sin \omega_0 t \quad (2.238)$$

unde $\omega_0 = 1/\sqrt{LC}$ iar I_0 este valoarea inițială a curentului.

Cum măsurarea timpului se reduce la numărarea perioadelor sinusoidelor (perioada sinusoidei fiind constantă, chiar dacă anvelopa nu este), vom nota cu Δt_n timpul în care

au loc n oscilații (pe figură, între amplitudinea U_m și amplitudinea U_{m+n} , n perioade mai tîrziu față de perioada a m -a):

$$U_{m+n} = U_m e^{-\frac{r}{2L}\Delta t_n} \quad (2.239)$$

$$\Delta t_n = \frac{2L}{r} \ln \frac{U_m}{U_{m+n}} \quad (2.240)$$

de aici se scoate n :

$$n = \frac{\Delta t_n}{T_0} = \frac{\omega_0}{2\pi} \frac{2L}{r} \ln \frac{U_m}{U_{m+n}} = \frac{1}{\pi} \cdot Q_x \cdot \ln \frac{U_m}{U_{m+n}} \quad (2.241)$$

și dacă se alege un raport al amplitudinilor U_m și U_{m+n} încît:

$$\frac{1}{\pi} \ln \frac{U_m}{U_{m+n}} = 1 \Rightarrow n = Q_x \quad (2.242)$$

Acest raport corespunde unui raport de tensiuni:

$$\frac{U_m}{U_{m+n}} = e^* = 23,14 \quad (2.243)$$

Prin urmare, putem măsura Q în mod direct folosind schema din figura 2.83. Numărătorul primește impulsuri pe intrarea de numărare din momentul cînd amplitudinea atinge valoarea E (cînd comparatorul C1 comandă resetarea numărătorului) pînă cînd amplitudinea atinge valoarea $E/23,14$ (cînd comparatorul C2 blochează trecerea impulsurilor următoare).

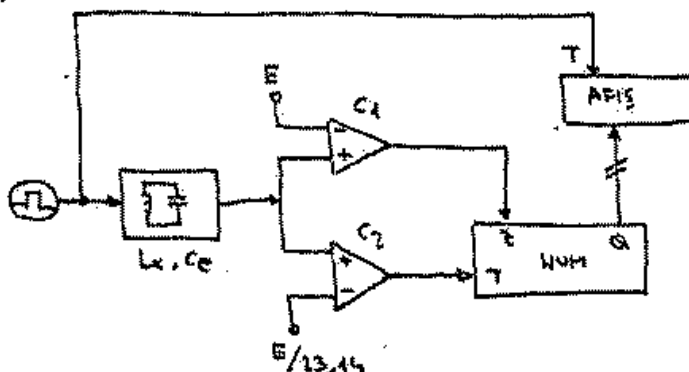


Figura 2.83: Schema Q-metrului numeric

Dezavantajele Q-metrului numeric sunt:

- mai puțin versatil, întrucît un Q-metru clasic ne permite să măsurăm aproape orice circuit rezonant la orice frecvență dacă îi înțelegem modelul și îi adăugăm elementele adiționale necesare obținerii acordului, în timp ce această schemă măsoară strict Q într-un anumit caz particular (la frecvență de rezonanță cu C_x).
- nu permite măsurarea prin dezacord;

- nu permite măsurarea de valori fraționare pentru Q , deci la valori mici ale lui Q eroarea este considerabilă.

Posibilitățile lui se pot extinde prin:

- adăugarea unui frecvențmetru numeric (se pot obține L_v și toate măsurările derivate)
- în această situație, folosirea unui condensator variabil C_v ne permite și reglarea frecvenței de lucru (dar necesită manevre de acord),
- se pot obține valori fraționare pentru Q mediind cîte un grup de $10, 10^2, \dots$ măsurători prin tehnica măsurătorilor mediate (vezi frecvențmetrul numeric, măsurarea mediată a duratei impulsurilor).

2.5 Ohmmetre și Z-metre electronice (active)

Se pot folosi toate metodele analizate în paragrafele anterioare asistate de scheme electronice care, în general, realizează următoarele:

- reducerea manevrelor manuale, mergind pînă la automatizarea completă;
- conversia liniara a impedantei în tensiune/curent sau frecvență/timp și măsurarea acestora cu voltmetrul (ampermetrul) electronic numeric sau frecvențmetrul numeric, gradate direct în mod adecvat (realizarea ohmmetrului sau Z-metru lui ca funcție anexă pe lîngă aparatul respectiv);
- baleajul (vobularea) frecvenței de măsură și afișarea rezultatului conversiei Z / U (modul și unghi sau componenta reală și componenta imaginara) pe un tub catodic (display) ca funcție de frecvență, aparatul denumindu-se analizor de retea;
- simularea elementelor reactive (în special inductantelor) astfel încît să fie folosite numai elemente etalon de tensiune, frecvență, rezistență (mult mai precise, întrucât pot fi bazate pe fenomene cuantice), eventual și capacitate;
- eliminarea prin schemă a influenței elementelor parazite (măsurarea impedanțelor ca impedanțe multipolare pentru măsurări de mare precizie, telemăsură, măsurări in situ).

Vom examina în continuare două dintre tipurile mai răspândite, și anume convertorul voltampmetric (pentru conversia rezistenței/impedanței în tensiune și/sau curent, convertorul fiind anexă la un voltmetru, de obicei numeric) și convertorul $R/L/C$ în Δt cu măsurarea numerică a intervalului Δt (convertorul fiind anexă la un frecvențmetru numeric).

2.5.1 Converteoare voltampmetrice

2.5.1.1 Scara Ω neliniară a multimetrului electronic analogic

La multimetrele analogice (uzual avînd funcțiile de voltmetru de c.c. și c.a.) se poate realiza funcția ohmmetru prin folosirea unei surse auxiliare calibrate ajustabile (E) și a unui set de rezistențe etalon (R_{ms} corespunzătoare mijlocului scării avînd inscripția $\times 1$) conform schemiei din figura 2.84. Din figură rezultă:

$$U_x = \frac{R_x}{R_x + R_{ms}} E \xrightarrow{E_{ajust} = U_{CS}} \frac{U_x}{U_{CS}} = \frac{1}{1 + \frac{R_{ms}}{R_x}} \quad (2.244)$$

care este relația de gradare a scării; rezultă

$$R_x = \frac{R_{ms}}{\frac{U_{CS}}{U_x} - 1} \quad (2.245)$$

Uzual, R_{ms} capătă valori $10^m \Omega$, scările fiind comutabile doar decadice (fiind neliniare).

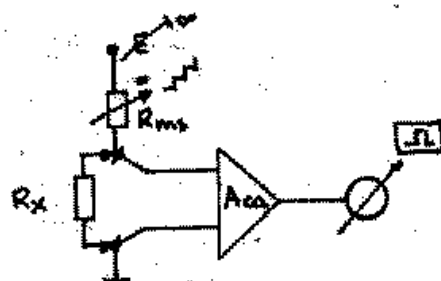


Figura 2.84: Ohmetru cu scară nelinieră

Scara de gradare fiind nelinieră, se gradează separat, ca la un ohmetru pasiv, dar cu zeroul în stînga (ca la schema derivație). Aparatul are două reglaje, una care se execută cu intrarea în scurt-circuit (corectându-se offsetul amplificatorului de c.c.) și cea care se execută în gol, ajustându-se sursa auxiliară E astfel încît aparatul să arate U_{CS} . De obicei, la măsurarea rezistențelor aparatul este pe o scară mică, de exemplu $1V_{CS}$.

Observație: este posibilă și măsurarea de inductanțe și capacitate (gradare în H/F) dacă sursa E se înlocuiește cu un generator avind $\omega = 10^n$ rad/s ($f \approx 1.59 \cdot 10^n$ Hz) și $E = U_{CS}$; de asemenea, măsurarea $|Z|$ cu gradare în Ω , indiferent de ω .

2.5.1.2 Scara Ω liniară a multimetrului electronic numeric (eventual analogic)

Vom discuta cazul măsurării rezistențelor, cu voltmetrul (ampermetrul electronic numeric); similar, cu un generator de curent constant de c.a. calibrată se pot măsura $|Z|$, iar dacă se folosește un voltmetru vectorial (măsurând modulul și fază sau parte reală și imaginară a tensiunii în raport cu o tensiune de referință) se poate măsura complet o impedanță.

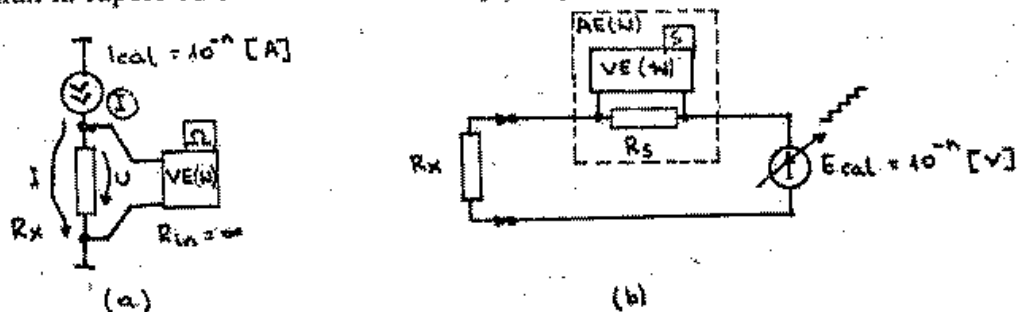


Figura 2.85: Ohmetre cu scară liniară

În principiu, există două variante de măsurare, la curent și la tensiune constantă. În ambele cazuri, se caută ca operația de împărțire (U/I sau I/U) să fie evitată prin alegerea numitorului ca putere a lui 10, în care caz comutarea scării revine la poziționarea punctului zecimal.

Schemele de bază pentru măsurarea dipolară sunt date în figura 2.85 (a) și (b).

Pentru schema (a) este valabilă relația:

$$R_x = \frac{U_{\text{cal}}}{I_{\text{cal}}} = 10^{-n} \cdot \frac{\Omega}{V} \quad (2.246)$$

adică tensiunea citită în volți are aceeași valoare numerică cu rezistența măsurată în ohmi (cu poziționarea corespunzătoare a punctului zecimal), deci singura schimbare în voltmetru este afişarea semnului Ω în loc de V. Soluția este adoptată pînă la rezistențe de ordinul $M\Omega$ întrucît rezistența de ieșire a unui generator de curent constant maximă realizabilă este de ordinul $10^4 2\Omega$, ceea ce asigură o eroare de 1ppm unei rezistențe de $1M\Omega$.

Pentru rezistențele mai mari este indicată schema (b) la care este valabilă relația:

$$G_x = \frac{I_{\text{cmt}}}{E_{\text{ext}}} = 10^{-n} \cdot I_{\mu A} \quad (2.247)$$

Un ampermetru electronic este în mod obișnuit realizat dintr-un voltmetru electronic cu intrare flotantă șuntată de o rezistență calibrată, curentul fiind măsurat prin cădere de tensiune pe această rezistență. De exemplu, $1V/1M\Omega = 1\mu A$ care, trecînd printr-un șunt de 1Ω dă o cădere de tensiune de $1\mu V$ măsurabilă de către un voltmetru; raportul dintre rezistență măsurată și rezistență șuntului necesar poate fi 10^6 , ceea ce asigură o eroare de liniaritate de 1ppm relației 2.247, care se păstrează pe scările superioare măringind simultan rezistența de șunt. Prin urmare, schema este mai avantajoasă la rezistențe mai mari (de ordinul $G\Omega$).

Cele expuse mai sus sunt valabile în limitele în care măsurarea dipolară este și ea valabilă; după cum se știe însă, valorile extreme (sau măsurarea in situ/telemăsură, sau preciziile extreme) nu se pot atinge decât prin măsurători tri-, quadri- respectiv pentapolare. Cazul conexiunii pentapolare este reprezentat în figurile 2.86 și 2.87; prin omisiunea unor conexiuni se pot obține măsurători cuadripolare, respectiv tripolare.

În schema din figura 2.86 măsurătoarea se face la curent constant $I_{\text{cmt}} = 10^n A$, injectat de generatorul I_{ext} avind masa (punctul comun) flotantă față de masa voltmetrului electronic numeric VEN (•). Ambele mase sunt flotante față de carcasa aparatului, legată la pămîntul de protecție al retelei de foră (suco) necesar pentru protecția operatorului.

Să observă că I_{ext} trece prin R_x și tensiunea $U_x = R_x I_x$ care apare la bornele rezistenței este regăsită integral la bornele V_H, V_L ale voltmetrului ($U_{\text{cmt}} = V_H - V_L = V_a - V_b$), rezistențele r_2, r_3 nefiind parcuse de nici un curent deoarece rezistențele de intrare ale voltmetrului și repetorului de gardă tind spre ∞ ($> 10^9 \Omega$). Rezistențele r_1, r_4 apar în serie cu rezistența de ieșire (foarte mare) al generatorului de curent deci efectul lor nu contează. Nici o fracțiune de curent nu se derivează prin R_{p1} multumită acțiunii repetorului de gardă distant RGD, care repetă potențialul bornei $V_H = V_a$ în punctul G' ($V_{G'} = V_H = V_a$), rezistența R_{p1} fiind astfel bootstrapată.

Borna SG este senzorul de gardă distantă, și $V_{SG} = V_{G'}$ întrucît pe firul r_5 nu există nici o cădere de tensiune datorită rezistenței mari de intrare a RGD, iar căderea de tensiune pe firul r_6 nu contează, fiind redusă prin acțiunea buclei de reacție negativă ($V_G > V_{G'}$ cu o cantitate astfel încît $V_{G'} \approx V_H$).

Curentul prin R_{p1} este furnizat de RGD și nu parcurge R_x deci nu afectează U_x, I_x .

Rezistența între G și SG (de ordinul $M\Omega$) asigură închiderea buclei de reacție a RGD în situația în care se întrerupe legătura externă a buclei de reacție.

Schema din figura 2.87 reprezintă măsurarea la tensiune constantă, repetoarele distante RDH și RDL asigurînd $V_a = V_{E+}$ și $V_b = V_{E-}$, întrucît pe rezistențele r_2, r_3 nu cade nici o tensiune (impedanță de intrare mare la repetoare), iar căderile de tensiune pe r_1, r_4 și R_x sunt eliminate prin efectul buclei de reacție negativă. Prin R_{p1} nu circulă nici un curent,

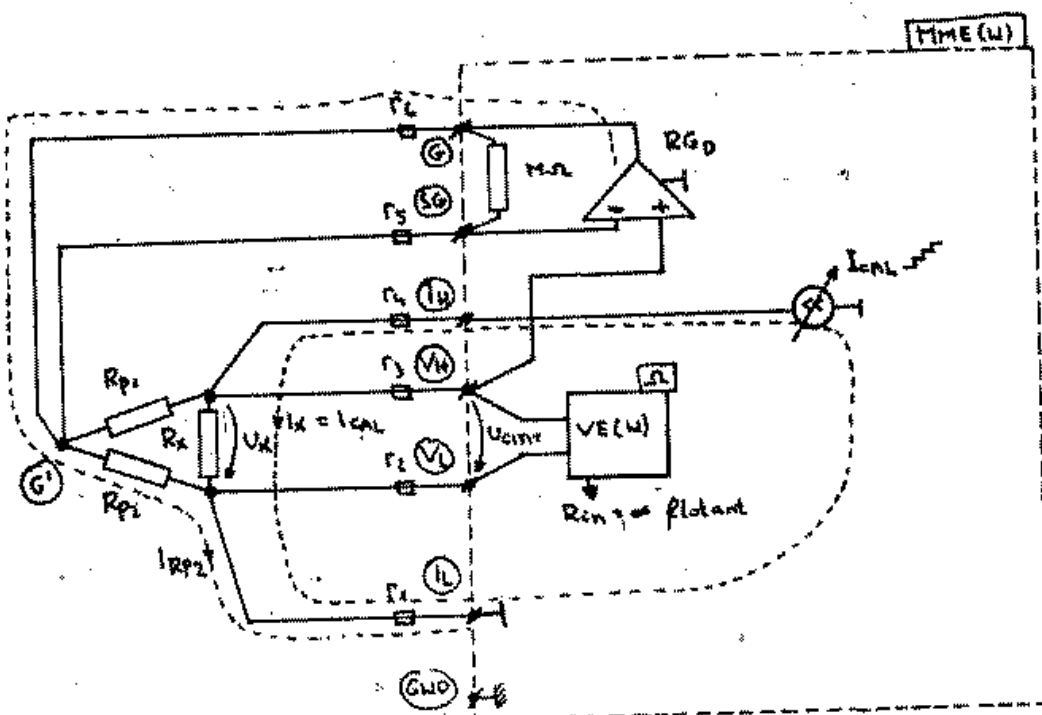


Figura 2.86: Ohmetru cu scară liniară, măsurare pentapolară (a)

Întrucât RGD asigură $V_G = V_A$ ca și în schema precedentă. Curentul absorbit de R_{P2} este furnizat de RGD și nu afectează U_x, I_x . În consecință, $I_{com} = I_x = G_x U_x = G_x E_{ext}$.

Toate buclele de reacție negativă sunt asigurate împotriva intreruperii legăturilor externe prin rezistențe de ordinul $M\Omega$, care nu au nici o influență în prezența firelor de legătură de rezistență mult mai mică.

Dacă legăturile de gardă G-G'-SG sunt întrerupte, rezultă o măsurătoare quadripolară; dacă sunt prezente și se leagă împreună I_H, V_H și I_L, V_L rezultă o măsurare tripolară.

Scheme analoage se pot folosi și pentru măsurări în c.a. (Z_x, Y_x) dar:

- voltmetrul folosit trebuie să fie vectorial (măsurând modul și unghi sau parte reală și imaginäră a tensiunii, în raport cu faza generatorului de I constant luată ca referință);
- deși schemele de principiu sunt la fel, trebuie să luă măsuri deosebite pentru asigurarea stabilității la autooscilații a buclelor de reacție (cuplajele parazite între legături introduc defazaje necontrolate, ceea ce limitează adincimea de reacție negativă, deci precizia și banda de frecvență);
- în c.a. este posibilă vibulația prin schimbarea lentă a frecvenței generatorului și afișarea ieșirii voltmetrului pe tub catodic, aparatul devenind un analizor de rețea. În figura 2.88 (a) este arătată reprezentarea în modul și fază având ca parametru frecvența, iar în figura (b) reprezentarea părții reale și imaginare a impedanței funcție de frecvență.

2.5.2 Metode de conversie indirectă $RLC \leftrightarrow \Delta t \leftrightarrow N$

Sunt metode pentru măsurare unui element simplu R, L sau C, neglijînd elementele parazite; în scopul conversiei este posibilă folosirea unor scheme de tipul monostabil, multivibra-

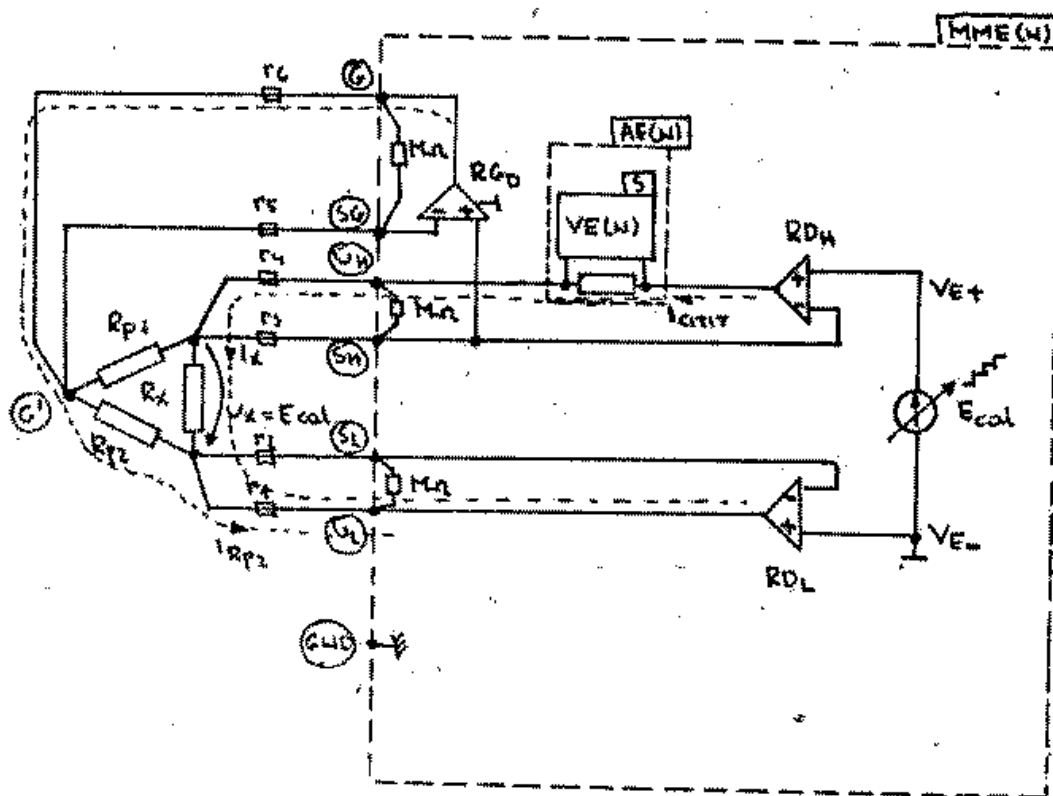


Figura 2.87: Ohmetru cu scară liniară, măsurare pentapolară (b)

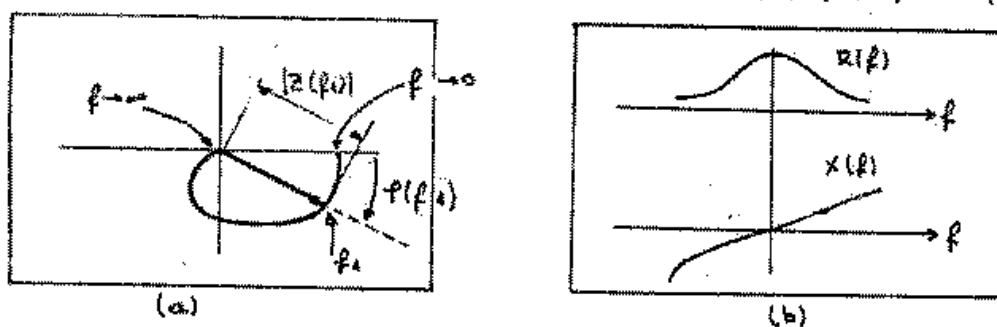


Figura 2.88: Analizor de rețea

tor sau generator de funcții, ceea ce face ca acest convertor să fie o anexă pe lîngă un frecvențmetru numeric. Vom lua ca exemplu un convertor de tip monostabil în puncte, avantajul principal al acestui fiind independența conversiei față de stabilitatea tensiunii de alimentare.

Schema este dată în figura 2.89. Monostabilul propriu-zis cuprinde comparatorul COMP și circuitul de reacție în puncte format din ramaurile \$R_1, R_2\$ respectiv \$R_a, C_{se}\$ și analoagele, alese prin comutatorul K. Frecvența unui oscilator etalon cu cuârlă este divizată succesiv de un divizor cu \$10^4\$ reglabil decadic urmat de un divizor de valoare \$2 \cdot 10^4, k = 3 \cdot 4\$ a cărui ieșire simetrică (datorită ultimului divizor cu 2 din lanț) comandă aplicarea tensiunii de alimentare, respectiv masei pe lanțul \$R_a, C_{se}\$ (și similarele).

Tensiunea la intrarea (-) a COMP crește, respectiv scade exponențial cu constanta de timp \$\tau_x = R_a C_{se}\$, comparatorul comută dintr-o stare în alta la trecerea prin pragul \$(1 - 1/e)V_s\$ asigurat de divizorul \$R_1, R_2\$. În consecință, intervalul de timp căt comparatorul stă

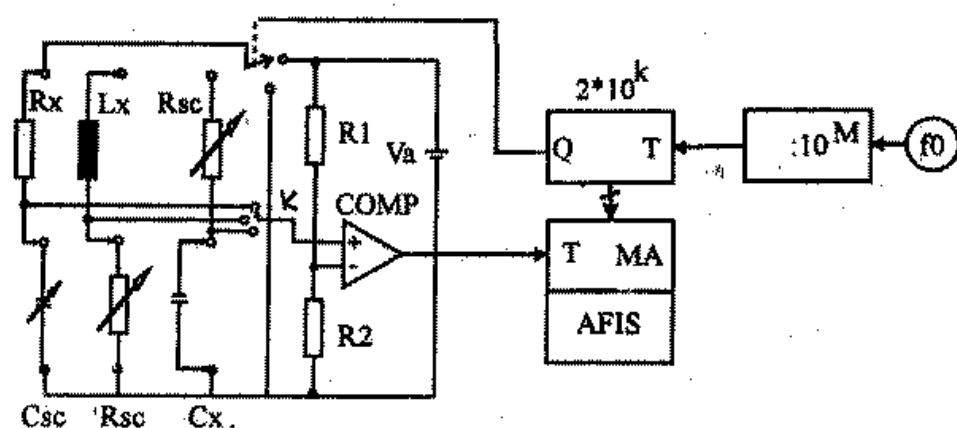


Figura 2.89: Convertor cu monostabil în punte

în 0 la conectare este $\Delta t_x = \tau_x$; în acest interval, numărătorul numără de la 0 la N_x , valoare care este transferată în memoria de afişaj MA pe frontul de comutare al comparătorului și afișată în continuare pînă la următoarea măsurătoare. Alegînd elementele de scară C_{sc} , R_{sc} ca în tabelul de mai jos, numărul afișat reprezintă direct valoarea elementului (cu o poziționare adecvată a punctului zecimal).

Formele de undă sint reprezentate în figura 2.90.

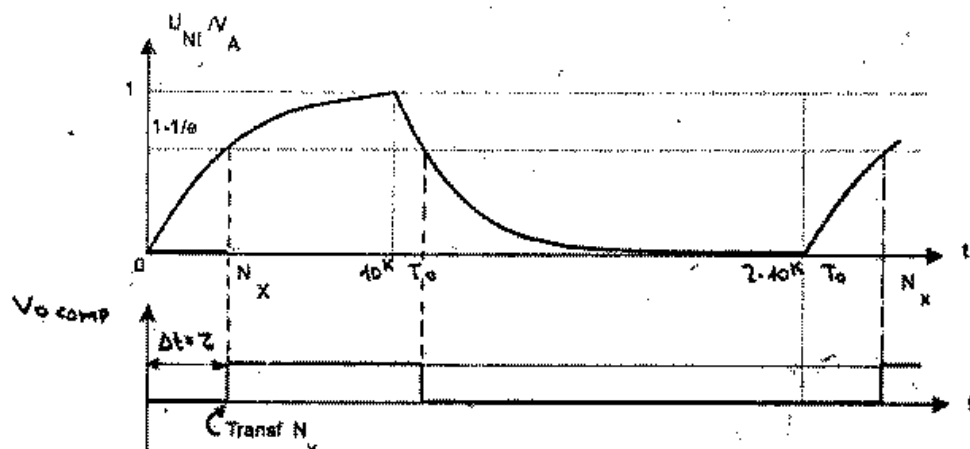


Figura 2.90: Funcționarea convertorului cu MS în punte

$$\frac{V_+}{V_a} = \frac{V_C}{V_a} \Big|_{RC} = \frac{V_R}{V_a} \Big|_{RL} = 1 - e^{-t/\tau} \Big|_{\tau=RC=L/R} = 1 - \frac{1}{e} = \frac{R_2}{R_1 + R_2} = \frac{V_-}{V_a} \quad (2.248)$$

Prin urmare

$$N_x = \frac{\tau_x}{T_0} = \left(\frac{R_{sc}}{T_0} \right) C_x = \left(\frac{1}{T_0 R_{sc}} \right) L_x = \left(\frac{C_{sc}}{T_0} \right) R_x \quad (2.249)$$

Luăm $T_0 = 10^{-6}$ s (exemplu: 1 μs); atunci:

C_x	$R_{sc} = 10^m [\Omega]$	$C_x = N_x \cdot 10^{-m-n} [F]$
L_x	$R_{sc} = 10^m [\Omega]$	$L_x = N_x \cdot 10^{m-n} [H]$
R_x	$C_{sc} = 10^{-m} [F]$	$R_x = N_x \cdot 10^{m-n} [\Omega]$

Observații.

1. Pentru păstrarea rezoluției relative a convertorului, se comută simultan divisorul 10^M și elementul de scară, astfel încât să fie folosite toate cifrele afișajului.
2. Este posibilă (prin complicarea schemei) sumarea a 10^N măsurători (preferabil timp total de măsură < 1s) astfel încât valoarea medie să poată fi calculată doar prin reposiționarea punctului zecimal. În acest caz, se obține o valoare medie a intervalului Δt având ca efect reducerea erorilor datorate comutărilor, cuantizării și zgomotelor.

